

Vol. 12.No.6.1964

**KFKI**

**KÖZLEMÉNYEK**

**ОБЩЕНИЯ ЦЕНТРАЛЬНОГО ИНСТИТУТА ФИЗИЧЕСКИХ ИССЛЕДОВАНИЙ**

**REPORTS OF THE CENTRAL RESEARCH INSTITUTE FOR PHYSICS**

Szerkeszti: Ádám András  
Главный редактор: А. Адам  
Editor: A. Ádám

A KÖZPONTI FIZIKAI KUTATÓ INTÉZET KIADÓI CSOPORTJA  
ИЗДАТЕЛЬСКАЯ ГРУППА ЦЕНТРАЛЬНОГО ИНСТИТУТА ФИЗИЧЕСКИХ ИССЛЕДОВАНИЙ  
PUBLISHING GROUP OF THE CENTRAL RESEARCH INSTITUTE FOR PHYSICS  
BUDAPEST, 114. POB 49.

Technikai szerkesztő: Nagy Imréné  
Megjelent: 1965. jan. 5.

Példányszám: 620  
Rotaszám: 2000

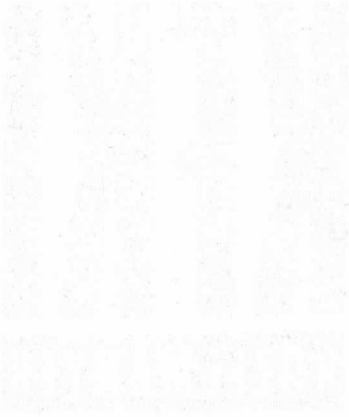
A kiadásért felelős: Jánossy Lajos

# KFKI

## KÖZLEMÉNYEK

### T A R T A L O M

1. Németh Géza: Polinom approximációk  $\int_x^{\infty} \frac{e^{-u}}{u} du$  számításához . . . . . 395
2. Németh Géza: Polinom approximációk az  $L_0(x)$  és  $L_1(x)$  Struve-függvények számításához . . . . . 403
3. Beregi Péter: Az  $\alpha$ -cluster redukált szélességének kiszámítása lyukgerjesztett végmagokba való átmeneteknél . . . . . 407
4. Bakos József: A gerjesztett atomi nivók bomlási görbéje és a fény lebegés . . . . . 425
5. Nagy Tibor, Pavlicsek István és Nagy László: U-233, U-235 és Pu-239 magok hasadásánál keletkező hasadási termékek energiaeloszlásának mérése . . . . . 439
6. Blazsó Tibor: Mössbauer effektus a  $Cu_3Au$  ötvözetben . . . . . 447
7. Csillag László: A deuterium 2-7. Balmer-vonalának finomszerkezeti vizsgálata . . . . . 453
8. Vályi László, Gombos Péter és Roósz József: Hosszu élettartamu radiofrekvenciás ionforrás vizsgálata . . . . . 461



Резюме

- I. Приближения полиномов для вычисления  $\int_x^{\infty} \frac{e^{-u}}{u} du$   
Г.Немет

В работе даются формулы приближения с точностью на десять цифр для вычисления экспоненциального интеграла.

2. Приближения полиномов для вычисления функций  $L_0(x)$  и  $L_1(x)$

Г.Немет

В статье даются формулы приближения с точностью на девять цифр для вычисления  $L_0(x)$  и  $L_1(x)$ .

3. Вычисление приведенной  $\alpha$  - ширины для переходов на дырочное состояние конечного ядра

П.Береги

С помощью генеологических коэффициентов модели независимых частиц вычислили приведенные ширины тех  $\alpha$  - переходов, при которых начальное ядро находится в основном состоянии, а конечное ядро в дырочно-возбужденном состоянии.

4. Кривая распада возбужденных атомных уровней и биение света

И.Бакош

Обсуждается движение атома, находящегося в суперпозиции возбужденных состояний (расстояние между уровнями больше ширины линии) и доказывается, что атом из возбужденных уровней отдельно пере-

ходит в состояние с более низкой энергией по экспоненциальному закону, а так называемое биение света измеряется идеальным детектором. Показывается зависимость биения от пространства и времени по мере наблюдаемости.

5. Измерение распределения энергии продуктов деления, образовавшихся при делении ядер U - 233, U - 234 и Pu - 239  
Т.Надь, И.Павличек, Л.Надь

С помощью ионизационной камеры с сеткой было измерено распределение энергии продуктов деления, образовавшихся при делении, происходящем под влиянием термических нейтронов ядер U - 233, U - 235 и Pu - 239. Результаты измерений, представляющих собой предварительное измерение для исследования тройного деления, показывают хорошее согласие с данными, полученными другими авторами.

6. Эффект Мессбауера в сплаве  $Cu_3Au$   
Т.Блажо

Ширина линии Мессбауера  $Au^{197}$  была измерена в сплаве  $Cu_3Au$  порядочного и непорядочного состояния при температуре жидкого воздуха. Ширина линии в непорядочном состоянии в два раза больше, чем в порядочном состоянии. Если предполагать, что причиной измерения линии является квадрупольное взаимодействие, то градиентная величина внутренней электрической силы поля составляет  $0,5 \cdot 10^{18}$  в/см<sup>2</sup>.

7. Исследование тонкой структуры линий Бальмера 2 - 7 дейтерия  
Л.Чиллаг

Тонкая структура линий Бальмера 2 - 7 была рассмотрена в газе дейтерия. Источником света служила разрядная трубка возбуждаемая высокой частотой, в которой газ дейтерия проходил с давлением 0,025 торр. Разрешение тонкой структуры обеспечилось интерферометром Фабри - Перо, соединенным со спектрографом.

8. Исследование долгоживущего радиочастотного ионного источника  
Л.Вали, П.Гомбош и Й. Рос

Нами были рассмотрены свойства радиочастотного источника ионов, с малой мощностью, не имеющего электродов внутри разрядной трубки. Были определены характеристики: ионный ток, вытягивающий напряжение при разных расстояниях между электродами, имеющими сферическую геометрию. Характеристики имеют два участка, один из которых соответствует  $V^{3/2}$ , другой участок - линейный. Были определены состав и распространение энергии потока ионов, выходящих из ионного источника (источника ионов). При напряжении вытягивания 2 кв ионный пучок имеет рассеяние энергии 42 эв, отношение протонов 70 %, при наличии ионного тока 30 мк А - потребность газа  $\sim 3 - 4 \text{ см}^3/\text{час}$  и продолжительность жизни больше, чем 300 часов.





S u m m a r i e s

1. Polynomial Approximations for the Evaluation of  $\int_x^\infty \frac{e^{-u}}{u} du$   
G. Németh

Polynomial approximations to ten digit accuracy for evaluation of the exponential integral are given.

2. Polynomial Approximations to the Struve Functions  $L_0(x)$  and  $L_1(x)$   
G. Németh

Polynomial approximations to 9 digit accuracy are given for the evaluation of  $L_0(x)$  and  $L_1(x)$

3. Evaluation of the Reduced  $\alpha$  -cluster Width in Transitions to Hole-excited Final State  
P. Beregi

Using the independent particle shell model c.f.p.-s, taking into account the spurious states too, the reduced width is evaluated for  $\alpha$  -transitions, assuming the initial nucleus to be in the ground state and the final nucleus at a hole-excited level.

4. Decay Curves of Excited Atomic Levels and the Beat of Light  
J. Bakos

Considering two excited levels, the energy gap between which exceeds the line width, the motion of the atom in the superposition of the excited states is studied. It is known that the atoms decay from both excited levels exponentially in time. The intensity measured with ideal detector contains, however, the beat of light. The dependence of the beat of light on space and time are evaluated.

5. Energy Distribution of Fission Fragments from U-233, U-234, Pu-239  
T. Nagy, I. Pavlicsek, L. Nagy

Employing gridded ionization chamber, the energy distribution of fission fragments obtained by thermal neutron induced fission of U-233, U-235 and Pu-239 has been measured. The results of the measurement, performed as preliminary experiment in preparing the experimental investigation of ternary fission, are in good agreement with those of other authors.

6. Mössbauer Effect in Cu<sub>3</sub>Au Alloy  
T. Blazsó

The Au<sup>197</sup> Mössbauer line width has been measured in both ordered and disordered Cu<sub>3</sub>Au alloy at liquid air temperature. The line width in the disordered state was found to be twice that observed for ordered structure. If one assumes the broadening to be due to quadrupole interaction, the internal electric field gradient can be evaluated as  $0,5 \cdot 10^{18}$  V/cm<sup>2</sup>.

7. Investigation on the Fine Structure of the 2-7. Balmer Lines in Deuterium  
L. Csillag

The fine structure of the 2-7. Balmer Lines in deuterium gas has been studied. The experimental apparatus is described. A high frequency discharge tube in which Deuterium of 0,025 torr pressure was circulated served as light source. Resolution of the lines is achieved by crossing a quartz Fabry-Perot interferometer with a spectrophotograph.

8. On a RF Ion Source of Long Meanlife  
L. Vályi, P. Gombos, J. Roósz

The features of a low intensity ion source of radiofrequency, having a discharge tube without electrode, are investigated. The characteristics of the ion current-extracting voltage have been measured for various distances between the electrodes of spherical geometry. The curves exhibit two portions of different behaviour, one varying with  $V^{3/2}$ , the other linearly. Composition and standard deviation in energy of the extracted ion beam have been determined. For 2 kV extracting voltage the standard deviation in

energy was found to be 42 eV and the proton fraction 70 %. For ion current of 30  $\mu$ a the gas consumption rate is  $\sim 3-4$  cm<sup>3</sup>/h, meanlife more than 300 h.



POLINOM APPROXIMÁCIÓK  $\int_x^\infty \frac{e^{-u}}{u} du$  SZÁMITÁSÁHOZ

Írta: Németh Géza

Összefoglalás

A dolgozat 10 jegyre pontos polinom közelítéseket tartalmaz az exponenciális integrál számításához.

Polinom approximációkat készítettünk az

$$F(x) = \int_x^\infty \frac{e^{-u}}{u} du$$

függvény un. exponenciális integrál URAL I. elektronikus számológépen történő generálásához. /Megjegyezzük, hogy a képletek alkalmasak kézi számolásra, vagy megfelelő módosítással más gépen való számolásra is. A 10 jegy pontosság az URAL I. gép számábrázolási terjedelme./Az approximációs együtthatókat a függvény alkalmas Csebisev polinomok szerinti sorfejtésének megfelelő részletösszegei segítségével számítottuk ki. Ismeretes [1], hogy ez az eljárás aszimptotikusan "majdnem" a legjobb egyenletes megközelítést adja.

A  $/0, \infty /$  intervallumot két részre osztva, a  $/0, a/$  és az  $/a, \infty /$  intervallumokra adunk meg közelítéseket. Mivel képleteink levezetése előtt nem világos, hogy "a" mely választása a legcélszerűbb, "a" értékét egyenlőre nem rögzítjük.

1/ Először a  $/0, a/$  intervallumot tekintve alkalmazzuk az exponenciális integrál alábbi kifejtését [2]:

$$\int_x^\infty \frac{e^{-u}}{u} du = -\ln x - c + \int_0^x \frac{1-e^{-u}}{u} du, \quad c = 0,577\dots$$

Az utóbbi integrált kissé átalakítjuk:

$$\int_0^x \frac{1-e^{-u}}{u} du = \int_0^1 \int_0^1 e^{-xu\eta} du d\eta.$$

Bevezetve az  $x=at$   $0 \leq t \leq 1$  helyettesítést, a kettős integrált  $e^{-at}$  Csebisev sorfejtése segítségével Csebisev sorba fejthetjük:

$$\int_0^1 \int_0^1 e^{-atu\eta} du d\eta = c_0 + 2 \sum_{n=1}^{\infty} (-1)^n C_n T_n^*(t) \quad 0 \leq t \leq 1.$$

Itt  $T_n^*(t)$  az alábbi Csebisev polinomot jelöli:

$$T_n^*(t) = T_n(2t-1) = \cos(n \arccos(2t-1)) \quad n=0,1,2,\dots,$$

és

$$c_n = \int_0^1 \int_0^1 e^{-a/2 u \eta} I_n\left(\frac{a}{2} u \eta\right) du d\eta = 0 \left( \frac{(a/4)^n}{(n+2)!} \right).$$

A  $c_n$  becslése biztosítja a Csebisev sor abszolút és egyenletes konvergenciáját.

A  $c_n$  együtthatók számítása a következő rekurziós képletek segítségével végezhető el:

$$c_{n+1} - 2c_n + c_{n-1} = \frac{1}{n} (\gamma_{n-1} - \gamma_{n+1}),$$

$$\gamma_{n+1} - 2\gamma_n + \gamma_{n-1} = \frac{4}{a} e^{-a/2} I_n(a/2),$$

$$n=1,2,3,\dots$$

Ezek a képletek  $c_n$  integrál előállításából parciális integrálással és az  $I_n(x)$  Bessel függvények rekurziós képletének alkalmazásával nyerhetők. Ezekről az egyszerű számításoktól a rövideg kedvéért eltekintünk.

2/ Nagy argumentum esetén az exponenciális integrál aszimptotikus sorfejtésével szokás dolgozni:

$$\int_x^{\infty} \frac{e^{-u}}{u} du = \frac{e^{-x}}{x} \int_0^{\infty} \frac{e^{-u}}{1+\frac{1}{x}u} du \cong \frac{e^{-x}}{x} \left\{ 1 - \frac{1!}{x} + \frac{2!}{x^2} - \frac{3!}{x^3} + \dots \right\}$$

Itt a kapcsos zárójelben álló sor, amely formálisan úgy adódik, hogy az  $1/(1+\frac{1}{x}u)$  kifejezést  $1/x$  szerinti geometriai sorba fejtettük, nyilvánvalóan divergens. Mi most ezt a kifejezést Csebisev sorba fejtjük, és így konvergens sorra jutunk.

$$\text{Legyen } x \geq a, \text{ és } a/x = \sigma \leq 1,$$

$$\int_0^{\infty} \frac{e^{-u}}{1+\frac{1}{x}u} du = \int_0^{\infty} \frac{au^{-au}}{1+\sigma u} du.$$

Helyettesítsük be az integrálba  $1/(1+\sigma u)$  ( $u > 0, 0 \leq \sigma \leq 1$ ) Csebisev-sorát, így azt kapjuk, hogy

$$\int_0^{\infty} \frac{e^{-u}}{1+\frac{1}{x}u} du = d_0 + 2 \sum_{n=1}^{\infty} (-1)^n d_n T_n^*(\sigma), \quad 0 \leq \sigma \leq 1.$$

ahol

$$d_n = \int_0^{\infty} a e^{-au} \frac{1}{\sqrt{1+u}} \frac{u^n}{(1+\sqrt{1+u})^{2n}} du.$$

A kapott Csebisev sor konvergenciáját bebizonyítandó, meg kell vizsgálnunk  $d_n$  viselkedését  $n \rightarrow \infty$  esetére. A  $d_n$  számok integrálalakjára alkalmazva a Laplace módszert, az alábbi eredmény adódik:

$$d_n = e^{-3a^{1/3}n^{2/3}} \left\{ A + O\left(\frac{1}{n^{1/3}}\right) \right\}$$

Itt  $A$  az  $n$ -től független állandó. Ez a becslés biztosítja a Csebisev sor abszolút és /  $\sigma$ -ban/ egyenletes konvergenciáját.

A  $d_n$  számok rekurzive határozhatók meg az alábbi képletek szerint:

$$d_0 = \sqrt{a\pi} e^{-a} \operatorname{erfc}(\sqrt{a}),$$

$$d_1 = d_0 - 2a \int_0^{\infty} e^{-au} \frac{1}{1+u+\sqrt{1+u}} du,$$

$$d_2 = 2 - 17d_0 - 11d_1,$$

$$(n+1)(d_n - 2d_{n+1} + d_{n+2}) - (n+2)(d_{n+1} - 2d_{n+2} + d_{n+3}) = 4a(d_{n+1} + d_{n+3}),$$

$$n = 0, 1, 2, \dots$$

E képletek közül az első három triviális, a negyedik /a rekurziós/képlet levezetése  $d_n$  integrálalakjából parciális integrálással és egyéb elemi átalakításokkal nyerhető.

A függőben hagyott  $a$  paraméter célszerű megválasztása azon

gyakorlati követelmény alapján történhet, hogy az előírt 10 jegynyi pontosságot mind a  $/0, a/$ , mind az  $/a, \infty /$  intervallumra ugyanannyi tag figyelembe vételével érjük el. Képleteink alapján becsülve a  $\sim 4$  adódik. Ezért az  $a=4$  választással végeztük el a  $c_n$  és  $d_n$  együtt-hatók számítását. A képletekben szereplő Bessel-függvények megfelelő értékeit Gray-Matthews [3] könyvéből vettük. A  $c_n$  együtt-hatók számításánál a csökkenő  $n$ -ek irányában hajtottuk végre a rekurziót, így nem volt szükségünk  $c_0$ ,  $c_1$  és  $\gamma_0$ ,  $\gamma_1$  ismeretére a rekurzió elindításához. Ez az eljárás hasonlít Clenshaw [4] ill. Miller [5] algoritmusához.

A  $d_n$  számok számítását növekvő  $n$ -k irányában haladó rekurzióval végeztük el. Ujabban Luke és Wimp [6] bebizonyították, hogy a  $d_n$  számítását megfelelő normálás mellett célszerűbb Miller algoritmusával végrehajtani.

Az együtt-hatók kiszámítása után a megfelelő Csebisev sorok részletösszegeit visszarendeztük polinomná, és a következő eredményeket nyertük:

$$\int_x^\infty \frac{e^{-u}}{u} du = -\ln t + \sum_{n=0}^{12} a_n t^n + h_{12},$$

$$\bar{h}_{12} = \max_{0 \leq x \leq 4} |h_{12}(x/4)| \sim 2,1 \cdot 10^{-11} \quad 0 \leq x = 4t \leq 4.$$

Itt az  $a_n$  együtt-hatók numerikus értéke az alábbi:

$n$	$a_n$
0	-1,963510 026021 4
1	3,999999 999978 8
2	-3,999999 994080 8
3	3,555555 270396 8
4	-2,666661 256806 4
5	1,706613 394739 2
6	-0,947836 822732 8
7	0,463236 215603 2
8	-0,200279 788748 8
9	0,075362 874163 2
10	-0,023215 892070 4
1	0,005089 158758 4
2	-0,000573 780787 2



Másrészt

$$\int_x^\infty \frac{e^{-u}}{u} du = \frac{e^{-x}}{x} \left\{ \sum_{n=0}^{13} b_n \sigma^n + h_{13} \right\},$$

$$\bar{h}_{13} = \max_{4 \leq x \leq \infty} |h_{13}(4/x)| \sim 3 \cdot 10^{-11}$$

ahol

$$x \geq 4, \quad \sigma = 4/x$$

n	$b_n$
0	0,999999 999967 7
1	-0,249999 986611 6
2	0,124999 066063 2
3	-0,093723 905472 0
4	0,093360 570931 2
5	-0,113587 483750 4
6	0,153120 156876 8
7	-0,203117 233766 4
8	0,236846 419148 8
9	-0,221921 843609 6
10	0,155131 104460 8
1	-0,074693 423923 2
2	0,021901 816627 2
3	-0,002932 657356 8

Az alkalmazásokban az

$$E_1(x) = \int_x^\infty \frac{e^{-u}}{u} du = \int_1^\infty \frac{e^{-xu}}{u} du$$

függvényen kívül, ennek általánosításai, az

$$E_\nu(x) = \int_1^\infty \frac{e^{-xu}}{u^\nu} du$$

függvények is gyakran szerepelnek. Mi csak a  $0 < \nu \leq 1$  esetre vonatkozó approximációk megszerkesztésével foglalkozunk.

Kis argumentum esetén  $0 \leq x \leq 4$   $E_\nu(x)$  alábbi alakját használjuk fel:

$$E_{\nu}(x) = \Gamma(1-\nu) x^{\nu-1} - \frac{1}{1-\nu} + \int_0^1 u^{-1-\nu} \frac{1-e^{-xu}}{u} du .$$

Helyettesítsük be ide  $\frac{1-e^{-4t}}{t}$   $0 \leq t \leq 1$  valamely közelítését:

$$\frac{1-e^{-4t}}{t} = \sum_{n=0}^{12} \alpha_n t^n + k .$$

A jelen esetben ilyen közelítést úgy nyertünk, hogy meghatároztuk az

$$\frac{1-e^{-4t}}{t} = q_0 + 2 \sum_{n=1}^{\infty} (-1)^n q_n T_n^*(t) , \quad 0 \leq t \leq 1 ,$$

Csebisev sorfejtés megfelelő részletösszegét. A sorfejtés  $q_n$  együtt-  
hatóit a

$$q_{n+1} - 2q_n + q_{n-1} = 4e^{-2} I_n(2) , \quad n=1, 2, \dots ,$$

rekurziós képlet segítségével számítottuk ki. A behelyettesítés után /elvégezve az  $u$  szerinti integrálást/, a következő képletet kaptuk:

$$E_{\nu}(x) = \Gamma(1-\nu) x^{\nu-1} - \frac{1}{1-\nu} + \sum_{n=0}^{12} \frac{\alpha_n}{n+2-\nu} t^{n+1} + K ,$$

$$\bar{k} \leq k ; \quad \bar{k} = \max_{0 \leq t \leq 1} |k(t)| \sim 3 \cdot 10^{-11} , \quad 0 \leq t = x/4 \leq 1 .$$

n	$\alpha_n$
0	3,999999 999982 8
1	-7,999999 994310 4
2	10,666666 346774 4
3	-10,666659 551641 6
4	8,533250 686054 4
5	-5,688314 521395 2
6	3,248214 762291 2
7	-1,617567 839027 2
8	0,705910 590668 8
9	-0,264597 353267 2
10	0,079833 753190 4
1	-0,016864 457523 2
2	0,001811 939328 0

A  $\Gamma(x)$  számolására az alábbi képletet használhatjuk:

$$\frac{1}{\Gamma(x)} = \sum_{n=0}^{10} c_n x^{n+1} + h_{10}, \quad \bar{h}_{10} \sim 6 \cdot 10^{-11}, \quad 0 \leq x \leq 1.$$

n	$c_n$
1	0,9999999 999942
2	0,577215 676788
3	-0,655878 477704
4	-0,041997 231200
5	0,166501 787776
6	-0,042051 677696
7	-0,009981 902848
8	0,007786 184704
9	-0,001737 228288
10	0,000142 868480

Az  $x \geq 4$  esetére  $E_\nu(x)$ -t az alábbi alakba írjuk át:

$$E_\nu(x) = \frac{e^{-x}}{x} \int_0^\infty 4e^{-4u} \frac{1}{(1+\sigma u)^\nu} du.$$

Alkalmazzuk most a következő integrálatalakítást:

$$\frac{1}{(1+\sigma u)^\nu} = \int_0^1 \frac{1}{\Gamma(\nu)\Gamma(1-\nu)} \omega^{\nu-1} (1-\omega)^{-\nu} \frac{1}{1+\omega\sigma u} d\omega$$

Igy

$$E_\nu(x) = \frac{e^{-x}}{x} \left\{ \frac{1}{\Gamma(\nu)\Gamma(1-\nu)} \int_0^1 \omega^{\nu-1} (1-\omega)^{-\nu} \left[ \int_0^\infty 4e^{-4u} \frac{1}{1+\omega\sigma u} du \right] d\omega \right\}$$

adódik. A belső integrál Csebisev sorfejtését ismerjük. Alkalmazzuk most ezt a  $\sigma\omega$  helyre, és végezzük el az integrálást tagonként. Így

$$E_\nu(x) = \frac{e^{-x}}{x} \left\{ \sum_{n=0}^{13} b_n \rho_n^{(\nu)} \sigma^n + h_{13} \right\},$$

$$\rho_0^{(\nu)} = 1; \quad \rho_n^{(\nu)} = \frac{n+\nu}{n+1} \rho_{n-1}^{(\nu)}, \quad n=1,2,3,\dots$$

$$\bar{h}_{13} \sim 3 \cdot 10^{-11}, \quad 0 \leq \sigma = \frac{4}{x} \leq 1.$$

Megjegyezzük, hogy  $E_\nu(x)$  számításának ez a módszere - ismert polinom-approximáció súlyozása paramétertől függő faktorokkal - azonos a faktor-módszer [7] egy speciális esetével.

I r o d a l o m

- [ 1 ] Natanson, I.P.: Konstruktiv függvénytan. Akadémiai Kiadó, Bp. 1952 /145/
- [ 2 ] Градштейн, И.С., Рыжик, И.М.: Таблицы..., Гос.Изд. Физ. Мат. Лит. Москва 1962 /94I/ (8.2I4.I)
- [ 3 ] Грей, Э., Метюз. Г.Б.: Функции Бесселя. Изд. Иностран. Лит. Москва 1953
- [ 4 ] Clenshaw, C.W.: The numerical solution of linear differential equations in Chebyshev series. Proc. Cambridge Phil.Soc. 53, /1957/
- [ 5 ] British Association for the Advancement of Science, "Bessel functions, Part II. Mathematical Tables, Vol. X. Cambridge Univ. Press, 1952
- [ 6 ] Luke, Y.L., Wimp, J.: Jacobi Polynomial Expansions. Mathematics of Computation 17, /1963/
- [ 7 ] Németh, G.: Construction of Approximations to Functions by the Factor Method. Mathematics of Computation /sajtó alatt/

Érkezett: 1964. nov. 16.  
KFKI Közl. 12.évf. 6.szám, 1964.

POLINOM APPROXIMÁCIÓK AZ  $L_0(x)$  ÉS  $L_1(x)$  STRUVE-FÜGGVÉNYEK SZÁMITÁSÁHOZ

Irta: Németh Géza

Összefoglalás

A dolgozat 9 jegyre pontos approximációs képleteket tartalmaz  $L_0(x)$  és  $L_1(x)$  számára.

Polinom approximációkat készítettünk az  $L_0(x)$  és  $L_1(x)$  un.képzetes argumentumu Struve függvények számításához. Ezeket a függvényeket az

$$L_\nu(x) = \sum_{m=0}^{\infty} \frac{(x/2)^{\nu+2m+1}}{\Gamma(m+3/2)\Gamma(\nu+m+3/2)}$$

sorfejtéssel szokás definiálni. /Ezzel egyenértékű definíciókat illetően v.ö.: [1] ./

Az  $L_0(x)$  függvényt  $0 \leq x \leq 8$  esetre az alábbi Csebisev polinomsor részletösszegével approximáltuk:

$$L_0(at) = 2 \sum_{n=0}^{\infty} I_{n+1/2}^2\left(\frac{1}{2}a\right) T_{2n+1}(t) \quad 0 \leq t \leq 1.$$

Nyilván  $I_{n+1/2}\left(\frac{1}{2}a\right) = 0 \left(\frac{(a/4)^n}{\Gamma(n+3/2)}\right)$ . A számítást  $a=8$  esetre végeztük el,

és az alábbi közelítést nyertük:

$$L_0(x) = 4/\pi \left( \sum_{n=0}^{11} a_n t^{2n+1} + h_{11} \right) \quad 0 \leq t = x/8 \leq 1.$$

$$\bar{h}_{11} = \max_{0 \leq t \leq 1} |h_{11}(t)| \sim 5 \cdot 10^{-11}.$$

Az  $a_n$  számokat az I. táblázatban adjuk meg. Az  $L_1(x)$  függvényt  $L_0(x)$  -hez hasonló sorral állítottuk elő:

$$L_1(at) = 4at \sum_{n=0}^{\infty} \left\{ I_{n+1/2}^2\left(\frac{1}{2}a\right) - I_{n+3/2}\left(\frac{1}{2}a\right) I_{n-1/2}\left(\frac{1}{2}a\right) \right\} T_{2n+1}(t) \quad 0 \leq t \leq 1.$$

Ennek a sornak 12 tagu részletösszegét számítottuk ki  $a=8$  helyettesítés-sel, és kaptuk:

$$L_1(x) = \frac{4}{\pi} \left\{ \sum_{n=0}^{11} C_n t^{2n+2} + k_{11} \right\} ; \quad \bar{k}_{11} \sim 1.10^{-11} \quad 0 \leq t = x/8 \leq 1.$$

A  $C_n$  számokat a II. táblázatban adjuk meg. Továbbá  $x \geq 8$  esetre  $L_0(x)$ -t az alábbi integrál előállítás segítségével határoztuk meg:

$$L_0(x) = I_0(x) - \frac{2}{\pi} \sigma \int_0^{\infty} \frac{J_0(a\eta)}{1+\sigma^2\eta^2} d\eta .$$

Itt  $\sigma = a/x$  és  $a=8$ . Az  $I_0(x)$  approximációja jól ismert v.ö.: [2]. Ezért a továbbiakban csak az integrál számításával foglalkozunk. Ez az integrál  $\sigma$  hatványai szerint  $0 \leq \sigma \leq 1$  Csebisev sorba fejthető:

$$\int_0^{\infty} \frac{J_0(a\eta)}{1+\sigma^2\eta^2} d\eta = S_0 + 2 \sum_{n=1}^{\infty} (-1)^n S_n T_{2n}(\sigma) \quad 0 \leq \sigma \leq 1$$

Az  $S_n$  számok a konfluens hipergeometriai függvény értékeivel kifejezhetők, éspedig:

$$S_n = \frac{1}{a} \Gamma(n + \frac{1}{2}) W_{-n,0}(a) M_{n,0}(a) = e^{-2\sqrt{an}} \cos(2\sqrt{an} - \pi/4) O(n^{-1/2}) .$$

Az  $S_n = p_n q_n$  számok numerikusan az alábbi rekurziós képletekből számolhatók ki:

$$p_0 = I_0(\frac{1}{2} a) ; \quad p_1 = I_0(\frac{1}{2} a) - a [I_0(\frac{1}{2} a) - I_1(\frac{1}{2} a)]$$

$$(2n+1)(p_n - p_{n+1}) - (2n+3)(p_{n+1} - p_{n+2}) = -2ap_{n+1} \quad n = 0, 1, 2, \dots$$

$$q_n = K_0(\frac{1}{2} a) ; \quad q_1 = K_0(\frac{1}{2} a) + a [K_0(\frac{1}{2} a) - K_1(\frac{1}{2} a)]$$

$$(2n+1)(q_n - q_{n+1}) - (2n+3)(q_{n+1} - q_{n+2}) = 2aq_{n+1}$$

Elvégezve  $a=8$  helyettesítéssel a számításokat, a következő eredményt kaptunk:

$$L_0(x) = I_0(x) - P_0(x) ,$$

$$P_0(x) = \frac{1}{4\pi} \sum_{n=0}^{10} b_n \sigma^{2n+1} + h_{10} ,$$

$$\bar{h}_{10} \sim 2 \cdot 10^{-10} ; \quad 0 \leq \sigma = 8/x \leq 1 .$$

A  $b_n$  számokat a III. táblázatban adjuk meg. Az  $L_1(x)$  függvényt  $x \geq 8$  esetére az alábbi integrál előállítás segítségével határozzuk meg:

$$L_1(x) = I_1(x) - \frac{2}{\pi} + \frac{2}{\pi} \sigma \int_0^{\infty} \frac{\sigma \eta}{1 + \sigma^2 \eta^2} J_1(a \eta) d\eta .$$

Az  $I_1(x)$  approximációja jól ismert, v.ö.: [2]. Mi csak az integrál számításával foglalkozunk. Ez az integrál  $\sigma$  hatványai szerint Csebisev sorba fejthető:

$$\int_0^{\infty} \frac{\sigma \eta}{1 + \sigma^2 \eta^2} J_1(a \eta) d\eta = 2 \sum_{n=0}^{\infty} (-1)^n \omega_n T_{2n+1}(\sigma) \quad 0 \leq \sigma \leq 1 .$$

Az  $\omega_n$  számok a konfluens hipergeometriai függvény értékeivel kifejezhetők, éspedig:

$$\omega_n = \frac{1}{a} \Gamma\left(n + \frac{3}{2}\right) W_{-n-1/2, 1/2}(a) M_{n+1/2, 1/2}(a) = e^{-2\sqrt{an}} \cos(2\sqrt{an} - \pi/4) O(1) .$$

Az  $\omega_n = \alpha_n \beta_n$  számok numerikusan az alábbi rekurziós képletekből számolhatók ki:

$$\alpha_0 = a \left[ I\left(\frac{1}{2} a\right) - I_1\left(\frac{1}{2} a\right) \right] ; \quad \alpha_1 = \frac{1}{2} \left[ -2(a-1)\alpha_0 + a \left\{ I_0\left(\frac{1}{2} a\right) + I_1\left(\frac{1}{2} a\right) \right\} \right]$$

$$(2n+1)(\alpha_n - \alpha_{n+1}) - (2n+3)(\alpha_{n+1} - \alpha_{n+2}) = -2a\alpha_{n+1}$$

$$\beta_0 = \frac{a}{2} \left[ K_1\left(\frac{1}{2} a\right) - K_0\left(\frac{1}{2} a\right) \right] ; \quad \beta_1 = (2a+1)\beta_0 - aK_0\left(\frac{1}{2} a\right)$$

$$\beta_n - 2\beta_{n+1} + \beta_{n+2} = \frac{2a}{2n+1} \beta_{n+1}$$

Elvégezve  $a=8$  helyettesítéssel a számításokat, a következő eredményt kaptuk:

$$L_1(x) = I_1(x) - P_1(x)$$

$$P_1(x) = \frac{2}{\pi} \sum_{n=0}^{10} d_n \sigma^{2n} + k_{10} ;$$

$$\bar{k}_{10} \sim 5 \cdot 10^{-10} ; \quad 0 \leq \sigma = 8/x \leq 1 .$$

A  $d_n$  számokat a IV. táblázatban adjuk meg.

Táblázatok

n	I. ( $a_n$ )	n	II. ( $c_n$ )
0	3,999999 999202	0	10,666666 665857
1	28,444444 526212	1	45,511111 142349
2	72,816807 584992	2	83,220316 640224
3	95,108970 008704	3	84,541285 712704
4	75,147515 330816	4	54,652862 236058
5	39,748993 200128	5	24,460461 136077
6	15,047878 176768	6	8,026639 988326
7	4,291120 939008	7	2,017581 249331
8	0,934366 412800	8	0,395283 215155
9	0,181267 595264	9	0,067809 679770
10	0,016501 440512	10	0,006215 958528
1	0,005557 452800	1	0,001698 693120
n	III. ( $b_n$ )	n	IV. ( $d_n$ )
0	0,999999 998730	0	0,999999 999995
1	0,015625 747694	1	-0,015625 082500
2	0,002151 264952	2	-0,000727 002912
3	0,001799 848256	3	-0,000274 967808
4	-0,008165 060608	4	0,000770 262912
5	0,042804 871168	5	-0,003691 648000
6	-0,098736 054272	6	0,007290 836992
7	0,122452 541440	7	-0,007893 860352
8	-0,087854 022656	8	0,005165 645824
9	0,034681 126912	9	-0,001959 919616
10	-0,005866 258432	10	0,000335 544320

I r o d a l o m

- [1] Градштейн, И.С., Рыжик, И.П.: Таблицы интегралов, сумм, рядов и произведений. Гос.Изд.Физ. Мат.Лит. Москва 1963  
996 (8.55I)
- [2] Bourgoyne, F.D.: Polynomial Approximations M.T.A.C. 16, /80/ 1962

Érkezett: 1964.márc.10.  
KFKI Közl. 12.évf. 6.szám, 1964.



AZ  $\alpha$  -CLUSTER REDUKÁLT SZÉLESSÉGÉNEK KISZÁMITÁSA LYUK-GERJESZTETT  
VÉGMAGOKBA VALÓ ÁTMENETEKNEÉL

Irta: Beregi Péter

Összefoglalás

A független részecske héjmodell származási együtthatói segítségével, figyelembe véve a hamis /spurious/ állapotokat is, kiszámítottuk a könnyű magok esetében azon  $\alpha$  -átmenetek redukált szélességét, melyeknél a kezdőmag alapállapotban, a végmag lyuk-gerjesztett állapotban van.

1/ Bevezetés

Ismeretes, hogy a héjmodellben a mag tömegközéppontja nincs nyugalomban, hanem rezgőmozgást végez a koordinátarendszer kezdőpontja körül. Ez azt jelenti, hogy a héjmodell nem eltolás-invariáns. / Héjmodell alatt mindenütt a független részecske modellt értjük [1] ./ Elliott és Skyrme [2] megállapították, hogy milyen kapcsolat áll fenn az oszcillátor-héjmodell

$$H_{\text{héj}} = \sum_{i=1}^A T_i + \sum_{i=1}^A \frac{1}{2} m \omega^2 r_i^2 \quad /1/$$

Hamilton-operátorának  $\psi_{\text{héj}}$  sajátfüggvényei /itt  $T_i$  az  $i$  -ik nukleon kinetikus energiája/ és a nukleonok kölcsönös mozgását leíró eltolás-invariáns héjmodell /EIHM/

$$H_{\text{bel}} = \sum_{i=1}^A T_i + \sum_{i=1}^A \frac{1}{2} m \omega^2 (r_i - R)^2 - \frac{1}{2mA} P^2 \quad /2/$$

Hamilton-operátora  $\psi_{\text{bel}}$  sajátfüggvényei között. Itt  $R = \frac{1}{A} \sum_{i=1}^A r_i$ ,  $A$

a magban lévő nukleonok száma,  $P$  a tömegközéppont impulzusa. Ha csak egy betöltetlen héj van és az összes alacsonyabban fekvő héj be van töltve, úgy a Skyrme-Elliott tétel szerint írhatjuk:

$$\Psi_{h\acute{e}j} = \Psi_{000}(\mathbf{R}) \Psi_{bel.} \quad /3/$$

Ha lyuk /hole/ állapotok is vannak, akkor a  $\Psi_{h\acute{e}j}$  a tömegközéppont  $\Psi_{000}(\mathbf{R})$  nullrezgésein kívül a tömegközéppont néhány gerjesztett állapotát, az un. hamis /spurious/ állapotokat is tartalmazza. Ezeket a számításoknál ki kell küszöbölni.

Kimutatták [3], hogy ha ismerjük a mag belső hullámfüggvényeit, mint bizonyos belső koordináták függvényét, és azt sorba kell fejteni a héjmodell függvényei szerint /ilyen feladat merül fel például a reakciók héjmodellen alapuló leírásakor nukleonclusterek kirepülésekor/, úgy a sorfejtésnél kényelmesebb a  $\Psi_{h\acute{e}j}$  függvények helyett az eltolás-invariáns  $\Psi_{bel.}$  függvényekkel dolgozni.

A nukleon teljesen antiszimmetrikus hullámfüggvényét az EIHM-ben a következőképpen jelöljük [3] :

$$|AN[f] \alpha LST \rangle \quad /4/$$

Itt  $N$  a főkvantumszám,  $[f]$  a Young-ábra,  $L$  az eredő pályamomentum,  $S$  az eredő spin,  $T$  az eredő izospin,  $\alpha$  az egyéb kvantumszámokat jelenti, melyek az állapot teljes meghatározásához szükségesek.

Szmirnov és Sitikova [3] bevezették a származási együtthatókat /SzE/ a /4/ függvények felépítésére. A SzE-k segítségével  $A$  nukleon teljesen antiszimmetrikus hullámfüggvényét fel lehet írni

$A-1$  nukleon antiszimmetrikus függvényének és az ezzel vektorialisan csatolt utolsó nukleonnak a többi  $A-1$  nukleon tömegközéppontja körüli mozgása  $|n_l(\mathbf{R}_{A-1} - \mathbf{r}_A) \rangle$  függvényének lineáris kombinációjaként

$$\begin{aligned} & |AN[f] \alpha LST \rangle = \\ & = \sum \langle AN[f] \alpha LST | \{ |A-1N'[f'] \alpha' L'S'T'; n_l \rangle \cdot \\ & \cdot (L'M'l m | LM) (S'S'_z \frac{1}{2} \sigma | S S'_z) (T'T'_z \frac{1}{2} \tau | T T'_z) \cdot \\ & \cdot |A-1N'[f'] \alpha' L'S'T'M'S'_z T'_z \rangle |n_l m \sigma \tau (\mathbf{R}_{A-1} - \mathbf{r}_A) \rangle \end{aligned} \quad /5/$$

ahol összegezni kell az összes lehetséges  $N'[f'] \alpha' L'S'T'mM'$

szerint, amelyek a kiválasztási szabályok és az  $n + N' = N$  feltétel értelmében megengedettek.

A kétrészecske SzE-kat az

$$|A\alpha LST\rangle = \sum \langle A\alpha LST | \{ |A-2, \alpha' L' S' T'; n\lambda, N_0 L_0 S_0 T_0(L'')\rangle \cdot \\ \cdot (L'M'L''M'' | LM) (\lambda M_\lambda L_0 M_0 | L''M'') (S'S'_z S_0 \sigma_0 | SS_z) (T'T'_z T_0 \tau_0 | TT_z) \cdot \quad /6/ \\ \cdot |A-2 \alpha' L' S' T' M' S'_z T'_z\rangle \Psi_{n\lambda M_\lambda}(\mathbf{R}_{A-2} - \mathbf{R}_2) |N_0 L_0 S_0 T_0 M_0 \sigma_0 \tau_0(\mathbf{r}_{A-1} - \mathbf{r}_A)\rangle$$

egyenlet definiálja [3] szerint.

Itt  $N_0 L_0$  az utolsó két /  $A-1$  és  $A$  / nukleon relativ mozgásának főkvantumszáma és pályamomentuma,  $\Psi_{n\lambda M_\lambda}(\mathbf{R}_{A-2} - \mathbf{R}_2)$  az utolsó két részecske tömegközéppontja mozgásának oszcillátorfüggvénye a többi  $A-2$  nukleon tömegközéppontjához képest.

Szmirnov és Sitikova [3] meghatározták a  $A=2,3,4,5$  magok legalsó  $N=0,1,2$  állapotára vonatkozó SzE-kat és megmutatták, hogy speciális esetben kapcsolat áll fenn az EIHM SzE-i és a héjmodell SzE-i között. Ez utóbbiak a  $p$ -héjból 1, 2, 3 nukleon eltávolítása esetére ismertek [4, 5, 6].

Az atommag  $\lambda$  energia nivója  $\alpha$  részecske kilépésére vonatkoztatott  $\gamma^2$  redukált szélességét a

$$\gamma = \left(\frac{A}{4}\right)^{1/2} \frac{\hbar}{\sqrt{2}\mu} \sum_{M_1 M_2} (J_1 M_1 L_2 M_2 | J_0 M_0) \int x_\lambda^* \psi_\lambda \psi_\alpha Y_{L_2 M_2}(\mathbf{R}_1 - \mathbf{R}_\alpha) d\sigma \quad /7/$$

kifejezés adja meg [7, 8], ahol  $|\mathbf{R}_1 - \mathbf{R}_\alpha| = a$  a csatorna sugara,  $x_\lambda$  a kezdeti mag  $\lambda$  nivójának belső hullámfüggvénye,  $\psi_\lambda$  és  $\psi_\alpha$  a végmag, ill. az  $\alpha$ -részecske belső hullámfüggvénye,  $Y_{L_2 M_2}$  a két kimenő részecske kölcsönös mozgása hullámfüggvényének szögtől függő része.  $\mu$  a kimenő részek redukált tömege.  $J_0 M_0, J_1 M_1$  a kezdeti mag és végmag teljes impulzuszórántuma, ill. annak vetülete. Itt a kimenő részecskék belső változói és ezen részecskék viszonylagos mozgásának szögtől függő része szerint integrálunk.

Ha /7/-et az  $R_1 - R_\alpha$  vektor radiális változója szerint is integráljuk a  $\frac{1}{2} a^3 R_{nL_2}^2 (|R_1 - R_\alpha| = a) = 1$  határfeltétel figyelembevételével [9] és még megszorozzuk a  $\sqrt{\frac{a\mu}{\hbar^2}}$  faktorial a dimenzió nélküli redukált  $\alpha$  -szélességre, a következő kifejezést nyerjük:

$$\Theta_{A,n,L_2} = \binom{A}{4}^{1/2} \langle A, A-4 [f_0] L_0 S_0 T_0 \alpha_0 \rangle \left\{ \left| A-4, N_1 = A-4-n, [f_1] L_1 S_0 T_0 \beta; nL_2, 40[4] 000(L_2) \right. \right\} \quad /8/$$

vagyis a dimenzió nélküli  $\alpha$  -szélesség csak egy konstans együtthatóban különbözik az EIHM bizonyos SzE-jától.

Ha egy atommag  $\lambda$  energianívójáról egy  $\alpha$  -részecske távozik, akkor a végmag lyuk-gerjesztett állapotba kerülhet. Ezekre a lyuk-gerjesztett állapotokra kívánjuk a továbbiakban a redukált  $\alpha$  -szélességet meghatározni héjmodell hullámfüggvényeink felhasználásával.

2/ A redukált  $\alpha$  -szélesség meghatározása.

Feltételezzük, hogy a kezdeti mag alapállapotban van, ezért /3/ alapján esetünkben írhatjuk:

$$\chi_\lambda^{\text{héj}} = |S^4 P^{A-4} L_0 \alpha_0 : [f_0] L_0 S_0 T_0 \alpha_0 \rangle = \psi_{000}(R_A) |A, A-4 [f_0] L_0 S_0 T_0 \beta_0 \rangle \quad /9/$$

Feltételezzük továbbá, hogy a végmag lyuk-gerjesztett állapotban keletkezik. Ekkor azonban a héjmodell hullámfüggvénye a tömegközéppont hamis állapotait is tartalmazza

$$\alpha_{k\ell L'}^{nL_1\beta} \quad \text{együtthatókkal:}$$

$$\psi_1^{\text{héj}} = |S^n \alpha_1 P^{A-4-n} L_1 \alpha_1 : [f_1] L_1 M_1 S_0 T_0 \alpha_1 \rangle = \quad /10/$$

$$= \sum_{\substack{k\ell L' \\ \beta m M'}} \alpha_{k\ell L'}^{nL_1\beta} (\ell m L' M' | L_1 M_1) \psi_{k\ell m}(R_{A-4}) |A_1 = A-4, N_1 = A-4-n-k [f_1] L' M' S_0 T_0 \beta \rangle$$

/10/-ben összegezni kell az összes lehetséges  $k\ell L'\beta m M'$  index szerint a

$$0 \leq k \leq 4-n$$

$$|\ell| \leq k$$

$$(-1)^\ell = (-1)^k$$

$$\ell + L' = L$$

feltételek mellett.

A redukált  $\alpha$  -szélesség /8/ kifejezésében szereplő mennyiségek kiszámításához fejtük sorba a /2/ Hamilton-operátor sajátfüggvényeit a héjmodell sajátfüggvényei szerint:

$$\begin{aligned} & \psi_{000}(\mathbf{R}_{A-4}) |A-4, N_1 = A-4-n [f_1] L_1 M_1 S_0 T_0 \alpha_1 \rangle = \\ & = \alpha_{nL_1}^{\beta_1} |S^n p^{A-4-n} : [f_1] L_1 M_1 S_0 T_0 \beta_1 \rangle + \\ & + b_{nL_1}^{\gamma} |S^n p^{A-4-n_1-n_2} \{n_2 : [f_1] L_1 M_1 S_0 T_0 \gamma \rangle \end{aligned} \quad /12/$$

A /12/ kifejezés jobboldalán álló második tag azon héjfüggvényeket jelöli, melyekben  $0s$  és  $1p$  nukleonokon kívül más nukleonok /pl.  $2s$  vagy  $2d$  nukleonok/ is szerepelnek.

Vizsgáljuk meg a következő integrált:

$$\begin{aligned} J_{A,n,L_2} = & \int \psi_{000}^*(\mathbf{R}_A) |A, A-4 [f_0] L_0 S_0 T_0 M_0 \alpha_0 \rangle^* \psi_{000}(\mathbf{R}_{A-4}) |A-4, A-4-n, [f_1] L_1 M_1 S_0 T_0 \alpha_1 \rangle \cdot \\ & \cdot \psi_{nL_2 M_2}(\mathbf{R}_\alpha) \psi_\alpha^{bel} d\tau \end{aligned} \quad /13/$$

Talmi-átalakítás segítségével /13/-ban válasszuk ki azon tagot, amely a  $d\mathbf{R}_A$  szerinti integrálásnál nem nullát ad. Áttérve a pályamomentumok vetületétől független általános Talmi-együtthatókra [10, 11,] valamint a vetületektől független EIHM SzE-kre,  $J_{A,n,L_2}$  -re a következő kifejezést nyerjük:

$$\begin{aligned} J_{A,n,L_2} = & \langle A, A-4 [f_0] L_0 S_0 T_0 \alpha_0 | \{ |A-4, A-4-n [f_1] L_1 S_0 T_0 \beta; nL_2, 40[4] 000(L_2) \rangle \cdot \\ & \cdot \langle 00, nL_2 : L_2 | A-4, 4 | 00, nL_2 : L_2 \rangle \end{aligned} \quad /14/$$

Másrészt fejezzük ki a /13/-ban szereplő EIHM hullámfüggvényeket /9/ és /12/ felhasználásával a héjhullámfüggvények segítségével. Ekkor /13/-ra kapjuk:

$$J_{A,n,L_2} = \alpha_{00L_1}^{nL_1\beta} \langle S^4 p^{A-4} : [f_0] L_0 S_0 T_0 \alpha_0 | S^n p^{A-4-n} : [f_1] L_1 S_0 T_0 \alpha_1 ; S^{4-n} p^n : [4] L_2 00 \rangle \cdot K_\alpha(n, L_2) \quad /15/$$

Itt felhasználtuk, hogy a  $|S^{4-n} \alpha'_2, \rho^n L_2 \alpha''_2 : [4] L_2 M_2 S = 0 \tau=0\rangle$  függvény

tartalmazza a  $\Psi_{nL_2M_2}(R_\alpha) \Psi_\alpha^{bel}$  állapotokat a

$$K_\alpha(n, L_2) = \langle S^{4-n} \rho^n : [4] L_2 M_2 00 | \Psi_{nL_2M_2}(R_\alpha) \Psi_\alpha^{bel} \rangle \quad /16/$$

együtthatóval. Figyelembe vettük azt is, hogy /12/-ben a  $b_{nL_1}^r$  együtthatóval álló tagok integrálásakor nullát adnak. Ezenkívül felhasználtuk, hogy a héjfüggvényről a tömegközéppont szerint tiszta függvényekhez vezető transzformáció unitér jellegének következményeként

$$\alpha_{nL_1}^{\beta_1} = \alpha_{k=0, l=0, l'=L_1}^{nL_1\beta}$$

A /14/ és /15/ kifejezések egybevetéséből a redukált  $\alpha$  -szélességre a következő kifejezést nyerjük:

$$\Theta_{A,n,L_2} = (-1)^{L_2} \alpha_{k=0, l=0, l'=L_1}^{n, L_1 \beta} \left(\frac{A}{4}\right)^{1/2} \left(\frac{A}{A-4}\right)^{n/2}.$$

/17/

$$\langle S^4 \rho^{A-4} : [f_0] L_0 S_0 T_0 \alpha_0 | S^n \rho^{A-4-n} : [f_1] L_1 S_1 T_1 \alpha_1 ; S^{4-n} \rho^n [4] L_2 00 \rangle K_\alpha(n, L_2)$$

Látjuk, hogy a redukált  $\alpha$  -szélesség kiszámításához szükséges a négy-részecske származási együtthatók, a  $K_\alpha(n, L_2)$  és az  $\alpha_{kl}^{nL_1\beta}$  együtthatók ismerete.

### 3/ Származási együtthatók számítása kevert konfiguráció esetében.

Korábban a kevert konfigurációkban a SzE-kat csak 1 és 2 részecske elkülönítése esetében tárgyalták [12, 13]. E munkák levezetésében lévő megfontolások általánosításával a következő képleteket nyerhetjük:

$$\langle l_1^{n_1} \alpha_1 L_1 S_1 T_1, l_2^{n_2} \alpha_2 L_2 S_2 T_2 : LST \left\{ \left| l_1^{n_1-a} \alpha_1 L_1 S_1 T_1, l_2^{n_2-b} \alpha_2 L_2 S_2 T_2 : L'S'T' ; \right. \right.$$

$$\left. l_1^a \alpha_1 L_1 S_1 T_1, l_2^b \alpha_2 L_2 S_2 T_2 : L_0 S_0 T_0 \right\rangle =$$

$$= (-1)^{a(n_2-b)} \sqrt{\frac{\binom{n_1}{a} \binom{n_2}{b}}{\binom{n_1+n_2}{a+b}}} \begin{pmatrix} L_1' & L_2' & L' \\ L_1'' & L_2'' & L_0 \\ L_1 & L_2 & L \end{pmatrix} \begin{pmatrix} S_1' & S_2' & S' \\ S_1'' & S_2'' & S_0 \\ S_1 & S_2 & S \end{pmatrix} \begin{pmatrix} T_1' & T_2' & T' \\ T_1'' & T_2'' & T_0 \\ T_1 & T_2 & T \end{pmatrix} \quad /18/$$

$$\langle \ell_1^{n_1} \alpha_1 L_1 S_1 T_1 \left\{ \ell_1^{n_1-a} \alpha_1' L_1' S_1' T_1', \ell_1^a \alpha_1'' L_1'' S_1'' T_1'' \right\} \rangle \langle \ell_2^{n_2} \alpha_2 L_2 S_2 T_2 \left\{ \ell_2^{n_2-b} \alpha_2' L_2' S_2' T_2', \ell_2^b \alpha_2'' L_2'' S_2'' T_2'' \right\} \rangle$$

Ha a nukleonok mind csak az első vagy csak a második héjból különülnek el, úgy

$$\langle \ell_1^{n_1} \alpha_1 L_1 S_1 T_1, \ell_2^{n_2} \alpha_2 L_2 S_2 T_2 : LST \left\{ \ell_1^{n_1-d} \alpha_1' L_1' S_1' T_1', \ell_2^{n_2} \alpha_2 L_2 S_2 T_2 : L'S'T'; \ell_1^d \alpha_1'' L_1'' S_1'' T_1'' \right\} \rangle =$$

$$= (-1)^{dn_2+L_1+L_2+L_1'+L_2'+S_1+S_2+S_1'+S_2'+T_1+T_2+T_1'+T_2'} \sqrt{\frac{\binom{n_1}{d}}{\binom{n_1+n_2}{d}}} \quad /19/$$

$$\cdot U(L_2 L_1' L L_0 : L' L_1) U(S_2 S_1' S S_0 : S' S_1) U(T_2 T_1' T T_0 : T' T_1)$$

$$\cdot \langle \ell_1^{n_1} \alpha_1 L_1 S_1 T_1 \left\{ \ell_1^{n_1-d} \alpha_1' L_1' S_1' T_1', \ell_1^d \alpha_1'' L_1'' S_1'' T_1'' \right\} \rangle$$

illetve

$$\langle \ell_1^{n_1} \alpha_1 L_1 S_1 T_1, \ell_2^{n_2} \alpha_2 L_2 S_2 T_2 : LST \left\{ \ell_1^{n_1} \alpha_1 L_1 S_1 T_1, \ell_2^{n_2-d} \alpha_2' L_2' S_2' T_2' : L'S'T'; \ell_2^d \alpha_2'' L_2'' S_2'' T_2'' \right\} \rangle =$$

$$= \sqrt{\frac{\binom{n_2}{d}}{\binom{n_1+n_2}{d}}} U(L_1 L_2' L L_0 : L' L_2) U(S_1 S_2' S S_0 : S' S_2) U(T_1 T_2' T T_0 : T' T_2) \quad /20/$$

$$\cdot \langle \ell_2^{n_2} \alpha_2 L_2 S_2 T_2 \left\{ \ell_2^{n_2-d} \alpha_2' L_2' S_2' T_2', \ell_2^d \alpha_2'' L_2'' S_2'' T_2'' \right\} \rangle$$

A /17/ képletben szereplő  $\begin{pmatrix} a & b & c \\ d & e & f \\ g & h & i \end{pmatrix}$  kifejezés az általánosított Racah-együttható.

Mint látható, a /18/-/20/ kifejezésben lévő SzE-k nem mutatják meg az elkülönített nukleon-cluster és végmag teljes Young-ábráját.

Vegyük például a legegyszerűbb esetet. Nézzük a következő függvényt:

$$|s^2[2]_{L=0} S_T, \rho^2[2]_{LST} : L00 \rangle$$

Láthatjuk, hogy a teljes Young-ábra lehet [4] és [22] is. Mindkét ábránál van állapot  $S=0$   $T=0$  értékekkel, ilyen ábrák viszont kaphatók a  $[2] \times [2]$  műveletnél. Az általuk levezetett képletben viszont a teljes Young-ábra van megadva. Az [1] munkában rámutattak a

$$\psi_l = |(n_1 l_1)^{k_1} [f_1]_{L_1} \alpha_1, (n_2 l_2)^{k_2} [f_2]_{L_2} \alpha_2 : [\lambda]_{LST} \rangle \quad /21/$$

bázisfüggvényektől a

$$\psi = |(n_1 l_1)^{k_1} [f_1]_{L_1} S_1 T_1 \alpha_1, (n_2 l_2)^{k_2} [f_2]_{L_2} S_2 T_2 \alpha_2 : LST \rangle \quad /22/$$

bázisfüggvényekhez való átmenet lehetőségére. /  $\alpha_1$  és  $\alpha_2$  -ben nem foglaltatik bent  $S_1 T_1$  és  $S_2 T_2$  ./ Ezen átmenet együtthatói az  $(\tilde{S}t)^{k_1+k_2}$  állapotot  $(\tilde{S}t)^{k_1}$  és  $(\tilde{S}t)^{k_2}$  szorzatokra való felbontást biztosító töltés-spin függvények származási együtthatóival határozhatók meg. Ennek segítségével a /17/-ben szereplő SzE-kat kifejezhetjük egy vagy több olyan SzE lineáris kombinációjaként, amilyenekre érvényesek a /18/-/20/ képletek.

A /21/ és /22/ függvények közötti transzformációs együtthatók kiszámítására kiindulunk a

$$\begin{aligned} & |s^2[2]_0, \rho^{10}[442]_L : [4422]_{LS=0} T=0 \rangle = \\ & = A |s^2[2]_{L=0} S=1 T=0, \rho^{10}[442]_{LS=1} T=0 : L00 \rangle + \\ & + B |s^2[2]_{L=0} S=0 T=1, \rho^{10}[442]_{LS=0} T=0 : L00 \rangle \end{aligned} \quad /23/$$

kifejezésből.

Vizsgáljuk meg az

$$J = \langle s^2[2]_0, \rho^{10}[442]_L : [4422]_{L00} \left\{ \rho^8[44]_{L100} ; \psi_{2L_2}(R_\alpha) \psi_\alpha^{bel} \right\} \rangle \quad /24/$$

integrált. Ha  $J$  -t egyrészt /23/ segítségével, másrészt a /16/-ban meghatározott  $K_\alpha(n, L_2)$  együtthatók segítségével kifejezzük, úgy az  $A-B=0$  feltételhez jutunk. Továbbá /23/ normáltsága miatt  $A^2+B^2=1$  vagyis

$$A=B = \frac{1}{\sqrt{2}} \quad /25/$$



Ha ezeketán vizsgáljuk az

$$\begin{aligned} & |s^2[2]0, \rho^{10}[442]L: [444]L00 \rangle = \\ & = C |s^2[2]L10, \rho^{10}[442]L10: L00 \rangle + \quad /26/ \\ & + D |s^2[2]L0, \rho^{10}[442]L01: L00 \rangle \end{aligned}$$

kifejezést, ugy /23/ és /26/ ortogonális mivoltából és /25/-ből következik, hogy  $C = -D = \frac{1}{\sqrt{2}}$

4/ A  $K_\alpha(n, L_0)$  együtthatók kiszámítása.

Szmirnov és Chlebowska [12] meghatározták a  $K_\alpha(n, L_0)$  együtthatókat azon esetekre, amikor 3, illetve 4 nukleon ugyanazon héjból válik ki:

$$\begin{aligned} K_\alpha(N, L_0) &= 2\delta_{N, 3n+n'} \langle 3n, L'', n'l': L_0 | 3, 1 | 3n+n', L_0, 00: L_0 \rangle \cdot \quad /27/ \\ &\cdot \sum_{L'} \langle l^3[3]L'' | l^2L' \rangle \langle n'l, n'l: L' | 1, 1 | 2n, L', 00: L' \rangle \langle 2n, L', n'l: L'' | 2, 1 | 3n, L'', 00: L'' \rangle \end{aligned}$$

illetve

$$\begin{aligned} K_\alpha(4n, L_0) &= \sum_{L''} \langle l^4[4]L_0 | l^2[2]L', l^2[2]L'' \rangle \langle n'l, n'l: L' | 1, 1 | 2n, L', 00: L' \rangle \cdot \quad /28/ \\ &\cdot \langle n'l, n'l: L'' | 1, 1 | 2n, L'', 00: L'' \rangle \langle 2n, L', 2n, L'': L | 2, 2 | 4n, L, 00: L \rangle \end{aligned}$$

Vizsgáljuk meg azt az esetet, amikor 2-2 nukleon más-más héjból válik ki. Fejezzük ki az

$$|(n_1 l_1)^2 [2] L_1 ST, (n_2 l_2)^2 [2] L_2 ST : L00 \rangle$$

mind a négy részecskére antiszimmetrikus függvényt, mint a  $\psi_i = |(n_i l_i) [2] L_i ST \rangle$

függvények szorzatát /i=1,2/. Ezután a  $\psi_i$  függvényt írjuk fel a pálya- és a spin-izospin rész szorzataként. Ha ezután a pálya-részeket Talmi-átalakítás segítségével a tömegközéppont rendszerben kifejezzük és figyelembe vesszük, hogy a  $\psi_\alpha^{bel}$  függvény is felírható,

mint a pályamomentumtól függő és a spin-izospintól függő függvények szorzata, a következő kifejezést nyerjük a  $K_\alpha^{(ST)}(n, L)$  együtthatóra:

$$\begin{aligned}
 K_{\alpha}^{(ST)}(n, L) &= \langle (n_1, l_1)^2 [2] L_1 ST, (n_2, l_2)^2 L_2 ST : L 0 0 | \psi_{nLM}(\mathbf{R}_{\alpha}) \psi_{\alpha}^{bel} \rangle = \\
 &= \sqrt{6} \delta_{n, 2n_1+2n_2} \langle n_1, l_1, n_1, l_1 : 1, 1 | 2n_1, L_1, 0 0 : L_1 \rangle \langle n_2, l_2, n_2, l_2 : L_2 | 1, 1 | 2n_2, L_2, 0 0 : L_2 \rangle \\
 &\cdot \langle 2n_1, L_1, 2n_2, L_2 : L | 2, 2 | 2n_1+2n_2, L, 0 0 : L \rangle \langle [\tilde{4}] 0 0 [\tilde{2}] ST, [\tilde{2}] ST \rangle \quad /29/
 \end{aligned}$$

Az adott Young-sémához tartozó  $K_{\alpha}(2, L_2)$  együtthatókat nem nehéz kifejezni a  $K_{\alpha}^{(ST)}(2, L_2)$  együtthatók segítségével:

$$K_{\alpha}(2, L_2) = \frac{1}{\sqrt{2}} [K_{\alpha}^{(1,0)}(2, L_2) - K_{\alpha}^{(0,1)}(2, L_2)] \quad /30/$$

Megjegyezzük, hogy a jelen dolgozatban szereplő általános Talmi-együtthatók a

$$\begin{aligned}
 &\langle n_1, l_1, n_2, l_2 : L | \mu_1, \mu_2 | n_1+n_2, L, 0 0 : L \rangle = \\
 &= (-1)^{\frac{L+l_1+l_2}{2} - n_1 - n_2} \cdot 2^{\frac{l_1+l_2-L}{4}} (l_1, 0, l_2, 0 | L 0) \sqrt{\frac{(2l_1+1)(2l_2+1)}{2L+1}}.
 \end{aligned}$$

$$\sqrt{\frac{\left(\frac{n_1+n_2-L}{2}\right)! (L+n_1+n_2+1)!!}{\left(\frac{n_1-l_1}{2}\right)! \left(\frac{n_2-l_2}{2}\right)! (n_1+l_1+1)!! (n_2+l_2+1)!!}} \cdot \frac{\mu_1^{\frac{n_1}{2}} \mu_2^{\frac{n_2}{2}}}{(\mu_1+\mu_2)^{\frac{n_1+n_2}{2}}} \quad /31/$$

alakban írhatók fel,<sup>\*</sup> ahol az  $n = n_1 + n_2$  főkvantumszám úgy van meghatározva, hogy az energia sajátértéke  $E_n = \left(n + \frac{3}{2}\right) \hbar \omega$ .

5/ Az  $\alpha_{k, l, l'}^{n, L_1, \beta}$  együtthatók kiszámítása.

Az egyszerűség kedvéért tételezzük fel, hogy a kezdőmag  $O^{16}$  és ennek alapállapotáról a  $C^{12}$  végmag lehetséges lyuk-gerjesztett állapotaira történő átmeneteket vizsgáljuk. A következő esetek lehetségesek:

a/  $n=4$  esetében a végmag  $\psi_1^{héj}$  hullámfüggvényében a Skyrme -

Elliott tétel alapján egyetlen  $\alpha_{k=0, l=0, l'=1}^{4, L}$  együttható van és így írhatjuk:

<sup>\*</sup> A [14] dolgozat /14/ képletében sajtóhiba van.

$$\psi_1^{h\acute{e}j} \equiv |S^4 p^8 : [444] LM00 \rangle = \psi_{000}(\mathbf{R}_{12}) |12,8[444] LM00 \rangle \quad /32/$$

b/  $n=3$  esetén a végmag hullámfüggvényét modellünkben

$$\begin{aligned} \psi_1^{h\acute{e}j} &\equiv |S^3 p^9 : [444] LMS=0 T=0 \rangle = \\ &= \alpha_{0,0,L}^{3,L} \psi_{000}(\mathbf{R}_{12}) |12,9[444] LM00 \rangle + \\ &+ \alpha_{1,1,L-1}^{3,L} \sum_{mM'} (1mL-1M'|LM) \psi_{11m}(\mathbf{R}_{12}) |12,8[444] L-1, M'00 \rangle + \\ &+ \alpha_{1,1,L+1}^{3,L} \sum_{mM'} (1mL+1M'|LM) \psi_{11m}(\mathbf{R}_{12}) |12,8[444] L+1, M'00 \rangle \end{aligned} \quad /33/$$

alakban írhatjuk fel. Azonban az  $\alpha_{0,0,L}^{3,L}$  együtthatót közvetlenül nem tudjuk kiszámítani. Határozzuk meg ezért az  $\alpha_{1,1,L}^{3,L}$  együtthatókat. Mint a /33/ kifejezésből látható:

$$\alpha_{1,1,L}^{3,L} = \langle S^3 p^9 : [444] LM00 | \sum_{mM'} (1mL'M'|LM) \psi_{11m}(\mathbf{R}_{12}) |12,8[444] L'M'00 \rangle \quad /34/$$

Vezessük be a tömegközéppont mozgásához tartozó oszcillációs kvantum-keltő operátort [15], amelyet a következő egyenlet definiál:

$$A_K^{+(1)} = \frac{1}{\sqrt{A}} \sum_{i=1}^A a_K^{+(1)}(i) \quad \text{ahol} \quad a_K^{+(1)}(i) = \frac{1}{(2m\hbar\omega)^{1/2}} (\rho_{i,k}^{(1)} + im\omega r_{i,k}^{(1)}) \quad /35/$$

A keltő-operátor a következőképp hat a tömegközéppont hullámfüggvényére:

$$A_K^{+(1)} \psi_{000}(\mathbf{R}) = \psi_{1,1,m=k}(\mathbf{R}) \quad /36/$$

Fejezzük ki a  $\psi_{11m}(\mathbf{R}_{12})$  függvényt /36/ segítségével, majd használjuk fel a /32/ egyenlőséget, figyelembe véve, hogy az

$A_m^{+(1)}$  operátor szimmetrikus az összes részecskékre nézve. Megmutatható, hogy /3.3/ kifejezhető, mint bizonyos SzE-k és az

$$\langle p:l=1, m=0, S^1 \tau^1 | a_0^{+(1)} | S:0, S^1 \tau^1 \rangle \quad /37/$$

egyrészecske-matrixelem szorzata. Mivel a /37/-ben szereplő mennyiség egyfel egyenlő, a /34/ együttható csak a kevert konfiguráció SzE-i

segítségével fejeződik ki, melyeket előállíthatunk a /19/ - /20/ kifejezések alapján.

Konkréten meghatározva  $\alpha_{1,1,L-1}^{3,L}$  és  $\alpha_{1,1,L+1}^{3,L}$  együtthatókat,

$\alpha_{0,0,L}^{3,L}$  -t a  $\psi_1^{héj}$  normált mivoltából határozhatjuk meg a

$$\sum_{k\ell L'\beta} (\alpha_{k,\ell,L'}^{n,L,\beta})^2 = 1$$

feltételből.

c/  $n=2$  esetében az  $\alpha_{2,\ell,L}^{2,L}$  együtthatókat a tömegközéppont mozgása szerinti két-kvantum-keltő operátor [15]

$$B_k^{+j} = \frac{1}{\sqrt{2}} \sum_{m,n} (1m\ 1n | jk) A_m^{+(1)} A_n^{+(1)} \quad /39/$$

segítségével számítjuk ki. Ezen operátor a következőképpen hat a

$\psi_{000}(\mathbf{R})$  függvényre:

$$B_k^{+j} \psi_{000}(\mathbf{R}) = \psi_{2,\ell=j, m=k}(\mathbf{R}) \quad /40/$$

/40/ és /32/ segítségével fejezzük ki az  $\alpha_{2,\ell,L}^{2,L}$  együtthatókat:

$$\alpha_{2,\ell,L}^{2,L} = \langle S^2 p^{10} : LM\alpha | \sum_{mM'} (L^m m L^M M' | LM) B_m^{+L} | S^4 p^8 L^M M' \alpha' \rangle \quad /41/$$

Felhasználva /40/-et, /35/-öt és azt, hogy

$$\langle p^2 [2] L^m m = 0 S^1 \tau | \sum_q (1q\ 1-q | L^m 0) a_q^+ a_{-q}^+ | S^2 [2] 00 S^1 \tau' \rangle = 1 \quad /42/$$

/41/-et a következő alakra hozhatjuk a héjmodell matrixelemei kiszámításának általános módszerével:

$$\alpha_{2,\ell,L}^{2,L} = \frac{11}{\sqrt{2}} \sum_{S,T} \langle S^2 p^{10} : [444] L00 \{ S^2 p^8 : [442] L^1 ST ; p^2 [2] L^1 ST \} \cdot$$

$$\cdot \langle S^4 p^8 : [444] L^1 00 | S^2 p^8 : [442] L^1 ST ; S^2 [2] 0ST \rangle \quad /43/$$

Ilyen SzE-kat már ki tudunk számolni a korábban ismertettek alapján.

Az  $\alpha_{1,1,L}^{2,L}$  együtthatókat /36/ és /12/ sorfejtés segítségével

számíthatjuk ki. Mivel a jobboldalra csak kvantumkeltő operátorok hatnak, csak egy zérustól különböző tag marad a héj-matrixelemekben.

d/ Az  $n=1$  esetben szükségünk lesz a tömegközéppont mozgásához tartozó három-kvantum-keltő operátorra. Ezt a következőképpen határozhatjuk meg:

$$C_M^{+L} = \frac{1}{\sqrt{3}} \sum_{L'M'm} (L'M'm|LM) \langle p^3[3]L \left\{ p^2[2]L' \right\} B_{M'}^{+L'} A_m^{+(1)} \quad /44/$$

vagy más formában

$$C_M^{+L} = \frac{1}{\sqrt{6}} \sum_{\substack{L'M' \\ mm'm'}} (1m'1m''|L'M') (L'M'1m|LM) \langle p^3[3]L \left\{ p^2[2]L' \right\} A_{m'}^{+(1)} A_{m''}^{+(1)} A_m^{+(1)} \quad /44/a/$$

A származási együtthatók azért jelentek meg, mert az  $A^+$  vektoroperátorok kommutálnak egymással és a  $C^+$  operátorok szimmetrikusak ezen operátorok felcserélésére nézve.

A  $C_M^{+L}$  operátor ilyen megválasztása biztosítja a /36/és/40/-hez hasonló feltétel teljesülését:

$$C_M^{+L} \psi_{000}(\mathbf{R}) = \psi_{3,l=L,m=M}(\mathbf{R}) \quad /45/$$

Megmutatható, hogy az így bevezetett  $C_M^{+L}$  operátor megegyezik a [16] dolgozat más úton levezetett operátoraival.

e/ Az  $n=0$  esetben szükségünk van az  $D_M^{+L}$  operátorokra, amelyeket a következőképpen írhatunk fel:

$$\begin{aligned} D_M^{+L} &= \frac{1}{\sqrt{6}} \sum_{\lambda_1 \lambda_2 \mu_1 \mu_2} \langle p^4[4]L \left\{ p^2[2]\lambda_1 p^2[2]\lambda_2 \right\} (\lambda_1 \mu_1 \lambda_2 \mu_2 | LM) B_{\mu_1}^{+\lambda_1} B_{\mu_2}^{+\lambda_2} = \\ &= \frac{1}{2} \sum_{\lambda_1 \mu_1 \mu_2} \langle p^4[4]L \left\{ p^3[3]\lambda_1, \rho \right\} (\lambda_1 \mu_1 1 \mu_2 | LM) C_{\mu_1}^{+\lambda_1} A_{\mu_2}^{+(1)} \quad /46/ \end{aligned}$$

Érvényes, hogy

$$D_M^{+L} \psi_{000}(\mathbf{R}) = \psi_{4,L,M}(\mathbf{R}) \quad /47/$$

Az  $n=1$  és  $n=0$  esetekben az  $\alpha_{k,\ell,L}^{n,L,\beta}$  együtthatókat a korábban tárgyaltakhoz hasonló módon számíthatjuk ki.

6/ A  $\Theta_{A=12,n=2,L=2}$  redukált szélesség kiszámítása.

Mint ismeretes, a  $\rho^6[42]$  nukleonkonfigurációnál két D-állapot van. Mindkét állapot  $|S^2\rho^6:[44]2_\beta MS=0 T=0\rangle$  héj-hullámfüggvénye  $\alpha_{k,\ell,L}^{2,2\beta} / \beta = I, II$  együtthatóit ki tudjuk számítani a fentiek alapján. Felírhatjuk, hogy

$$|S^2\rho^6:[44]2_\beta MS=0 T=0\rangle = \sum_{k\ell L' m M'} \alpha_{k,\ell,L'}^{2,2\beta} (\ell m L' M' | 2M) \psi_{k\ell m}(\mathbf{R}_A) |8,6-k[44]L'M'S=0 T=0\rangle \quad /48/\beta/$$

Szorozzuk meg /48/I/bal-, ill. jobboldalát /48/II/bal-, illetve jobboldalával és integráljunk a megfelelő változók szerint. Minthogy mind az oszcillátor függvények, mind a belső függvények ortonormáltak, a

$$\psi_I^{\text{héj}} = |S^2\rho^6:[44]2_I M00\rangle \quad \psi_{II}^{\text{héj}} = |S^2\rho^6:[44]2_{II} M00\rangle$$

héj-hullámfüggvények ortonormált mivoltának megkövetelése a

$$\sum_{k\ell L'} \alpha_{k,\ell,L'}^{2,2I} \alpha_{k,\ell,L'}^{2,2II} = 0 \quad /49/$$

feltétel megkövetelésével egyenértékű. Ha /49/-be behelyettesítjük a

$\alpha_{k \neq 0, \ell, L'}^{2,2\beta}$  együtthatók kiszámított értékét, úgy fent kellene állnia az

$$\alpha_{0,0,2}^{2,2I} \alpha_{0,0,2}^{2,2II} = 0 \quad /50/$$

feltételnek is, amelyik azonban nem teljesül, mivel az

$$\left(\alpha_{0,0,2}^{2,2\beta}\right)^2 = 1 - \sum_{k \neq 0, \ell, L'} \left(\alpha_{k\ell L'}^{2,2\beta}\right)^2 \quad /51/$$

képlet alapján kiszámított  $\alpha_{0,0,2}^{2,2\beta}$  együtthatók zérustól különbözőek

és  $\alpha_{0,0,2}^{2,2I} = \alpha_{0,0,2}^{2,2II}$

Számításainkban mindeddig feltételeztük egyetlen

$|A=8 N=6 [44]L=2M S=0 T=0\rangle$  belső függvény létezését, ez, mint láttuk, ellentmondásra vezet. Tegyük fel, hogy két ortonormált belső függvény létezik:

$$|8,6,2\rangle_{(1)} \quad \text{és} \quad |8,6,2\rangle_{(2)}$$

Ha a /48/I/ felbontásban csak az egyik, a /48/II/ felbontásban csak a másik van jelen, úgy  $\psi_I^{\text{héj}}$  és  $\psi_{II}^{\text{héj}}$  valóban ortogonális. A redukált  $\alpha$  szélességre ebben az esetben a

$$\Theta_{12, n=2, L=2}^2 = \left( \alpha_{0,0,2}^{2,2} \right)^2 \left[ \langle I \rangle^2 + \langle II \rangle^2 \right] \quad /52/$$

kifejezést kapjuk, ahol

$$\langle \beta \rangle = \binom{12}{4}^{1/2} \cdot \frac{12}{8} \langle S^4 \rho^8 : [444] 000 \{ S^2 \rho^6 2_\beta : [44] 200 ; S^2 \rho^2 : [4] 200 \rangle K_\alpha(2,2) \quad /53/$$

$$|\beta = I, II|$$

$$7/ \underline{A} \quad \alpha_{K=0, \ell=0, L=L_1}^{n, L_1, \beta} \quad \underline{\text{együtthatók kiszámítása.}}$$

A redukált  $\alpha$  -szélességek kiszámítására elegendő az

$$\alpha_{K=0, \ell=0, L=L_1}^{n, L_1, \beta} \quad \text{együtthatók ismerete. Megmutatjuk, hogy a } \rho\text{-héj-}$$

ban ezek kiszámítását tovább lehet egyszerűsíteni.

Bevezetve  $A' = A - 4$  jelölést, a /10/ formulát /15/ felhasználásával a

$$\begin{aligned} & |S^n \alpha_1', \rho^{A'-n} \alpha_1' L_1 : [f_1] L_1 M_1 S_0 T_0 \alpha_1 \rangle = \\ & = \alpha_{0,0, L_1}^{n, L_1, \beta} \psi_{000}(\mathbf{R}_A) |A', A'-n [f_1] \beta_1 L_1 M_1 S_0 T_0 \rangle + \quad /54/ \\ & + \sum_{K \neq 0, \ell, L', M'} (\langle m L' M' | L_1 M_1 \rangle \alpha_{0,0, L'}^{n+K, L', \beta} \alpha_{K, \ell, L'}^{n, L_1, \beta} F_{\ell m}^{+(K)}) |S^{n+K} \rho^{A'-n-K} : [f_1] \beta' L' M' S_0 T_0 \rangle + \end{aligned}$$

+ ... /azon tagok, melyekben nemcsak 0S és 1p nukleonok vannak/ alakba írhatjuk, ahol

$$F_{lm}^{+(k)} \psi_{000}(\mathbf{R}) = \psi_{klm}(\mathbf{R}) \quad /55/$$

Igy az  $\alpha_{k,\ell,L'}^{n,L_1,\beta}$  együtthatók általánosan a következőképp fejezhetők ki:

$$\alpha_{k,\ell,L'}^{n,L_1,\beta} = \sum_{mM'} (\ell m L' M' | L_1 M_1) \alpha_{0,0,L'}^{n+k,L',\beta'}. \quad /56/$$

$$\langle s^n \rho^{A-n} : [f_1]_{L_1 M_1 S_0 T_0} \alpha_1 | F_{lm}^{+(k)} | s^{n+k} \rho^{A-n-k} : [f_1]_{L' M' S_0 T_0} \beta' \rangle$$

Mint láttuk, a jobboldalon álló kifejezés átirható a

$$\alpha_{k,\ell,L'}^{n,L_1,\beta} = (-1)^{k(A'-n-k)+S_1+S'_1+S+S'+T_1+T'_1+T+T'} \cdot \frac{\alpha_{0,0,L'}^{L',n+k}}{(\sqrt{A'})^k k!} \binom{A'}{k} k! \sqrt{\frac{\binom{A'-n}{k}}{\binom{A'}{k}}} \sqrt{\frac{\binom{n+k}{k}}{\binom{A'}{k}}}.$$

$$\cdot \sum_{S,T} \langle \rho^{A-n} : \alpha_2 L_1 S_2 T_2 | \rho^{A-n-k} : \alpha_2' L' S_2' T_2' ; \rho^k : \alpha_2'' L'' S T \rangle \cdot$$

$$\cdot \langle s^{n+k} : \alpha_1 O S_1 T_1 | s^n : \alpha_1' O S_1' T_1' ; s^k : \alpha_1'' O S T \rangle \cdot$$

$$\cdot u(S_1' S_2' S_0 S : S' S_2) u(T_1' T_2' T_0 T : T' T_2) u(S_2' S_1' S_0 S : S' S_1) \cdot$$

$$\cdot u(T_2' T_1' T_0 T : T' T_1) u(O L' L_1 L'' : L' L'') u(L' O L' O : L' O)$$

alakban. Itt  $\frac{1}{\sqrt{k!}}$  az  $F_{lm}^{+k} \rightarrow (A^+)^k \frac{1}{\sqrt{k!}}$  műveletnél,  $\frac{1}{(\sqrt{A'})^k}$  az

$(A^+)^k \rightarrow \left[ \frac{1}{\sqrt{A'}} \sum \alpha^+(i) \right]^k$  műveletnél,  $\binom{A}{k} k!$  az összes index szerinti összegzésnél, a többi együttható a kevert konfiguráció SzE-inak egyszerű SzE-khoz való leszámaztatásánál jelenik meg.

Az  $\alpha_{0,0,L'}^{n,L_1,\beta}$  együtthatókat a /38/ feltételből kapjuk meg.

Vizsgáljuk meg a rögzített  $k$ -hoz tartozó  $\alpha_{k,\ell,L'}^{n,L_1,\beta'}$  együtthatók négyzetének összegéből kapott csoportokat. Miután az /57/-ben



szereplő két utolsó Racah-együttható egyel egyenlő, ezért minden ilyen csoportról elmondhatjuk, hogy  $L_1$  -től függetlenek, ha az  $\alpha_{0,0,L_1=L_1}^{n,L_1,\beta'}$  együtthatók nem függenek  $L_1$  -től. Ezt könnyen bebizonyíthatjuk a teljes indukció módszerével.

Ugyanis  $|S^4 \rho^{A'-4} L_1\rangle$  esetre érvényes a Skyrme-Elliott tétel, azaz  $\alpha_{0,0,L_1=L_1}^{n=4,L_1,\beta'} = 1$ . Az  $|S^3 \rho^{A'-3} L_1\rangle$  függvény felbontásánál megjelenik a  $\sum_{L'} (\alpha_{1,1,L_1=L_1}^{n=3,L_1,\beta'})^2$  csoport. Mindegyik tag kifejezhető /57/ segítségével. Miután az  $L_1$  -től nem függő  $\alpha_{0,0,L_1}^{4,L_1,\beta'}$  együtthatókkal fejezhetők ki, ezért az /58/ csoport nem függ  $L_1$  -től. Ezért  $\alpha_{0,0,L_1}^{3,L_1,\beta'}$  sem függ  $L_1$  -től, stb.

Mindez lényegesen lerövidíti az  $\alpha_{0,0,L_1}^{n,L_1,\beta'}$  együtthatók számítását a  $\rho$ -héjban, ugyanis így egyszerre kiszámítható néhány  $\alpha_{k,\ell,L_1}^{n,L_1,\beta'}$  együttható négyzetének összege és rögzített  $n$  esetében elegendő egy  $\alpha_{0,0,L_1}^{n,L_1,\beta'}$  együtthatót kiszámítani.

A jelen munkában tárgyalt módszer segítségével konkrét számításokat is végeztünk. A számítási eredményeket a [17] és [18] dolgozatok tartalmazzák.

Befejezésül köszönetet szeretnék mondani J.F.Szmirnovnak a módszer kidolgozásában, Siklós Tivadarnak jelen dolgozat végleges megfogalmazásában nyújtott segítségéért.

I r o d a l o m

- [1] Elliott, J.P., Lane, A.M.: Handbuch der Physik, Band XXXIX
- [2] Elliott, J.P., Skyrme, T.H.R.: Proc. Roy. Soc., A 232, 561 /1955/
- [3] Смирнов, Ю.Ф., Шитикова, К.В.: "Изв. АН СССР Сер. Физ." 1963, 27, № II
- [4] Jahn, H.A., Wieringer, H.: Proc. Roy. Soc., A 209, 502 /1951/
- [5] Elliott, J.P., Hope, J.: H. a. Jahn, Philos. Trans. Soc., A 246, 241 /1953/
- [6] Chlebowska, D.: Acta Phys. Pol. XXV, 4 /1964/
- [7] Lane, A.M.: Proc. Roy. Soc., A 66, 177 /1953/
- [8] Thomas, R.G.: Phys. Rev. 88, 1109 /1952/
- [9] Балашов, В.В., Неудачин, В.Г., Смирнов, Ю.Ф., Юдин, Н.П.: ЖЭТФ, 37, 1385 /1959/
- [10] Смирнов, Ю., Ф.: Ядерные реакции при малых и средних энергиях II. Изв. АН /1962/
- [11] Smirnov, Yu. F.: Nucl. Phys. 29, 246 /1962/
- [12] Elliott, J.P., Flowers, B.H.: Proc. Roy. Soc. A 229, 536 /1955/
- [13] Смирнов, Ю.Ф.: Дипломная работа МГУ /1957/
- [14] Смирнов, Ю., Ф., Хлебовска, Д.: Ядерные реакции при малых и средних энергиях II, Изв. АН СССР /1962/,
- [15] Baranger, E., Lee: Nucl. Phys. 22, 157 /1961/
- [16] Неудачин, В.Г., Смирнов, Ю., Ф.: "Нуклонные ассоциации в легких ядрах"
- [17] Beregi P.. Дипломная работа МГУ /1963/
- [18] Beregi, P.: Neudachin, V.G., Smirnov, Yu. F., Zelenskaia, N.: Nucl. Phys. /megjelenés alatt/

## A GERJESZTETT ATOMI NIVÓK BOMLÁSI GÖRBÉJE ÉS A FÉNY LEBEGÉS

Irta: Bakos József

### Összefoglalás

Két gerjesztett nivó esetén, mely nivók egymástól való távolsága nagyobb, mint a vonalszélesség, tárgyaljuk a gerjesztett állapotok szuperpozíciójában lévő atom mozgását és bebizonyítjuk, hogy az atom a két gerjesztett állapot mindegyikéből külön-külön időben exponenciális függvény szerint bomlik alacsonyabb energiájú állapotba. Az ideális detektorral mért intenzitás azonban tartalmazza az ún. fénylebegést is. Megadjuk a lebegés megfigyelhetőségének tér és idő függését.

### Bevezetés

A gerjesztett állapotban lévő atom időben exponenciális törvény szerint alacsonyabb gerjesztési állapotba, ill. alapállapotba jut. Ezen időbeli folyamat fontosságára való tekintettel számos elméleti és kísérleti mű foglalkozott már vele. Az elméleti munkák közül Wigner és Weisskopf [1] munkája alapvető jelentőségű. Számításaikból - melyeket a kvantummechanika és kvantált elektromágneses tér alapulvételével végeztek -, kiderült, hogy legtöbb gyakorlati esetben az exponenciális bomlási törvény egy fotonos közelítésben exakt törvénynek tekinthető. Kizárták azonban azt az esetet, amikor kaskád folyamatban két, vagy tött egymás után következő lépcsőben a vonalszélességeken belül megegyező frekvenciájú kvantum keletkezik. Nem tárgyalták azt a sokszor előforduló esetet sem, amikor az atom két egymáshoz közelfekvő de egyébként éles stacionárius állapotok szuperpozíciójával jellemzett állapotból bomlik alacsonyabb energiájú állapotba.

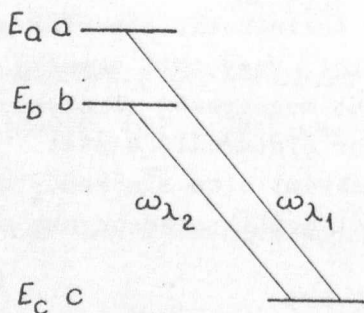
Az exponenciális bomlási törvény igazolására méréseket is végeztek. Ezek közül Wiener [2] klasszikus kísérletét Heron, McWhirter és Roderick [3, 4] modern magfizikai technikával végzett mérését kell megemlíteni. Mindketten igazolták, hogy a gerjesztett atomok exponenciális törvény szerint bomlanak. Nem közlik azonban méréseik pontosságát. A mérések legtöbbszörében a gerjesztett nivó többé vagy kevésbé degenerált nivó. Lehetőség van tehát arra, hogy a kísérlet folyamán óhatatlanul fellépő zavaró

elektromos és mágneses terek /földmágnesesség/ a gerjesztett nivók degenerációját feloldják. Ekkor a már említett esettel állunk szemben, amikor a gerjesztett nivó nem egy, hanem több egymáshoz közelfekvő szeparált, ill. egymásba nyuló nivóból áll. Koherens gerjesztés esetén azonban ezen állapotok között interferencia lép fel [5, 6, 7]. Az eredmény az, hogy még az egyes gerjesztett nivó bomlási törvénye egy meghatározott, gyakorlatilag igen fontos esetben exaktul exponenciális, addig az együttesen mért bomlási görbében periódikus változásokat találunk.

Ezt az un. fény-lebegést szemiklasszikus alapon, ill. periódikus gerjesztés esetén tárgyalták [8, 9, 10, 11] és kísérletileg meg is mérték [12, 13, 14, 15]. Számításaikban felhasználták azt az addig még nem bizonyított feltevést, hogy a nivók ebben az esetben is exponenciálisan bomlanak.

Jelen munkában a kvantummechanika és a kvantált elektromágneses tér alapján tárgyaljuk a bomlási folyamatot abban az esetben, ha a két koherensen gerjesztett állapot szuperpozíciójából bomlik az atom alacsonyabb energiájú állapotba. Bebizonyítjuk, hogy ha a nivók szélessége kisebb, mint a nivók egymástól való távolsága, a gerjesztett nivók külön-külön, egyfotonos közelítésben exaktul, exponenciális törvény szerint bomlanak. Megadjuk az ideális detektorral mérhető bomlási görbe alakját, mely tartalmazza a fénylebegést és definiáljuk a lebegés kimutathatóságát. Kifejezést kapunk a jelenség térbeli megfigyelhetőségére.

I.



1. ábra

Az 1. ábra mutatja az atom három lehetséges energiaállapotát /a, b, c/. Az állapotokhoz tartozó energiák  $E_a > E_b > E_c$ . Legyen az atom a  $t=0$  időpillanatban a három állapot szuperpozíciójával jellemzett állapotban.

$$|\psi(0)\rangle = P_{a0\lambda}^0 |\psi_{a0\lambda}\rangle + P_{b0\lambda}^0 |\psi_{b0\lambda}\rangle + P_{c0\lambda}^0 |\psi_{c0\lambda}\rangle \quad /1/$$

Az atom időben az  $\alpha$  és  $b$  állapotokból a  $c$  állapotba kerül és egy fotont emittál. Tehát a rendszert

$$|\psi(t)\rangle = P_{\alpha 0\lambda}(t)|\psi_{\alpha 0\lambda}\rangle + P_{b 0\lambda}(t)|\psi_{b 0\lambda}\rangle + P_{c 0\lambda}(t)|\psi_{c 0\lambda}\rangle + \sum_{\lambda} P_{c 1\lambda}(t)|\psi_{c 1\lambda}\rangle \quad /2/$$

állapotfüggvény írja le. Annak valószínűsége, hogy  $\omega_{\lambda}$  frekvenciájú

foton jelenik meg  $|P_{c 1\lambda}|^2$ .  $P_{c 1\lambda}(t)$  faktorokat az időtől függő Schrödinger egyenletből határozhatjuk meg. Az időtől függő Schrödinger egyenlet kölcsönhatási reprezentációban a következő alakú

$$i\hbar \dot{P}_{\alpha 0\lambda} = \sum_{\lambda} H'_{\alpha 0\lambda, c 1\lambda} P_{c 1\lambda}$$

$$i\hbar \dot{P}_{b 0\lambda} = \sum_{\lambda} H'_{b 0\lambda, c 1\lambda} P_{c 1\lambda} \quad /3/$$

$$i\hbar \dot{P}_{c 0\lambda} = 0$$

$$i\hbar \dot{P}_{c 1\lambda} = H'_{c 0\lambda, \alpha 0\lambda} P_{\alpha 0\lambda} + H'_{c 1\lambda, b 0\lambda} P_{b 0\lambda}$$

A  $H'_{\alpha 0\lambda, c 1\lambda}$  a kölcsönhatási operátor mátrix eleme

$$H'_{\alpha 0\lambda, c 1\lambda} = H_{\alpha 0\lambda} \exp i(E_{\alpha 0\lambda} - E_{c 1\lambda}) \frac{t}{\hbar}$$

$$H_{c 1\lambda, \alpha 0\lambda} = -\frac{e}{\mu} \sqrt{\frac{4\pi c^2 \hbar}{2\omega_{\lambda}}} \langle \psi_c | (\mathbf{u} \cdot \mathbf{e}_{\lambda}) e^{-i\mathbf{x}_{\lambda} \cdot \mathbf{r}} | \psi_{\alpha} \rangle \quad /4/$$

Itt  $e$  az elektron töltése,  $c$  a fénysebesség,  $\mu = mc^2$ ,  $m$  az elektron tömege,  $\mathbf{u}$  az impulzus vektor operátora,  $\mathbf{e}_{\lambda}$  az elektromágneses vektorpotenciál irányába mutató egységvektor,  $\mathbf{x}_{\lambda}$  az elektromágneses tér terjedési vektora,  $\mathbf{r}$  a helyzet vektor,  $\langle \psi_c |$  ill.  $|\psi_{\alpha}\rangle$  a  $c$  ill.  $\alpha$  állapotban lévő atom stacionárius hullámfüggvénye.

Tegyük fel azt az esetet, hogy azonos  $\lambda$  állapotba az  $\alpha$ ,  $b$  nivóról való szimultán átmenet valószínűsége kicsi. Ekkor a tartományt két egymásba nem nyúló  $\lambda_1$  ill.  $\lambda_2$  tartományra bonthatjuk szét, azaz  $\lambda_2$ -ben  $\lambda_1 = 0$  és fordítva /2. ábra/. A mozgásegyenlet is két független egyenletrendszerre szeparálódik:

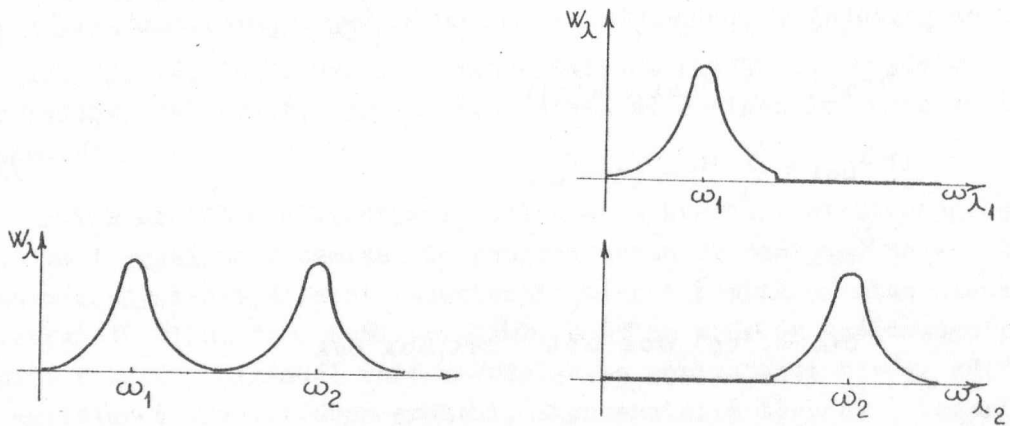
$$a/ \quad i\hbar \dot{P}_{\alpha 0\lambda} = \sum_{\lambda_1} H'_{\alpha 0\lambda, c 1\lambda_1} P_{c 1\lambda_1}$$

$$b/ \quad i\hbar \dot{P}_{b0\lambda} = \sum_{\lambda_2} H'_{b0\lambda, c1\lambda_2} P_{c1\lambda_2}$$

$$c/ \quad i\hbar \dot{P}_{c0\lambda} = 0 \quad /5/$$

$$d/ \quad i\hbar \dot{P}_{c1\lambda_1} = H'_{c1\lambda_1, a0\lambda} P_{a0\lambda}$$

$$e/ \quad i\hbar \dot{P}_{c1\lambda_2} = H'_{c1\lambda_2, b0\lambda} P_{b0\lambda}$$



2. ábra

Az összetartozó egyenletek az a/ és a d/, valamint a b/ és az e/. A c/ egyenletnek a megoldása rögtön felírható  $P_{c0\lambda} = P_{c0\lambda}^0 = \text{konstans}$ .

Az a/, d/ és a b/, e/ egyenletrendszer megoldása az irodalomból ismert [1, 16]

$$a/ \quad P_{a0\lambda} = P_{a0\lambda}^0 e^{-\frac{\delta_1 t}{2}}$$

$$b/ \quad P_{b0\lambda} = P_{b0\lambda}^0 e^{-\frac{\delta_2 t}{2}} \quad /6/$$

$$c/ \quad P_{c1\lambda_1} = H_{c1\lambda_1, a0\lambda} \frac{1 - e^{i(\omega_{\lambda_1} - \omega_1)t - \frac{\delta_1 t}{2}}}{\hbar(\omega_{\lambda_1} - \omega_1 + i\frac{\delta_1}{2})}; \quad \omega_1 = \frac{E_a - E_c}{\hbar}$$

$$d/ \quad P_{c1\lambda_2} = H_{c1\lambda_2, b0\lambda} \frac{1 - e^{i(\omega_{\lambda_2} - \omega_2)t - \frac{\delta_2 t}{2}}}{\hbar(\omega_{\lambda_2} - \omega_2 + i\frac{\delta_2}{2})}; \quad \omega_2 = \frac{E_b - E_c}{\hbar}$$

A  $\frac{\delta_1}{2}$  ill.  $\frac{\delta_2}{2}$  az a ill. b nivó csillapítási konstansai.

Feltételeztük, hogy a  $\gamma_1$  nem függ a nivók energiabizonytalanságain belül az energia exakt értékétől. A megoldásokat egy másik formába is felírhatjuk [16], amikor is

$$a/ \quad P_{a0\lambda} = -\frac{P_{a0\lambda}^0}{2\pi i} \int dE \frac{e^{i(E_a - E)\frac{t}{\hbar}}}{E - E_a - \sum_{\lambda_1} |H_{a0\lambda, c1\lambda_1}|^2 \psi(E - E_c - \hbar\omega_{\lambda_1})}$$

$$b/ \quad P_{b0\lambda} = -\frac{P_{b0\lambda}^0}{2\pi i} \int dE \frac{e^{i(E_b - E)\frac{t}{\hbar}}}{E - E_b - \sum_{\lambda_2} |H_{b0\lambda, c1\lambda_2}|^2 \psi(E - E_c - \hbar\omega_{\lambda_2})}$$

/7/

$$c/ \quad P_{c1\lambda_1} = -\frac{1}{2\pi i} \int dE \frac{H_{c1\lambda_1, a0\lambda} e^{i(E_c + \hbar\omega_{\lambda_1} - E)\frac{t}{\hbar}} \psi(E - E_c - \hbar\omega_{\lambda_2})}{E - E_a - \sum_{\lambda_1} |H_{a0\lambda, c1\lambda_1}|^2 \psi(E - E_c - \hbar\omega_{\lambda_2})}$$

$$d/ \quad P_{c1\lambda_2} = -\frac{1}{2\pi i} \int dE \frac{H_{c1\lambda_2, b0\lambda} e^{i(E_c + \hbar\omega_{\lambda_2} - E)\frac{t}{\hbar}} \psi(E - E_c - \hbar\omega_{\lambda_2})}{E - E_b - \sum_{\lambda_2} |H_{b0\lambda, c1\lambda_2}|^2 \psi(E - E_c - \hbar\omega_{\lambda_2})}$$

Figyelembe véve az /1/ kezdő feltételt

$$0 = P_{c1\lambda_1}(0) = -\frac{1}{2\pi i} \int dE \frac{H_{c1\lambda_1, a0\lambda} \psi(E - E_c - \hbar\omega_{\lambda_1})}{E - E_a - \sum_{\lambda_1} |H_{a0\lambda, c1\lambda_1}|^2 \psi(E - E_c - \hbar\omega_{\lambda_1})} \quad /8/$$

hasonló kifejezést kapunk a  $P_{c1\lambda_2}(0)$  -ra is a /7/ d/-ből. /8/-at visszahelyettesítjük /7/ c/-be és a következőt kapjuk:

$$P_{c1\lambda_1}(t) = \frac{1}{2\pi i} \int dE \frac{H_{c1\lambda_1, a0\lambda}}{E - E_a - \sum_{\lambda_1} |H_{a0\lambda, c1\lambda_1}|^2 \psi(E - E_c - \hbar\omega_{\lambda_1})} \cdot \frac{e^{i(\hbar\omega_{\lambda_1} + E_c - E)\frac{t}{\hbar}} - 1}{\hbar\omega_{\lambda_1} + E_c - E}$$

és hasonló kifejezést kapunk a  $P_{c1\lambda_2}(t)$  -re is.

Ha feltételezzük, hogy  $\gamma_1$ , ill.  $\gamma_2$  tart a 0-hoz és

ezután  $t \rightarrow \infty$  a /6/ c/ d/ kifejezésekből kapjuk:

$$P_{c1\lambda_1} = \frac{1}{\hbar} H_{c1\lambda_1, \alpha 0 \lambda} \zeta(\omega_{\lambda_1} - \omega_1) \quad /10/$$

$$P_{c1\lambda_2} = \frac{1}{\hbar} H_{c1\lambda_2, \beta 0 \lambda} \zeta(\omega_{\lambda_2} - \omega_2)$$

Ez annak az esetnek felel meg, amikor a gerjesztett állapotról az átmeneti valószínűség nagyon kicsi és az emissziót az emisszió kezdetétől számítva sok idő múlva /egység a fény periódusideje/ figyeljük meg.

Ha nem tesszük azt a kikötést, hogy az átmeneti valószínűség kicsi, csupán azt, hogy az emisszió kezdetétől számítva sok periódusnyi távolságban vagyunk kíváncsiak a  $P_{c1\lambda_1}$ ,  $P_{c1\lambda_2}$  koeficiensekre, ekkor a /9/-es kifejezésből kapjuk, hogy

$$P_{c1\lambda_1}(t) = -\frac{1}{2\pi i} \int dE \frac{H_{c1\lambda_1, \alpha 0 \lambda} \zeta(\hbar\omega_{\lambda_1} + E_c - E)}{E - E_a - \sum_{\lambda_1} |H_{c1\lambda_1, \alpha 0 \lambda}|^2 \zeta(E - E_c - \hbar\omega_{\lambda_1})} \quad /11/$$

és hasonló kifejezés  $P_{c1\lambda_2}$  -re.

A /7/ kifejezésekben az integrandus nevezőjében álló  $\sum$  a  $\zeta$  függvény tulajdonsága alapján egy reális és egy imaginárius részre bontható.

$$\sum_{\lambda_1} |H_{\alpha 0 \lambda, c1\lambda_1}|^2 \zeta(E - E_c - \hbar\omega_{\lambda_1}) = \frac{1}{2} i \hbar \text{Im} \Gamma_1 + \frac{1}{2} \hbar \text{Re} \Gamma_1 \quad /12/$$

Az  $\text{Re} \Gamma_1$  a nivó sugárzási korrekciója és a  $\text{Im} \Gamma_1 = \gamma_1$  a csillapítási konstans. Valóban a /7/a, /7/b kifejezések szolgáltatják a /6/c, /6/d kifejezéseket, ha feltételezzük, hogy a  $\Gamma_1$  az adott nivó energiabizonytalanságán belül nem függ az energia exakt értékétől. A nivók energia értékeibe a továbbiakban beleértjük a sugárzási korrekciókat is.

## II.

Az  $\omega_{\lambda_1}$  ill.  $\omega_{\lambda_2}$  frekvenciájú fotonok időbeli találati valószínűsége szokás szerint

$$|P_{c1\lambda_1}|^2 = |H_{c1\lambda_1, \alpha 0 \lambda}|^2 \frac{1 - \cos(E_{c1\lambda_1} E_a) \frac{t}{\hbar}}{|E_a - E_{c1\lambda_1}|^2} \quad /13/$$

és hasonló kifejezés  $|P_{c1\lambda_2}|^2$  -re. A detektorok /pl. elektronsokszorozó/ nem ezt a valószínűséget mérik. A fotókatódból kilépő elektronok száma az elektromos térerősség négyzetével arányos. Ennek meg-



felelően a detektor által mért intenzitás az elektromos térerősség vektoroperátor pozitív frekvenciákat tartalmazó részének mátrix elemével lesz arányos [17]

$$P_a = \sum_f \left| \langle f | \mathbf{E}^{(+)}(\mathbf{r}, t) | i \rangle \right|^2 = \langle i | \mathbf{E}^{(-)} \mathbf{E}^{(+)} | i \rangle \quad /14/$$

ahol

$$\mathbf{E}^{(-)} = -\frac{i}{c} \sum_{\lambda} q_{\lambda}^{+} \mathbf{A}_{\lambda}^{*} \omega_{\lambda}$$

$$\mathbf{E}^{(+)} = \frac{i}{c} \sum_{\lambda} q_{\lambda} \mathbf{A}_{\lambda} \omega_{\lambda} \quad \mathbf{A}_{\lambda} = \mathbf{e}_{\lambda} \sqrt{4\pi c^2} e^{i\mathbf{x}_{\lambda} \cdot \mathbf{r}} \quad /15/$$

és az  $|i\rangle$  és a  $|f\rangle$  a kezdő és a végállapot hullámfüggvényei,  $q_{\lambda}^{+}$  az emissziós,  $q_{\lambda}$  az abszorpciós operátor,  $\mathbf{e}_{\lambda}$  a polarizációs egységvektor és  $\mathbf{x}_{\lambda}$  a terjedési vektor. Feltettük, hogy  $L^3 = 1$  térfogásban végeztük a sorfejtést. A rendszer állapotát leíró hullámfüggvény, ami az  $|i\rangle$ -nek felel meg

$$|\psi\rangle = |P_{a0\lambda} \psi_{a0\lambda} + P_{b0\lambda} \psi_{b0\lambda} + P_{c0\lambda} \psi_{c0\lambda} +$$

$$+ \sum_{\lambda_1} P_{c1\lambda_1} \psi_{c1\lambda_1} + \sum_{\lambda_2} P_{c1\lambda_2} \psi_{c1\lambda_2} \rangle \quad /16/$$

A  $\lambda_1$ ,  $\lambda_2$  tartományra való bontást végrehajtjuk az elektromos térerősség operátoránál is.

$$\mathbf{E}^{(-)} = -\frac{i}{c} \sum_{\lambda_1} q_{\lambda_1}^{+} \mathbf{A}_{\lambda_1}^{*} \omega_{\lambda_1} - \frac{i}{c} \sum_{\lambda_2} q_{\lambda_2}^{+} \mathbf{A}_{\lambda_2}^{*} \omega_{\lambda_2}$$

$$\mathbf{E}^{(+)} = \frac{i}{c} \sum_{\lambda_1} q_{\lambda_1} \mathbf{A}_{\lambda_1} \omega_{\lambda_1} + \frac{i}{c} \sum_{\lambda_2} q_{\lambda_2} \mathbf{A}_{\lambda_2} \omega_{\lambda_2} \quad /17/$$

Az abszorpció valószínűsége tehát

$$P_a = \langle \psi | \mathbf{E}^{(-)} \mathbf{E}^{(+)} | \psi \rangle =$$

$$= \frac{1}{c^2} \left( \sum_{\lambda_1} \sum_{\lambda_1'} \frac{\hbar}{2} \sqrt{\omega_{\lambda_1} \omega_{\lambda_1'}} e^{i(\omega_{\lambda_1} - \omega_{\lambda_1'})} \langle \psi | P_{c1\lambda_1} \psi_{c1\lambda_1'} \rangle \mathbf{A}_{\lambda_1} \mathbf{A}_{\lambda_1'}^{*} + \right.$$

$$\begin{aligned}
 & + \sum_{\lambda_1} \sum_{\lambda_2} \frac{\hbar}{2} \sqrt{\omega_{\lambda_2} \omega_{\lambda_1}} e^{i(\omega_{\lambda_2} - \omega_{\lambda_1})} \langle \psi | P_{C1\lambda_1} \psi_{C1\lambda_2} \rangle A_{\lambda_1} A_{\lambda_2}^* + \\
 & + \sum_{\lambda_2'} \sum_{\lambda_2''} \frac{\hbar}{2} \sqrt{\omega_{\lambda_2'} \omega_{\lambda_2''}} e^{i(\omega_{\lambda_2'} - \omega_{\lambda_2''})} \langle \psi | P_{C1\lambda_2'} \psi_{C1\lambda_2''} \rangle A_{\lambda_2'} A_{\lambda_2''}^* + \quad /18/ \\
 & + \sum_{\lambda_2} \sum_{\lambda_1} \frac{\hbar}{2} \sqrt{\omega_{\lambda_2} \omega_{\lambda_1}} e^{i(\omega_{\lambda_1} - \omega_{\lambda_2})} \langle \psi | P_{C1\lambda_2} \psi_{C1\lambda_1} \rangle A_{\lambda_2} A_{\lambda_1}^*
 \end{aligned}$$

Felhasználva azt, hogy a különböző energiájú állapotokat leíró hullámfüggvények ortogonálisak

$$\langle \psi | P_{C1\lambda_1'} \psi_{C1\lambda_1} \rangle = P_{C1\lambda_1'}^* P_{C1\lambda_1}$$

$$\langle \psi | P_{C1\lambda_1} \psi_{C1\lambda_2} \rangle = P_{C1\lambda_2}^* P_{C1\lambda_1}$$

$$\langle \psi | P_{C1\lambda_2'} \psi_{C1\lambda_2''} \rangle = P_{C1\lambda_2''}^* P_{C1\lambda_2'}$$

$$\langle \psi | P_{C1\lambda_2} \psi_{C1\lambda_1} \rangle = P_{C1\lambda_1}^* P_{C1\lambda_2}$$

/19/

A  $P$  faktorokat a két lehetséges közelítésben a /10/ és /11/ kifejezések adják meg. Mindkettőben szerepelnek a kölcsönhatási operátor mátrix elemei, melyet a /4/ kifejezés ad meg nem relativisztikus esetben. Csupán elektromos dipolus átmenetet véve figyelembe, a /4/ kifejezés egyszerűsíthető, ugyanis

$\frac{\mathbf{u}}{\mu} = \frac{\mathbf{v}}{c}$  ahol  $\mathbf{v}$  a sebesség vektor operátor és  $\mathbf{v} = -i \omega_{\lambda} \mathbf{x}$ , ahol  $\mathbf{x}$  az eltérés vektor, valamint  $\mathbf{d} = +e \mathbf{x}$ ,

ahol  $\mathbf{d}$  az elektromos dipolmomentum vektor. Ezeket felhasználva tehát

$$H_{C1\lambda_1, \alpha\alpha\lambda} = -i \sqrt{2\pi \hbar \omega_{\lambda_1}} \cos(\mathbf{d}, \mathbf{e}_{\lambda_1}) d_{1\alpha\alpha} \quad /20/$$

Itt  $\mathbf{d}_1$  a  $a \rightarrow C$  átmenetnél a dipolusmomentum és  $d_{1ca}$  ezen dipolusmomentum mátrix eleme  $d_{1ca} = \langle \psi_C | \mathbf{d} | \psi_a \rangle$

Felhasználva /20/-at és az első típusú közelítést alkalmazva, tehát először  $\gamma_1, \gamma_2 \rightarrow 0$  utána  $t \rightarrow \infty$  kapjuk

$$\begin{aligned}
 P_a = & 4\pi^2 \left[ \sum_{\lambda_1} \sum_{\lambda_2} \omega_{\lambda_1} \omega_{\lambda_2} \cos(\mathbf{e}_{\lambda_1} \cdot \mathbf{e}_{\lambda_2}) \cos(\mathbf{d}_1 \cdot \mathbf{e}_{\lambda_1}) \cos(\mathbf{d}_2 \cdot \mathbf{e}_{\lambda_2}) |d_{1ca}|^2 \cdot \right. \\
 & \cdot e^{i(\omega_{\lambda_1} - \omega_{\lambda_2})t} e^{-i(\mathbf{x}_{\lambda_1} - \mathbf{x}_{\lambda_2}) \cdot \mathbf{r}} \zeta^*(\omega_{\lambda_1} - \omega_1) \zeta(\omega_{\lambda_1} - \omega_1) + \\
 & + \sum_{\lambda_1} \sum_{\lambda_2} \omega_{\lambda_1} \omega_{\lambda_2} \cos(\mathbf{e}_{\lambda_1} \cdot \mathbf{e}_{\lambda_2}) \cos(\mathbf{d}_1 \cdot \mathbf{e}_{\lambda_1}) \cos(\mathbf{d}_2 \cdot \mathbf{e}_{\lambda_2}) d_{2cb}^* d_{1ca} \cdot \\
 & \cdot e^{i(\omega_{\lambda_2} - \omega_{\lambda_1})t} e^{-i(\mathbf{x}_{\lambda_2} - \mathbf{x}_{\lambda_1}) \cdot \mathbf{r}} \zeta^*(\omega_{\lambda_2} - \omega_2) \zeta(\omega_{\lambda_1} - \omega_1) + \\
 & + \sum_{\lambda_2} \sum_{\lambda_1} \omega_{\lambda_2} \omega_{\lambda_1} \cos(\mathbf{e}_{\lambda_2} \cdot \mathbf{e}_{\lambda_1}) \cos(\mathbf{d}_2 \cdot \mathbf{e}_{\lambda_2}) \cos(\mathbf{d}_1 \cdot \mathbf{e}_{\lambda_1}) |d_{2cb}|^2 \cdot \\
 & \cdot e^{i(\omega_{\lambda_2} - \omega_{\lambda_1})t} e^{-i(\mathbf{x}_{\lambda_2} - \mathbf{x}_{\lambda_1}) \cdot \mathbf{r}} \zeta^*(\omega_{\lambda_2} - \omega_2) \zeta(\omega_{\lambda_2} - \omega_2) + \\
 & + \sum_{\lambda_1} \sum_{\lambda_2} \omega_{\lambda_1} \omega_{\lambda_2} \cos(\mathbf{e}_{\lambda_1} \cdot \mathbf{e}_{\lambda_2}) \cos(\mathbf{d}_1 \cdot \mathbf{e}_{\lambda_1}) \cos(\mathbf{d}_2 \cdot \mathbf{e}_{\lambda_2}) d_{1ca}^* d_{2cb} \cdot \\
 & \left. \cdot e^{i(\omega_{\lambda_1} - \omega_{\lambda_2})t} e^{-i(\mathbf{x}_{\lambda_1} - \mathbf{x}_{\lambda_2}) \cdot \mathbf{r}} \zeta^*(\omega_{\lambda_1} - \omega_1) \zeta(\omega_{\lambda_2} - \omega_2) \right] \quad /21/
 \end{aligned}$$

A  $\lambda_1, \lambda_2$  szerinti összegeзések az oszcillátorokra való összegeзéseket jelentik. Ezen összegek  $\omega_\lambda$  szerinti integrálökká alakíthatók át, ha tekintetbe vesszük az oszcillátorok sűrűségét

$$\rho(\omega_\lambda) d\omega_\lambda d\Omega = \frac{\omega_\lambda^2 d\omega_\lambda}{(2\pi c)^3} d\Omega \quad /22/$$

A fellépő integrálok tehát a következő alakúak:

$$B(\omega_i) = \frac{1}{\hbar} \int \omega_\lambda^3 e^{-i(\omega_\lambda t - \frac{\omega_\lambda}{c} \mathbf{e}_{\kappa\lambda} \mathbf{r})} \zeta(\omega_\lambda - \omega_i) d\omega_\lambda \quad /23/$$

Itt  $\frac{\omega_\lambda}{c} \mathbf{e}_{\kappa\lambda} = \boldsymbol{\kappa}_\lambda \cdot \mathbf{e}_{\kappa\lambda}$  tehát a terjedési irányba mutató egységvektor. Ennek felhasználásával /21/ lényegesen egyszerűbb alakra írható. Tegyük azt fel még, hogy a megfigyelést az  $\mathbf{e}_\kappa$  irányba és  $d\Omega$  kúpszögben végezzük és a polarizáció iránya  $\mathbf{e}$ . Ekkor

$$P_\alpha = \frac{d\Omega^2 \hbar^2}{(2\pi)^4 c^6} \left[ |B(\omega_1)|^2 |d_{1ca}|^2 \cos^2(\mathbf{d}_1 \mathbf{e}) + B^*(\omega_2) B(\omega_1) d_{2cb}^* d_{1ca} \cdot \right. \\ \left. \cdot \cos(\mathbf{d}_2 \mathbf{e}) \cos(\mathbf{d}_1 \mathbf{e}) + |B(\omega_2)|^2 \cos^2(\mathbf{d}_2 \mathbf{e}) |d_{2cb}|^2 + \right. \quad /24/ \\ \left. + B^*(\omega_1) B(\omega_2) d_{1ca}^* d_{2cb} \cos(\mathbf{d}_1 \mathbf{e}) \cos(\mathbf{d}_2 \mathbf{e}) \right]$$

A /23/ integrál azonban könnyedén számolható, ugyanis

$$\lim_{t \rightarrow \infty} \zeta(x) e^{-ixt} = -2\pi i \delta(x) \quad /25/$$

A /23/ integrandusában ez a függvény szerepel, ha  $t > 0$ . Ezt felhasználva, az integrált elvégezzük

$$B(\omega_i) = -2 \frac{1}{\hbar} \pi i \omega_i^3 e^{i \frac{\omega_i}{c} \mathbf{e}_\kappa \mathbf{r}} e^{-i\omega_i t} \quad /26/$$

Behelyettesítve /26/-ot /24/-be, kapjuk

$$P_\alpha = \frac{d\Omega^2}{c^6 2\pi} \left[ \omega_1^6 |d_{1ca}|^2 \cos^2(\mathbf{d}_1 \mathbf{e}) + \omega_2^6 |d_{2cb}|^2 \cos^2(\mathbf{d}_2 \mathbf{e}) + \right. \\ \left. + 2 \cos(\mathbf{d}_2 \mathbf{e}) \cos(\mathbf{d}_1 \mathbf{e}) \omega_1^3 \omega_2^3 R(d_{2cb}^* d_{1ca} e^{-i[(\omega_1 - \omega_2)t - \frac{\omega_1 - \omega_2}{c} \mathbf{e}_\kappa \mathbf{r}]} \right] \quad /27/$$

A /27/ kifejezésből látható, hogy a koherensen gerjesztett két nívóról származó fény egy része egymással interferál. A mért intenzitás  $\omega_1 - \omega_2$  frekvenciája harmonikus függvénye az időnek. A /27/ kifejezés hiányossága, hogy nem tartalmazza a nívók időben való bom-

lásának törvényét, hiszen a közelítésben  $\gamma \rightarrow 0$  tételeztünk fel.

Pontosabb közelítést ad az, ha csupán azt tételezzük fel, hogy időben az emisszió kezdetétől számítva /egység a fény periódusideje/ e-lég távol vagyunk. Ekkor a  $P_{c1\lambda}$  faktorokat a /11/-es kifejezések adják meg. Hogy az abszorpció valószínűségét megkapjuk, helyettesítsük be /11/-et /18/-ba és az eredmény megegyezik /24/-el, csupán  $B(\omega_i)$  helyére kell  $c(\omega_i)$  -t helyettesíteni, ahol

$$c(\omega_i) = -\frac{1}{2\pi i} \int d\omega_\lambda \int dE \frac{\omega_\lambda^3 e^{-i(\omega_\lambda t - \mathbf{x}_\lambda \mathbf{r})}}{E - E_a - \frac{1}{2} i \hbar \gamma_m(\Gamma_i)} \psi(\hbar \omega_\lambda + E_c - E) \quad /28/$$

Figyelembe véve azonban a /8/ kezdeti feltételt és azt, hogy

$$\psi(x) + \psi(-x) = -2\pi i \delta(x)$$

kapjuk, hogy

$$c(\omega_i) = \int d\omega_\lambda \int dE \frac{\omega_\lambda^3 e^{-i(\omega_\lambda t - \mathbf{x}_\lambda \mathbf{r})}}{E - E_a - \frac{1}{2} i \hbar \gamma_m(\Gamma_i)} \delta(\hbar \omega_\lambda + E_c - E) \quad /29/$$

Végrehajtva a  $d\omega_\lambda$  szerinti integrálást, kapjuk, hogy

$$c(\omega_i) = \frac{1}{\hbar} \int d\omega \frac{(\omega - \omega_c)^3 e^{-i[(\omega - \omega_c)t - \frac{\omega - \omega_c}{c} \mathbf{e}_x \mathbf{r}]} }{\omega - \omega_a - i \frac{\gamma}{2}} \quad /30/$$

ahol  $\omega_a = \frac{E_a}{\hbar}$ ,  $\omega_c = \frac{E_c}{\hbar}$ ,  $\omega = \frac{E}{\hbar}$ . Abból a célból, hogy a  $C(\omega_i)$ -

ben kijelölt integrált elvégezzük, átrendezzük /30/-at:

$$c(\omega_i) = \frac{1}{\hbar} e^{i[(\omega_a - \omega_c)t - \frac{\omega_a - \omega_c}{c} \mathbf{e}_x \mathbf{r}]} \int d\xi \frac{[\xi + (\omega_a - \omega_c)]^3 e^{i(\xi t - \frac{\xi}{c} \mathbf{e}_x \mathbf{r})}}{\xi - i \frac{\gamma}{2}} \quad /31/$$

A /31/-es kifejezésben előforduló integrál /F/ felbontható a következő formába:

$$F = (\omega_a - \omega_c)^3 \int d\xi \frac{e^{-i(\xi t - \frac{\xi}{c} \mathbf{e}_x \mathbf{r})}}{\xi - i \frac{\gamma}{2}} + O(\xi) \quad /32/$$

Az F integrálban az  $O(\xi)$  a következő típusu integrálok összegét jelentti:

$$\int d\xi \frac{\xi^n e^{-i\xi(t - \frac{\mathbf{e}_x \mathbf{r}}{c})}}{\xi - i \frac{\gamma}{2}} \quad /33/$$

Ezen integrálokat a  $\gamma_1 \rightarrow 0$  közelítésben tudjuk számolni. Ekkor az integrálban szereplő  $\frac{1}{\xi - i \frac{\gamma_1}{2}} \rightarrow \frac{1}{2} \frac{\gamma_1}{\xi} (\xi)$  és  $\zeta(x) e^{-ixt} \rightarrow -2\pi i \delta(x)$  és az integrálok értéke 0. Az F kifejezés első tagja minden közelítés nélkül számolható

$$F = (\omega_a - \omega_c)^3 e^{-\frac{\gamma_1}{2} (t - \mathbf{e}_x \frac{\mathbf{r}}{c})} (-2\pi i) \quad /34/$$

Tekintetbe véve, hogy  $\omega_a - \omega_c = \omega_1$ , kapjuk, hogy

$$c(\omega_1) = \frac{\omega_1^3}{\hbar} e^{i(\omega_1 t - \frac{\omega_1}{c} \mathbf{e}_x \mathbf{r})} e^{-\frac{\gamma_1}{2} (t - \mathbf{e}_x \frac{\mathbf{r}}{c})} (-2\pi i) \quad /35/$$

Ezt /24/-be helyettesítve kapjuk

$$\begin{aligned} P_a = & \frac{d\Omega^2}{c^6 2\pi} (\omega_1^6 |d_{1ca}|^2 \cos^2(\mathbf{d}_1 \mathbf{e}) e^{-\gamma_1 (t - \frac{\mathbf{e}_x \mathbf{r}}{c})} + \\ & + \omega_2^6 |d_{2cb}|^2 \cos^2(\mathbf{d}_2 \mathbf{e}) e^{-\gamma_2 (t - \frac{\mathbf{e}_x \mathbf{r}}{c})} + \\ & + 2\omega_1^3 \omega_2^3 \cos(\mathbf{d}_2 \mathbf{e}) \cos(\mathbf{d}_1 \mathbf{e}) e^{-\frac{\gamma_1 + \gamma_2}{2} (t - \mathbf{e}_x \frac{\mathbf{r}}{c})} \cdot \\ & \cdot R(d_{2cb}^* d_{1ca} e^{-i[(\omega_1 - \omega_2)t - \frac{\omega_1 - \omega_2}{c} \mathbf{e}_x \mathbf{r}]} ) \end{aligned} \quad /36/$$

Mint látható, az abszorpció valószínűsége három tagból áll. Ezek közül az első kettő azt az esetet írja le, amikor az  $\omega_1$ , ill.  $\omega_2$  frekvenciájú oszcillátor egymástól függetlenül emittál  $\omega_1$  ill.  $\omega_2$  frekvenciájú kvantumot és ezt az ideális detektor abszorbeálja.

Lényegében tehát az első két tag mindegyike az emisszió és az abszorpció valószínűségének szorzata. Az időfüggés tiszta exponenciális és az exponensben a retardált idő szerepel, tehát a kifejezés leírja az abszorpciónak a térkoordinátáktól való függését is. Az elektromos dipolus iránykarakterisztikáját írja le a mindkét tagban szereplő koszinuszos szorzó. A harmadik tag veszi figyelembe azt a fontos ténytet, hogy a két sugárzó oszcillátort azonos időpillanat-

ban, tehát koherensen gerjesztettük. Az  $a \rightarrow c$  és a  $b \rightarrow c$  átmenetek szimultán zajlanak le, s a két tér interferenciája keletkezik. Az interferencia megfigyelhetősége nyilvánvalóan függ a két dipól iránykarakteristikáitól. Ezt veszi figyelembe a két koszinuszos faktor. Az időfüggés az exponenciális csillapodáson kívül, nyilvánvalóan harmonikus és a frekvencia a két oszcillátor frekvenciájának különbsége. Az exponensben ismét a retardált idő szerepel. Ezáltal a térszerű harmonikus függés is figyelembe van véve.

A /36/ képlet alapján definiálhatjuk a lebegés kimutathatóságát is. A  $t' = t - \frac{e \cdot x \cdot r}{c} \sim 0$  retardált időpillanatban, feltéve, hogy  $\delta_1, \delta_2 \ll \omega_1, \omega_2$

$$V = \frac{2 \omega_1^3 \omega_2^3 \cos(\mathbf{d}_1 \mathbf{e}) \cos(\mathbf{d}_2 \mathbf{e}) \operatorname{Re}[d_{2cb}^* d_{1ca}]}{\omega_1^6 \cos^2(\mathbf{d}_1 \mathbf{e}) |d_{1ca}|^2 + \omega_2^6 \cos^2(\mathbf{d}_2 \mathbf{e}) |d_{2cb}|^2} \quad /37/$$

Az előzőkből látható tehát, hogy koherensen gerjesztett  $\delta$  szintűk esetén az együttes bomlási görbe periódikus strukturát tartalmaz. Ez a periódikus struktúra azonban csak polarizátor alkalmazása és megfelelő gerjesztési feltételek mellett jelentkezik tisztán. A lebegés kimutathatósága függ a választott polarizációs iránytól és a dipolusok irányától is. Csak  $\mathbf{d}_1 \mathbf{e} = \mathbf{d}_2 \mathbf{e}$   $d_{1ca} = d_{2cb}$  esetén kapunk maximális kontrasztot. Ez a lebegés megfigyelhetőségének optimális esete.

I r o d a l o m

- [1] Weisskopf, V., Wigner, E.: Zeit. f. Phys. 63, 54 /1930/  
[2] Wien, W.: I. Ann. d. Phys. 60, 597 /1919/  
II. Ann. d. Phys. 66, 229 /1921/  
III. Ann. d. Phys. 73, 483 /1924/  
[3] Heron, S., McWhirter, R.W.: Rhoderick, E.H., Nature, 174, 564 /1954/  
[4] Heron, S., McWhirter, R.W., Rhoderick, E.H.: Proc. Roy. Soc. 234,  
565 /1956/  
[5] Подгорецкий, М.У.: ОИЯИ препринт Р 491 /1960/  
[6] Podgoreckij, M.I., Chrustalev, O.A.: Fortschritte der Physik, 12,  
/4/, 235 /1964/  
[7] Dehmelt, H.G.; Phys. Rev. 105, /6/ 1924 /1957/  
[8] Константинов, О.Б., Перел, Б.У.: ЖЭТФ 45, 279 /1963/  
[9] Александров, Е., Б., Козлов, В., П.: Опт. и спектр 16, /3/, 533 /1964/  
[10] Dodd, J.N., Series, G.W.: Proc. Roy. Soc. 263, 353 /1961/  
[11] Barratt, J.B.: Proc. Roy. Soc. 263, 371 /1961/  
[12] Dodd, J.N., Fox, W.N., Series, G.W., Taylor, M.J.: Proc. Phys. Soc. 74,  
789 /1959/  
[13] Series, G.W.: Adv. Quant. El. p. 128 /1961/  
[14] Александров, Е.Б.: Опт. и Спектр 14, 436 /1963/  
[15] Александров, Е.Б.: Опт. и Спектр 16, 377 /1964/  
[16] Heitler, W.: The quantum theory of radiation /1954/  
[17] Glauber, R.J.: Phys. Rev. 130, /6/, 2529 /1963/

Érkezett: 1964. okt. 20.

KFKI Közl. 12. évf. 6.szám, 1964.



## U-233, U-235 ÉS Pu-239 MAGOK HASADÁSÁNÁL KELETKEZŐ HASADÁSI TERMÉKEK ENERGIAELOSZTLÁSÁNAK MÉRÉSE

Irta: Nagy Tibor, Pavlicsek István és Nagy László

### Összefoglalás

Rácsos ionizációs kamra alkalmazásával megmértük az U-233, U-235 és Pu-239 magok termikus neutronok hatására történő hasadásakor keletkező hasadási termékei energiaeloszlását. A neutronokat a reaktor egyik vízszintes csatornájából nyertük. A hármas hasadás vizsgálatához előmérés-ként szolgáló ezen mérések eredményei jó egyezést mutatnak a mások által kapott eredményekkel.

### A kísérleti berendezés

A közeljövőben nagyenergiájú alfa-részecske kibocsátásával járó ún. hármas hasadási jelenségek vizsgálatával kívánunk foglalkozni. Az itt közölt mérések célja részben a hármas hasadási vizsgálatokhoz használatos ionizációs kamra kissé egyszerűbb változatán a mérési módszerek elsajátítása, részben a rendszer hitelesítésére használt U-235 mellett az U-233 és Pu-239 hasadási termékei kevéssé mért energiaeloszlásának megmérése.

Az ionizációs kamra hengeres edény, melynek átmérője 21 cm, mélysége 8,5 cm. Anyaga rozsdamentes acél. A gyűjtő elektród távolsága a rácstól 1,4 cm, a nagyfeszültségű elektródtól pedig 5,4 cm volt. Az előbbi adatot, továbbá a rács egyéb paramétereit, ezek között az alkalmazott feszültséget Bunemann, Cranshaw és Harvey [1] számításai alapján választottuk meg. A kamrát 2 atm túlnyomású argonnal töltöttük meg, amely mellett a hasadási termékek maximálisan 1 cm utat tehetnek meg a kamrában. A hasadási termékek impulzusainak felfutásértékei a drift-sebességek és a különböző kirepülési szögek figyelembevételével 4-8  $\mu$ sec intervallumba esnek [2].

Kiszaju kaszkód kapcsolású előerősítőt készítettünk, amit közvetlenül a kamra falára erősítettünk. Az előerősítő bemenő fokozatának e-

lektroncsöveit mintegy 100 db-ból választottuk ki, 50 órás égetés után. Azokat a csöveket használtuk, amelyeknél a meredekség és a rácsáram viszonya a legnagyobb volt; ez biztosította a legmegfelelőbb jel/zaj viszonyt.

A kamra gyűjtőelektródján keletkező feszültségimpulzusok - amelyek nagysága alfa-részecskék esetén kb. 1 mV, hasadási termékek esetén 10-20 mV - az előerősítő és katódkövető után US-2 típusu erősítőbe, majd ezután 128 csatornás amplitudóanalizátorba jutnak. Az erősítőben levő differenciáló és integráló tagok időállandóit a maximális jel/zaj viszony biztosítása végett az impulzusfelfutással nagyjából azonos értékekre választottuk [3].

Az erősítőlánc linearitásának és stabilitásának mérése, valamint a hasadási termékek energiájának meghatározása végett kis jelszintű higanykapcsolós impulzusgenerátort készítettünk. Ebben a higanykapcsoló egy akkumulátor feszültségét szaggatta, amit pontos jelamplitudó előállítására végett a generátor minden egyes üzembehelyezése előtt összehasonlítottunk a generátorba beépített normálem feszültségével. Ezzel a generátorral rendszeresen ellenőriztük az erősítőlánc erősítését.

#### A mérés módszere

A mérésekhez a kamrát argon gázzal töltöttük meg, amit a benne levő elektronegativ gázmolekuláktól gondosan meg kellett tisztítani. Evégből a kamrához gáztisztító berendezést kapcsoltunk, amelyben kb. 100g mennyiségű, kis darabokra vágott fémkalcium szolgált a molekuláris gázok elnyelésére. Gázbetöltés előtt a kamrát és a hozzá kapcsolt gáztisztítót közel  $10^{-5}$  Hgmm nyomásig leszívtuk, majd a kalciummal töltött kályhát kb.  $460^{\circ}\text{C}$ -ra fűtöttük fel, hogy a kalcium a benne abszorbeált gázokat leadja és képessé váljon az ezután betöltött argon gáz megtisztítására. Az argon gázt folyékony nitrogénes csapdán át töltöttük be a kamrába. Kb. két órával a betöltés után az argon gyakorlatilag teljesen megtisztult [4]. Ennek bekövetkezéséről ugy is meggyőződünk, hogy gáztisztítás közben a 128 csatornás analizátorral mértük a vizsgált réteg alfa-részecskéinek impulzusait, s azok amplitudóinak telítésbe jutása jelzi a gáz teljes megtisztulását.

Az energiaskála meghatározása végett először megmértük a vizsgált hasadó anyag ismert energiájú alfa-részecskéi által keltett impulzusok amplitudóeloszlását, s meghatároztuk, hogy a spektrum csúcsa a 128 csatornás analizátor melyik csatornájába esik. Ezután a higanygenerátorból ismert nagyságú jeleket vittünk a változatlan erősítési tényező-

jü erősítőláncon keresztül az analizátorra, s megállapítottuk, mekkora jel felel meg az előbb mért alfa-eloszlás csucsának. Ezt követően - megfelelő erősítésváltoztatás után - felvettük a hasadási termékek energiaspektrumát, majd megmértük, hogy ugyanezen erősítés mellett a 128 csatornás analizátor egyes csatornáinak a higanygenerátor mekkora jelei felelnek meg. Az alfa-eloszlás csucsához tartozó higanygenerátor-jelamplitudó, az alfa-részecske energiája és a hasadási termékeknek megfelelő higanygenerátor-jelamplitudók ismeretében az energiaskálát egyszerű számítással meghatároztuk.

Ennél a számolásnál feltételeztük, hogy az egy ionpár keltéséhez szükséges energia a hasadási termékek esetén ugyanakkora, mint alfa-részecskék esetén, bár valójában ez nem így van. Brunton és Hanna ionizációs kamrával végzett méréseinél kiderült [5], hogy a hasadási termékek fenti feltételezés alapján megállapított átlagos kinetikus energiája kisebbnek adódik, mint a kalorimetrikus mérésekből adódó átlagos kinetikus energia [6].

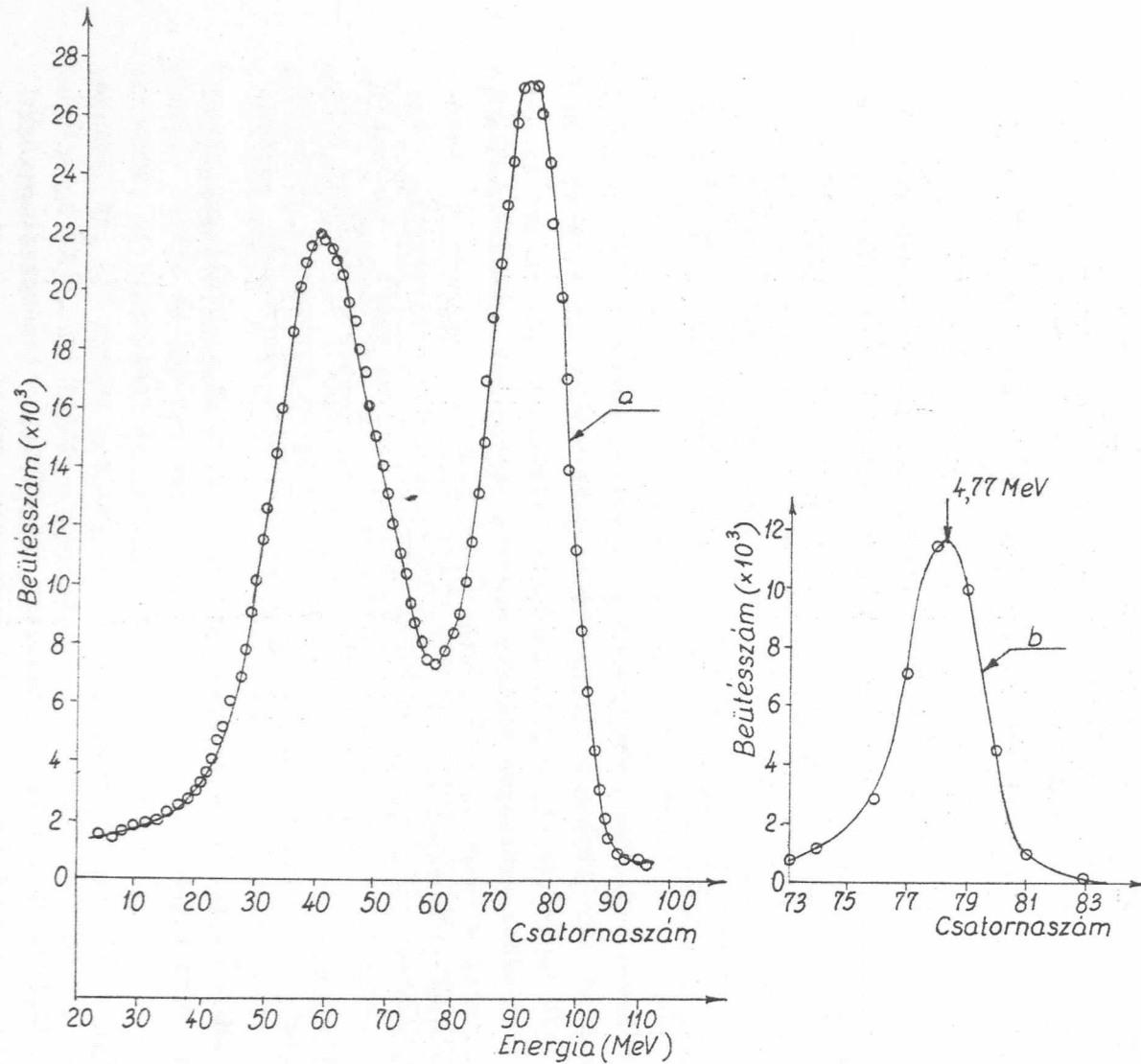
Ezt a jelenséget Knipp és Ling azzal magyarázta, hogy a hasadási termékek energiájuknak viszonylag nagyobb részét veszítik el nem közvetlenül ionizálás útján /pl. ütközések révén/, s ily módon az egy ionpár keltéséhez szükséges átlagos energia nagyobbak adódik hasadási termékek, mint alfa-részecskék esetén [7]. Leachman megmérté a hasadási termékek sebességeloszlását, s a legvalószínűbb sebességekre kapott eredményeket egybevetette az ionizációs kamrával nyert adatokból számítottakkal [8]. Megállapította, hogy az egy ionpár keltéséhez szükséges átlagenergia a legvalószínűbb könnyű és nehéz hasadási termékek esetén 6 %-kal, illetve 11 %-kal nagyobb, mint alfa-részecskék esetén.

Méréseink összehasonlító jellege miatt a korrekció végrehajtásától eltekintettünk.

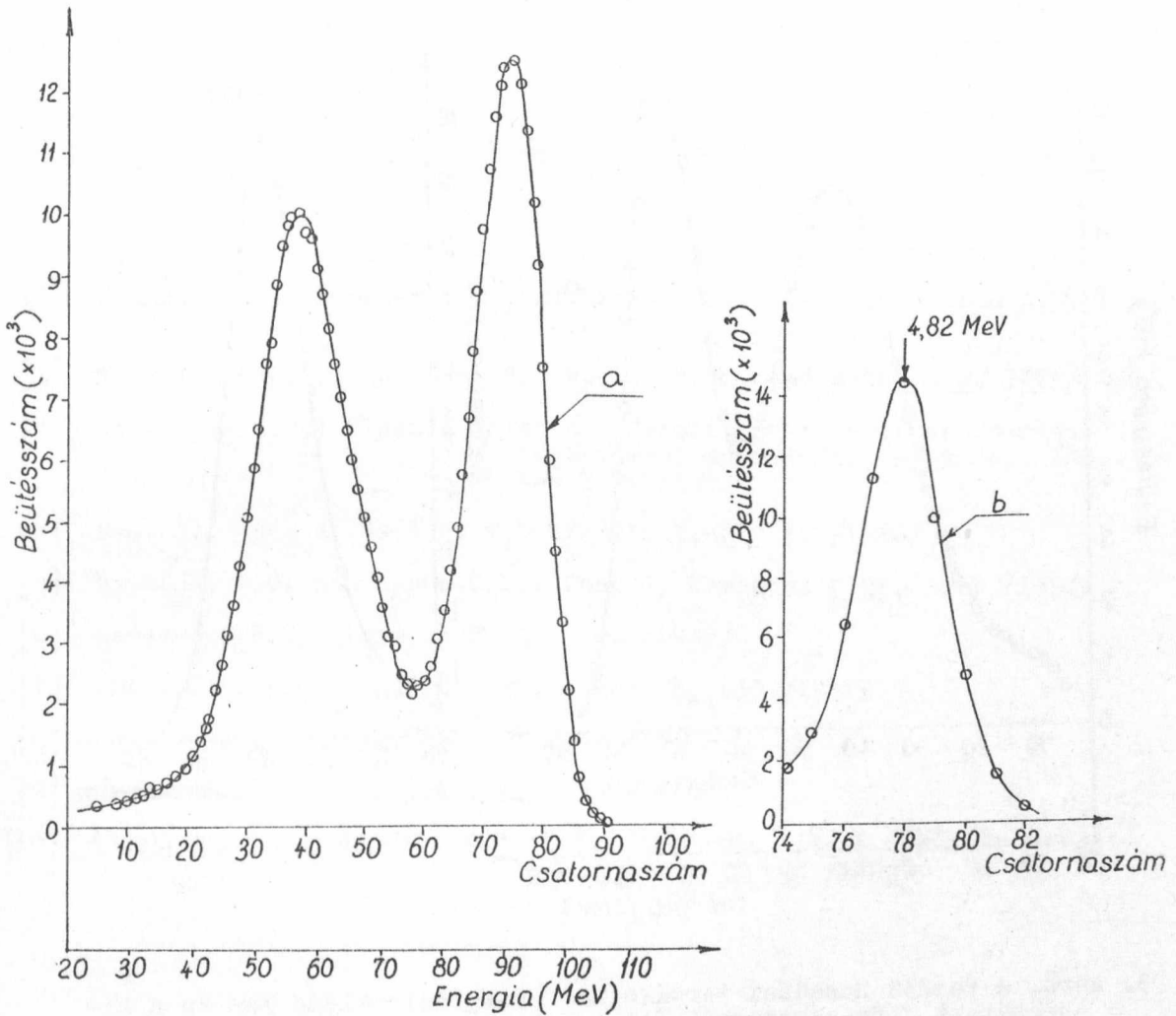
### Eredmények

Az 1/a. ábra az U-235 hasadási termékeinek energiaeloszlását ábrázolja. A 36 %-os dúsítású U-235 réteg vákuumpárologtatással készült, vastagsága  $150 \mu\text{g}/\text{cm}^2$ . A rétegben önabszorpció miatt a hasadási termékek átlagosan 1,5 %-os energiaveszteséget szenvednek. Ennek figyelembevételével a kapott legvalószínűbb energiaértékek a következők: 59,7 MeV és 93,6 MeV. Ezek az értékek jól egyeznek az irodalmi értékekkel [5, 9, 10].

Az 1/b. ábra az U-235 mellett kb. egy százalékban jelen levő,



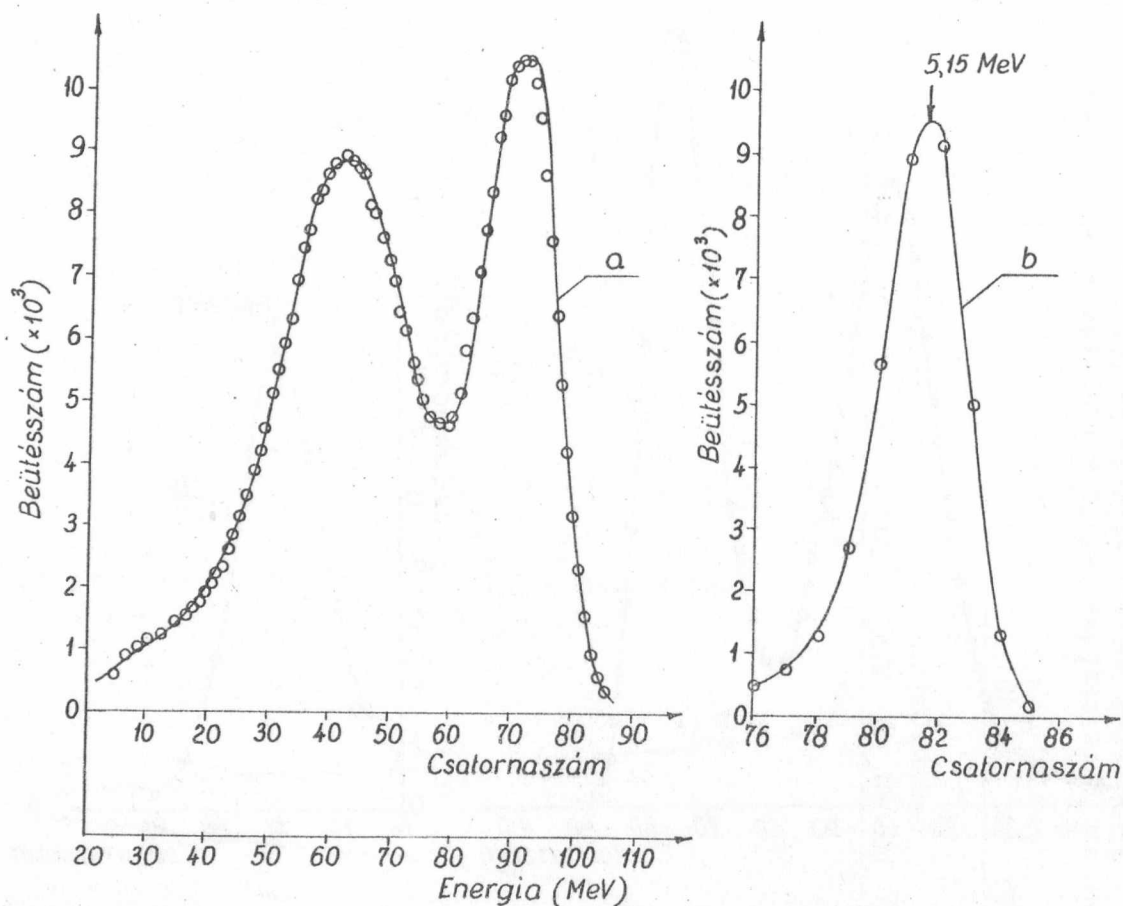
1. ábra. Az U-235 hasadási termékeinek energiaeloszlása /a/ és a kibocsátott alfa-részecskék által keltett impulzusok amplitúdóeloszlása /b/.



2. ábra. Az U-233 hasadási termékeinek energiaeloszlása /a/ és a kibocsátott alfa-részecskék által keltett impulzusok amplitudóeloszlása /b/.

de az U-235 felezési idejénél kb. 2800-szor kisebb felezési idejű U-234 alfa-részecskéi által keltett impulzusok amplitudóeloszlását ábrázolja. Ennek ismerete egyrészt - mint láttuk - az analizátor csatornához rendelhető energiák kiszámítása végett szükséges, másrészt megadja a berendezés felbontóképességét. Ez utóbbi /vagyis a spektrum maximumának felénél mért teljes szélesség/ jelen esetben 4,1 %.

Az U-233 hasadási termékeinek energiaspektrumát és alfa-részecskéi által keltett impulzusok amplitudóeloszlását a 2/a. és 2/b. ábra mutatja. Ez a réteg elektrolitikus uton készült. Vastagsága  $0,2 \mu\text{g}/\text{cm}^2$ . Itt önabszorpció nincs. A legvalószínűbb energiaértékek: 56,9 MeV és 91,3 MeV.



3. ábra. A Pu-239 hasadási termékeinek energiaeloszlása /a/ és a kibocsátott alfa-részecskék által keltett impulzusok amplitudóeloszlása /b/.

A 3/a. és 3/b. ábra a Pu-239 hasadási termékeinek energiaspektrumát és alfa-részecskéi által keltett impulzusok amplitudóeloszlását ábrázolja. Az igen vékony Pu-239 réteget / $3,2 \cdot 10^4$  beütés/perc 5,5cm rétegátmérő mellett/ a Szovjetunióból kaptuk. Rendkívül mérgező voltára való tekintettel a réteget vékony műanyagfólia fedi. Méréseink szerint ez az energiaveszteség szempontjából nem túlságosan jelentős. A legvalószínűbb energiákra kapott értékek: 63,0 MeV és 92,4 MeV.

I r o d a l o m

- [1] Bunemann, O., Cranshaw, T.E. and Harvey, J.A.: Can. J. Research A, 27, 191 /1949/
- [2] Nagy, T., Nagy, L. and Dési, S.: Nucl. Instr. and Methods 8, 327 /1960/
- [3] Gillempie, A.B.: Signal, Noise and Resolution in Nuclear Counter Amplifiers. McGraw-Hill Book Co., Inc., New York /1953/
- [4] Dési S., Nagy L. és Nagy T.: KFKI Közl. 8, 11 /1960/
- [5] Bruntton, D.C. and Hanna, G.C.: Can. J. Research A, 28, 190 /1950/
- [6] Henderson, M.C.: Phys. Rev. 58, 774 /1940/
- [7] Knipp, J.K. and Ling, R.C.: Phys. Rev. 82, 30 /1951/
- [8] Leachman, R.B.: Phys. Rev. 87, 444 /1952/
- [9] Deutsch, M. and Ramsey, M.: MDDC, 945 /1946/
- [10] Дмитриев, В.Н., Драпчинский, Л.В., Петржак, К.А. и Романов, Ю.Ф.: ДАН СССР 127, 531 /1959/

Érkezett: 1964. okt. 25.

KFKI Közl. 12. évf. 6. szám, 1964.

## MÖSSBAUER EFFEKTUS A $\text{Cu}_3\text{Au}$ ÖTVÖZETBEN

Irta: Blazsó Tibor<sup>✉</sup>

### Összefoglalás

Rendezett és rendezetlen  $\text{Cu}_3\text{Au}$  ötvözetben mértük az  $\text{Au}^{197}$  Mössbauer vonal szélességét cseppfolyós levegő hőmérsékleten. A vonalszélesség rendezetlen állapotban 2-szer nagyobb, mint rendezett állapotban. Ha feltesszük, hogy a kiszélesedést kvadrupól kölcsönhatás okozza, akkor a belső elektromos térerősség gradiens értéke  $0,5 \cdot 10^{18}$  V/cm<sup>2</sup>.

### 1/ Bevezetés

A szilárdtestfizikai kutatások egyik jelentős problémaköre a kristályos anyagok rendezettségének a vizsgálata. Léteznek ugyanis olyan /főként fém/ ötvözetkristályok, amelyekben csak alacsony hőmérsékleten vannak a különböző alkotóelemek atomjai az elemi cella meghatározott helyén. A hőmérséklet növekedésével egyre inkább növekszik annak a valószínűsége, hogy az egyes alkotóelemek helyet cseréljenek. Végül létezik egy olyan hőmérséklet, amely felett a kristály teljesen "rendezetlen", azaz az egyes rácshelyeken statisztikusan oszlanak el az atomok. Ezt a hőmérsékletet átalakulási hőmérsékletnek nevezzük. A teljesen rendezett és teljesen rendezetlen állapot között részben rendezett állapotok is előfordulnak. A rendezett állapottól való eltérés mértékéül bevezették a "rendezettség" fogalmát, amelyet vagy a hosszú rend-paraméterrel vagy pedig a rövid rend-paraméterrel mérünk [1]. A kétféle paraméter /homogén kristályban/ összefüggésben van egymással. Számértéküket úgy választjuk meg, hogy rendezetlen állapotban 0, rendezettben 1 legyen. A hosszú rend paraméter a következőképpen függ a hőmérséklettől: alacsony hőmérsékleten elég széles tartományban értéke közel 1, majd egyre inkább csökken, és az átalakulási hőmérsékleten igen meredeken zérussá válik [1].

---

✉/ Jelenleg a Méréstechnikai Központi Kutató Laboratórium dolgozója.



A fenti csoport egyik jellemző képviselője a  $\text{Cu}_3\text{Au}$  egyfázisú ötvözet. A kristály szerkezete köbös lapcentrált, a lapközépeken Cu, a kocka csucsain Au atomok foglalnak helyet /rendezett állapotban/. Itt tehát egy Au atom legközelebbi szomszédai Cu atomok. A  $\text{Cu}_3\text{Au}$  ötvözzel kapcsolatban intézetünkben sok tapasztalat jött össze [2].

Ismeretes, hogy a Mössbauer-effektus alkalmazása igen hatékony segítséget nyújt az anyagok belső szerkezetének megismerésére vonatkozóan. Nevezetesen, az effektus lehetővé teszi a gamma-sugárzás energiájának igen kis /kb.  $10^{-11}$  -  $10^{-13}$ -szoros/ relativ változásainak mérését. Ez alkalmas arra, hogy az atommagokon nem magfizikai /hanem kémiai, héjfizikai stb./ hatásokat is kimutassunk. A  $\text{Cu}_3\text{Au}$  ötvözet esetében várhatjuk, hogy a rendezett és rendezetlen anyag Mössbauer-vonala különbözni fog egymástól. Az eltérés okát kiderítve adatokat nyerhetünk az ötvözet belső szerkezetéről.

Az alkotó két elem közül az Au alkalmas Mössbauer vizsgálatra. Az  $\text{Au}^{197}$  mag 77 keV-os gamma-nívója segítségével több szerző végzett Mössbauer méréseket [4, 5].

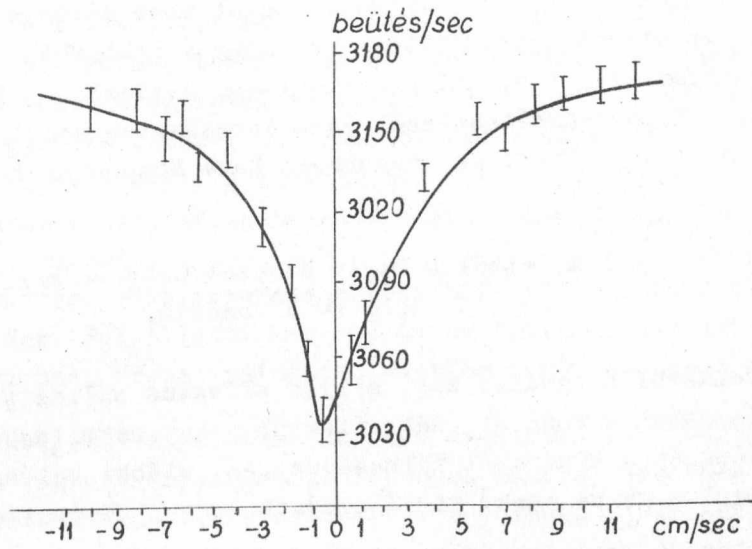
## 2/ Mérések

A vizsgálandó anyagot abszorbensként használtuk, a forrás aktivált természetes Pt volt. A forrás spektrumában 3 gamma vonal /300 keV, 150 keV és a 77 keV vonal/, valamint 66 és 69 keV-os Röntgen vonal található. Ez utóbbiakat nem tudtuk szcintillációs számlálóval elválasztani a 77 keV-os gamma-vonaltól. Az effektus nagyságát ez a háttér kb. 1/3-ra csökkentette. Mind a forrás, mind az abszorbens  $77 \text{ K}^0$ -on voltak. A forrás vizsgálata céljából a Mössbauer vonalat előszűrőtiszta Au abszorbenssel vettük fel. Itt a mért effektus igen kicsi, 0,8 % volt. A mérésekből kiadódott, hogy a forrás Lamb-Mössbauer faktora megközelíti az elméleti értéket /14 %-ot/, az abszorbensnél viszont ennél kisebb /igy  $185 \text{ K}^0$  helyett  $90 \pm 10 \text{ K}^0$  a mérésekből visszaszámolt Debye hőmérséklet [3]/.

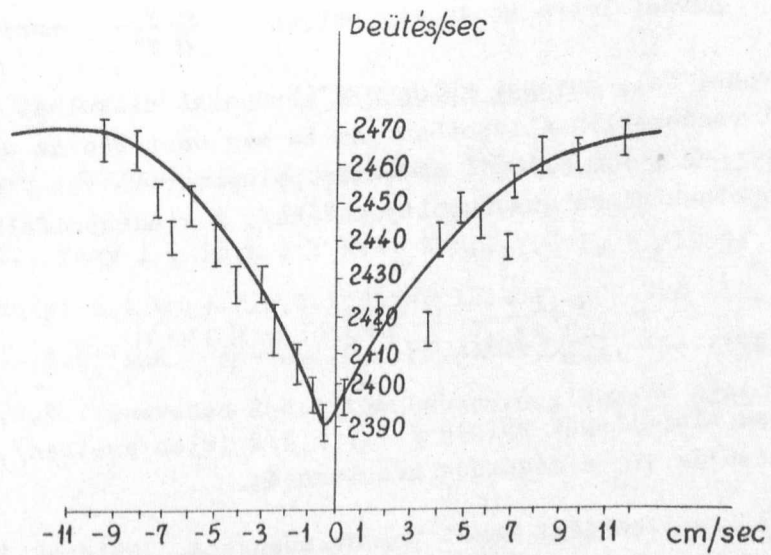
Ezután került sor a  $\text{Cu}_3\text{Au}$  abszorbens alkalmazására. A vizsgált anyagminta 1 mm vastag volt, a méréseket ugyanazzal a mintával végeztük rendezetlen és rendezett állapotban. A sebességspektrumokat az 1. és 2. ábrán láthatjuk.

## 3/ Eredmények és következtetések

A  $\text{Cu}_3\text{Au}$  abszorbenssel kapott eredmények a következők. Rendezett kristálynál az effektus nagysága  $4.4 \pm 0.2 \%$ , félértékszélesség



1. ábra. Rendezett  $\text{Cu}_3\text{Au}$  Mössbauer vonala



2. ábra. Rendezetlen  $\text{Cu}_3\text{Au}$  Mössbauer vonala  
Az 1. ábrával való összehasonlításból  
látható a kiszélesedés

$3.6 \pm 0,5$  mm/sec, rendezetlennél az effektus nagyság  $3.2 \pm 0,3$  %, a félértékszélesség  $6.5 \pm 0.5$  mm/sec. Ezeket az eredményeket a következőképpen értelmezhetjük: feltesszük, hogy a rendezett kristályban nincs semmilyen effektus, ami kiszélesítené a vonalat. Ekkor, mint ismeretes, a félértékszélességből és a természetes vonalszélességből meg lehet határozni  $f'$ -t, az abszorbens Lamb-Mössbauer faktorát. Eredmény:

$$f' = 7 \pm 1 \%, \text{ ebből a } \text{Cu}_3\text{Au} \text{ ötvözet Debye-hőmérsékletére } 180 \pm 20 \text{ K}^0 \text{ adódik.}$$

Felmerül a kérdés, hogy milyen effektus szélesíti ki rendezetlen állapotban a vonalat. Két effektus jöhet számításba: az izomér eltolódás és a kvadrupól felhasadás. Az előbbi valószínűtlennek látszik, mert a görbe csak kiszélesedett, de középeltolódása nem változott.

Rendezetlen állapotban az Au atomok és Cu-atomok egymáshoz képest nem szabályosan helyezkednek el. A mérésben vizsgált Au atomok szomszédai Au atomok vagy réz-atomok lehetnek teljesen rendezetlen módon. A rendezetlen környezet elektromos térerősség gradienst

$$\frac{\partial^2 V}{\partial z^2} \text{ hozhat létre az Au mag helyén. } \frac{\partial^2 V}{\partial z^2} \text{ annyi különböző}$$

értéket vehet fel, amennyi különböző környezet alakulhat ki az Au mag körül rendezetlen állapotban. Az Au mag esetében az alapállapotnak ismert  $Q = + 0,5 \cdot 10^{-24} \text{ cm}^2$  kvadrupolnyomatéka van / a gerjesztett állapotnak nincs kvadrupolnyomatéka/. A kvadrupolfelhasadás értéke

$$\Delta E = \frac{eQ}{4J(2J-1)} \frac{\partial^2 V}{\partial z^2} [3m_J^2 - J(J+1)] ,$$

ahol  $J$  az alapállapot spinje /  $J = 3/2$  jelen esetben/,  $e$  az elektron töltése és  $m_J$  a mágneses kvantumszám.

A kiszélesedést tehát valószínűen sok, különböző nagyságú kvadrupól felhasadás eredője okozza. Az egyes felhasadások előfordulási arányát nem tudjuk, azonban egy átlagos felhasadást meg tudunk adni abból a feltételezésből, hogy a kiszélesedett vonalat két, a rendezett kristály görbéjével egyenlő szélességű vonal összegéhez hasonlítjuk. A görbéknek a következő feltételeket szabtuk:

1/ a területük összege egyenlő legyen a kiszélesedett görbéjével,

2/ a félértékszélesség helyén ugyanazt az értéket adják, mint a kiszélesedett görbe. Lorentz alakot feltételezve a számolás könnyen elvégezhető volt. Eredményül adódik, hogy a közelítő görbék 2,1 mm/sec-re vannak egymástól. Ebből az értékből egy átlagos térerősség gradienst lehet meghatározni. A számításból  $0,5 \cdot 10^{18}$  V/cm<sup>2</sup> adódik. Ez az érték kb. azonos nagyságrendbe esik a különböző anyagoknál mért térerősséggradiensekkel.

A mérést több szempontból továbbfolytatva, további információkat nyerhetünk. Feltétlenül hasznos lenne felvenni a Mössbauer vonalat, mint az abszorpciós vastagság, esetleg a rendezettség függvényét.

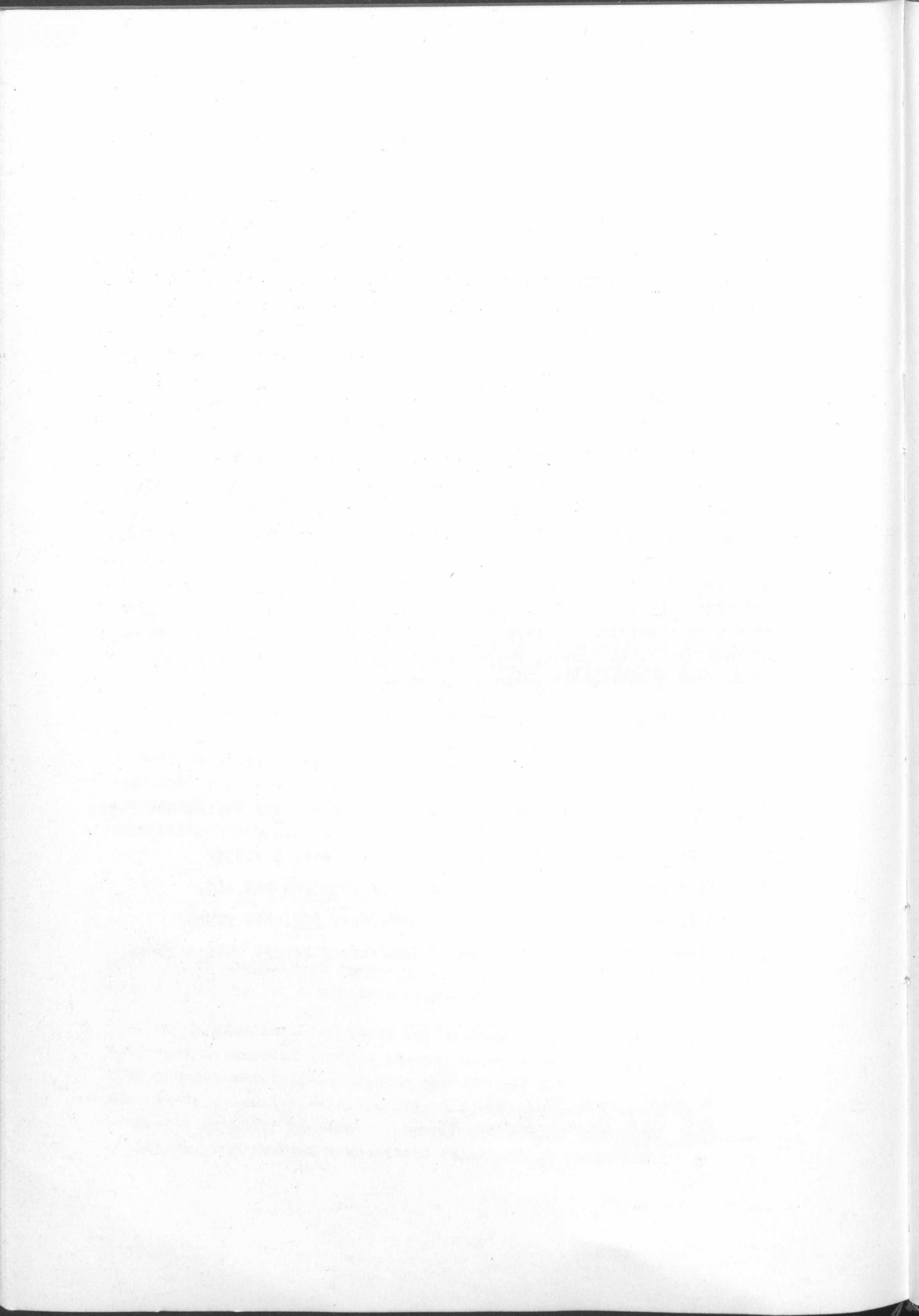
A dolgozat alapját az intézet Magfizika I. Laboratóriumában 1963/64-ben végzett diplomamunka képezte. Ezuton szeretnék köszönetet mondani témavezetőmnek, Dr. Keszthelyi Lajosnak, a fizikai tudományok doktorának, valamint Dézsi Istvánnak, mert munkámat állandó figyelemmel kísérték és sok elméleti és gyakorlati probléma megoldásában voltak segítségemre, Nagy Imrének /KFKI Szilárdtestfizika/, aki a mérésre szolgáló anyagmintát rendelkezésemre bocsátotta és azon a szükséges átalakításokat elvégezte, Molnár Bélának /KFKI Magfizika II. Laboratórium/, aki a radioaktív preparátumokat készítette.

#### I r o d a l o m

- [ 1 ] Seitz, F., Turnbull, K.: Solid State Physics. John Wiley and Sons. 1961.
- [ 2 ] Nagy E., Nagy I., Tóth J.: KFKI Közl. 7.évf. 5 /1959/
- [ 3 ] Keszthelyi L.: Magy.Fiz.Folyóirat IX.köt. 289-326 old.
- [ 4 ] Roberts, L.D. and Thomson, J.O.: Phys.Rev. 129, 664 /1963/
- [ 5 ] Grant, R.W.: Lawrence Radiation Laboratory Report. UCRL - 10649.

Érkezett: 1964. VIII. 28.

KFKI Közl. 12.évf. 6.szám, 1964.



## A DEUTERIUM 2-7. BALMER-VONALÁNAK FINOMSZERKEZETI VIZSGÁLATA

Irta: Csillag László

### Összefoglalás

Deuteriumgázban vizsgáltuk a 2-7. Balmer-vonal finomszerkezetét. Ebben az első közleményben ismertetjük a kísérleti berendezést. A fényforrásul szolgáló nagyfrekvenciával gerjesztett kisülési csőben 0.025 torr nyomású deuteriumgáz áramlott. A finomszerkezet feloldását spektrográffal keresztezett kvarc Fábry-Perot interferométer biztosította.

### 1/ Bevezetés

A hidrogénatom spektrumában elvégzett nagy pontosságú mérések eddig elsősorban a Balmer-sorozat  $H_\alpha$  vonalára korlátozódtak. A sorozat további vonalainak finomszerkezetét csak hézagosan, vagy egyáltalában nem vizsgálták. Nevezetesen az első öt Balmer-vonal főkomponenseinek távolságát és intenzitásviszonyát mérte G. Hansen [1] 1925-ben, továbbá Houston és Hsieh [2] 1936-ban. Eredményeik az akkori elméleti értékektől eltértek és csak később, a Lamb-shift felfedezése után derült ki helyes voltak [3]. Egyik alkalommal sem mérték meg azonban az egyes komponensek hullámhosszát. Pedig ezek révén egyrészt további információkat lehet szerezni a hidrogénatom erősebben gerjesztett elektronállapotairól, másrészt pontosabb igazolást nyerhet a finomszerkezeti formula.

Munkánk ezért arra irányult, hogy meghatározzuk a Balmer-sorozat minél több vonalában a finomszerkezeti komponensek hullámhosszát és intenzitásviszonyát. Ebben az első részben ismertetjük a kísérleti berendezést. A mérési módszert és az eredményeket a 2. rész tartalmazza.

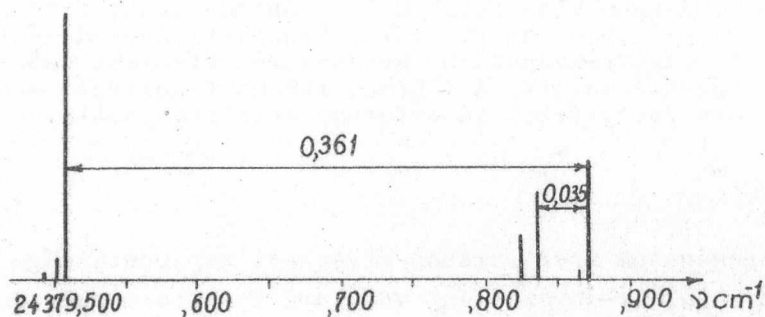
### 2/ A Balmer-vonalak szerkezete

A hidrogénatom energianívóit elméletileg a Lamb-shifttel korrigált Sommerfeld-Dirac féle finomszerkezeti formula adja meg:

$$\tau_{n,l,j} = \frac{R_H}{n^2} + \frac{R_H \alpha^2}{n^3} \left[ \frac{1}{j + \frac{1}{2}} - \frac{3}{4n} - \Lambda(n,l,j) \right] + \dots \text{ cm}^{-1}$$

Ebben az  $R_H$  Rydberg-állandó és az  $\alpha$  finomszerkezeti állandó mellett az  $n, l, j$  kvantumszámok szerepelnek. /A  $\Lambda$  tag a Lamb-féle termeltolódást adja./ Az ezekre vonatkozó kiválasztási szabályok határozzák meg a nivók között lehetséges átmeneteket. A formulából kitűnik, hogy egy nivó értékét elsősorban a csupán az  $n$  főkvantumszámot tartalmazó első tag, az un. Balmer-term szabja meg, a második tag az elsőhöz képest kicsi és csak kis  $n$ -nél számottevő.

Példaképen az 1. ábra mutatja a  $H_\epsilon$  vonal finomszerkezetét. A



1. ábra

függőleges vonalak hossza a számított intenzitásvizonyokat jelzi. A többi Balmer-vonal szerkezete hasonló ehhez. A vonalakban az egyes komponensek a két legintenzívebb "főkomponens" köré csoportosulnak. Ezek távolsága kb. az alpnívó  $2P_{3/2} - 2P_{1/2}$  távolságával:  $0,365 \text{ cm}^{-1}$ -gyel egyenlő.

A valóságban az egyes komponensek nem elkülönült éles vonalak, hanem többé-kevésbé egymásba olvadnak. A hidrogénatom kis tömege miatt a Balmer-vonalak különösen erősen mutatják a Doppler-kiszéledést és igen érzékenyek egyéb kiszéledési effektusokra is/Stark-kiszéledés, nyomási kiszéledés/. Az egymásbaolvadás miatt a közel-eső komponensek egyáltalában nem választhatók szét és a főkomponensek is csak akkor, ha a fényforrás hőmérséklete elég alacsony. A főkomponensek távolsága az egymásbaolvadás miatt kissé "összezsugorodik". A kialakuló két főkomponens, ill. ezek részleges egymásbaolvadása látható pl. az 5. és 6. ábrán.

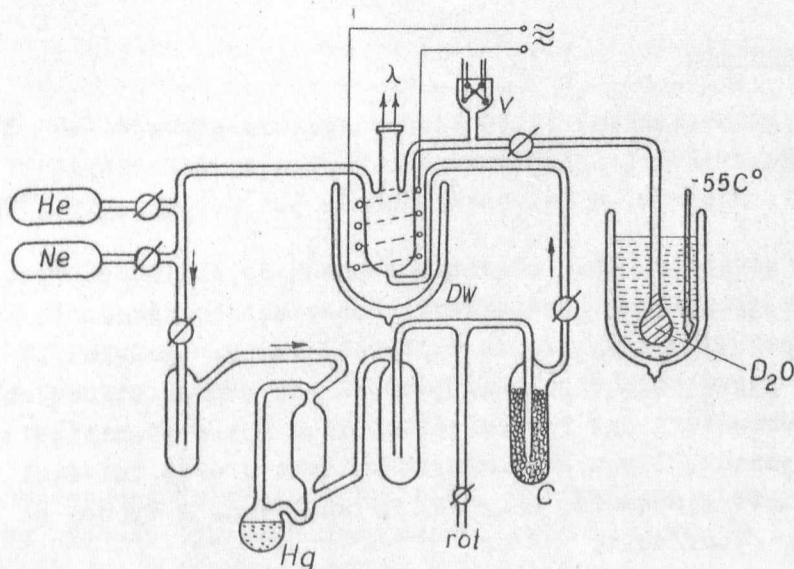
A hidrogénspektrum vizsgálatánál további nehézséget jelent a sokvonalas és folytonos molekula-spektrum háttér zavaró hatása. Ez rendszeren már az ötödik-hatodik vonalnál lehetetlenné teszi a mérést. Ismeretes, hogy Wood-csőben, vízgőz hozzákeverésével vagy nemesgáz-puffergázzal a molekulaszpektrum jelentősen visszaszorítható. A spektrum kellő intenzitását azonban csak viszonylag nagy nyomáson /kb. 0,5 torr/ és áramsűrűségénél /kb. 80 mA/cm<sup>2</sup>/ lehet biztosítani.

Éppen ezért néhány Wood-csőves előkísérlet után mérésünkhöz egy másik gerjesztési módszert, az elektróda nélküli gyűrűkiszülést használtuk fel [4]. G. Herzberg [5] már 1927-ben megmutatta, hogy ily módon igen intenzív, rendkívül tiszta atomspektrumot lehet előállítani. Finomszerkezeti vizsgálatokhoz azonban eddig még nem használták.

### Fényforrás

A fényforrásban igen alacsony nyomásu /  $p = 0,025$  torr / tiszta deuteriumgázt használtunk, 50 Mc/s nagyfrekvenciás generátorral gerjesztett elektródanélküli kisülésben. Deuterium használata esetében a Doppler kiszélesedés  $\sqrt{2}$ -ed részére lecsökkent. Az alacsony nyomás és a gyenge gerjesztés miatt egyéb kiszélesedési mechanizmus nem játszott szerepet.

A fényforrás felépítési vázlatát mutatja a 2. ábra. A deuterium egy gázcirkulációs rendszerben áramlik körbe. A cirkulációt



2. ábra



higanydiffúziós szivattyú /Hg/ tartja fenn. A gáz állandó tisztítását cseppfolyós nitrogénnel hűtött aktív szén /C/ végzi. A spektrum gerjesztését a 6 cm átmérőjű és 20 cm hosszú kisülési csőben tizmenetes külső tekercs hozza létre. A gerjesztő teljesítmény kb. 50 watt-ra becsülhető. A deuteriumot 99 %-os nehéz vízből állítottuk elő oly módon, hogy az előzőleg evakuált kisülési csőbe víz-recipiensből kisnyomású /0,05 torr/ nehézvíz-gőzt engedtünk és a nagyfrekvenciás kisülésben disszociáló gőzből az oxigént aktív szénnel elnyeltük. Ily módon kb. 1 órai kisülés után 0,025 torr nyomású tiszta deuteriumgázzal telt meg a rendszer. A finomszerkezeti felvételeknél a kisülési csövet a gerjesztő tekercsel együtt cseppfolyós nitrogénbe merítettük, a molekulaszorítására pedig a cirkuláló deuteriumhoz alacsony nyomású nehézvíz-gőzt kevertünk, mely ráfagyott a csőfalra. A vizgőz-tenziót a vízrecipiens hőmérsékletével szabályoztuk /-55 C°/.

Az intenzitás-vizsgálatokhoz a rendszert He- ill. Neon-puffergázzal is meg lehetett tölteni.

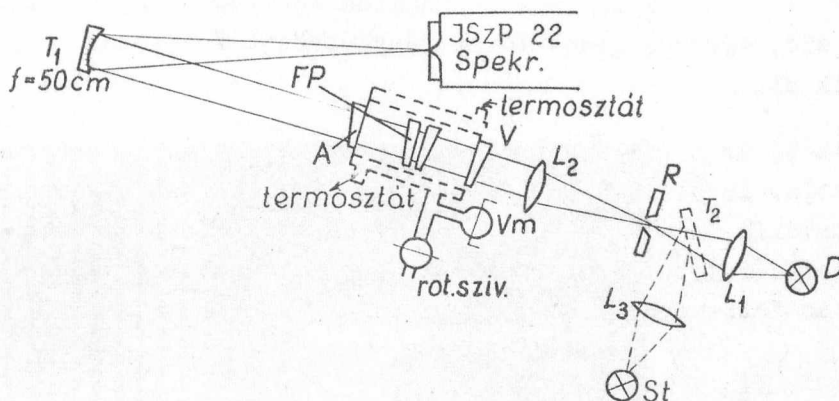
Az ismertetett berendezéssel elég intenzív és tiszta atomspektrumot sikerült előállítani. A finomszerkezet feloldása nélkül két perces expozíciós időnél az első tíz vonalat fényképezni lehetett. A molekulaszorítás csak a 10-12 vonalnál kezdett jelentkezni. A vonalak Doppler-szélességéből számított gázhőmérséklet kb. 250 K°-nak adódott. Nagyobb gáznyomás használata esetén a gázhőmérséklet jelentősen megnőtt.

#### Optikai berendezés

A finomszerkezet felbontására kvarcspektrográffal keresztelt kvarc Fabry-Perot interferométer szolgált. A használt térköz 5,85 mm, ill. 3,65 mm, a felbontóképesség 500.000 ill. 350.000 volt.

A felvételek első részében a szokásos /külső leképezéses/ interferométer elrendezést használtuk. Ennél az elrendezésnél a leg hosszabb expozíciós idő 1/2 óra volt /  $D_{\beta}$  -  $D_{\xi}$  vonalak/. Hosszabb expozícióju felvételekhez a hőmérsékleti változások kiküszöbölésére a F.P. interferométert egy termosztáttal 1/10 fokra stabilizált vákuumkamrába helyeztük. Ilyen körülmények mellett 4 órás felvétel alatt sem mutatkozott elmozdulás a gyűrűk helyzetében. A nyomás a vákuumkamrában  $\frac{1}{10}$  torr volt.

A káros másodlagos interferenciaképek kiküszöbölésére a kamrához ék-alakúra csiszolt kvarc-záróablakot /ékszög  $1/2^\circ$ / és másodlagos fényforrásként rést használtuk. A 3. ábra mutatja az optikai rendszer felépítési vázlatát. A D deuteriumfényforrás képét az  $L_1$



3. ábra

lencse az R résre képezi le. Innen az  $L_2$  lencsén át nagyjából párhuzamos fénynyaláb esik az interferométerre. A F.P. gyűrűrendszer a  $T_1$  homorú tükör fókuszában a spektrográf résére képződik le élesen. A  $T_2$  betölthető tükör az összehasonlító standard lámpa /St/ / az első mérésorozatban Kr, a másodikban  $Hg^{198}$  / bevetítésére szolgál.

#### Felvételek

A felvételekhez Agfa Blau és Gelb Rapid spektrállemezeket használtunk. 10-20 perces expozícióval a  $D_\beta - D_\epsilon$  vonalakat, 30 - 60 perccel a  $D_\zeta$  vonalat, míg 120 perccel a  $D_\eta$ -t is fényképezni lehetett. A  $D_\alpha$  vonalat a kvarcspektrográf konstrukciója miatt nem lehetett fényképezni.

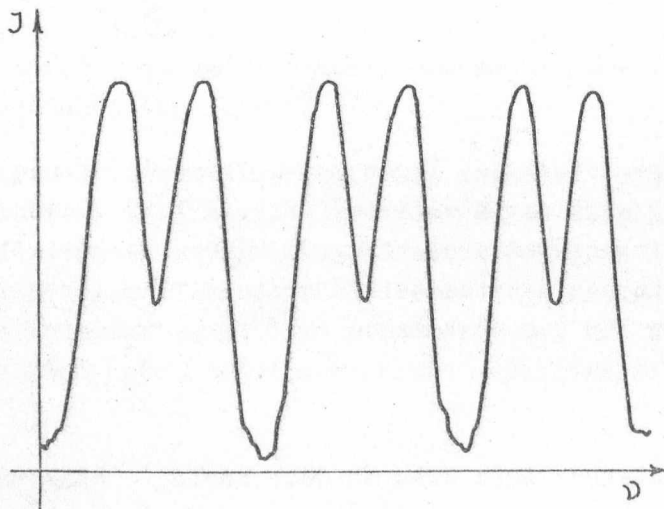
Az összehasonlító standard spektrumot rendszerint a deuterium-spektrummal egybefényképeztük, tekintve, hogy nem voltak egybeeső vonalak. Az esetleges csik-elmozdulás ellenőrzésére a standard spektrumot a deuteriumspektrum előtt és után két részletben vettük fel.

A komponensek intenzitásviszonyát fotografikus uton mértük, előbb alacsony nyomású tiszta deuteriumban, majd  $D_2-Ne$ ,  $D_2-He$ , ill. hűtetlen csőben,  $D_2-D_2O$  keverékekben különböző nyomásokon. A méréshez szükséges feketedési görbét kalibrált 6-lépcsős szürke szűrő

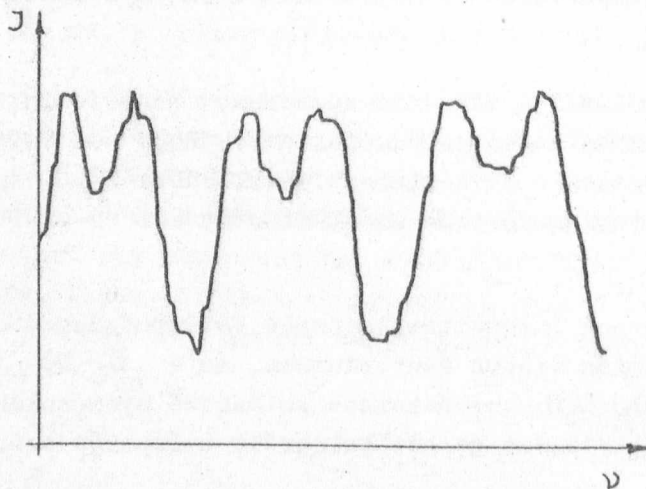
segítségével határoztuk meg.

A 4. ábra az egyik két órás felvételt mutatja. Az alsó sávban a bejelölt  $D_\beta - D_\eta$  vonalak mellett a  $Hg^{198}$  standard erősebb szinképvonalai láthatók / a vonal mentén a szokásos Fabry-Perot csikrendszer /. A felső sávban a fotografikus feketedési görbe felvételeire szolgáló, lépcsős gyengítővel fényképezett folytonos szinkép helyezkedik el.

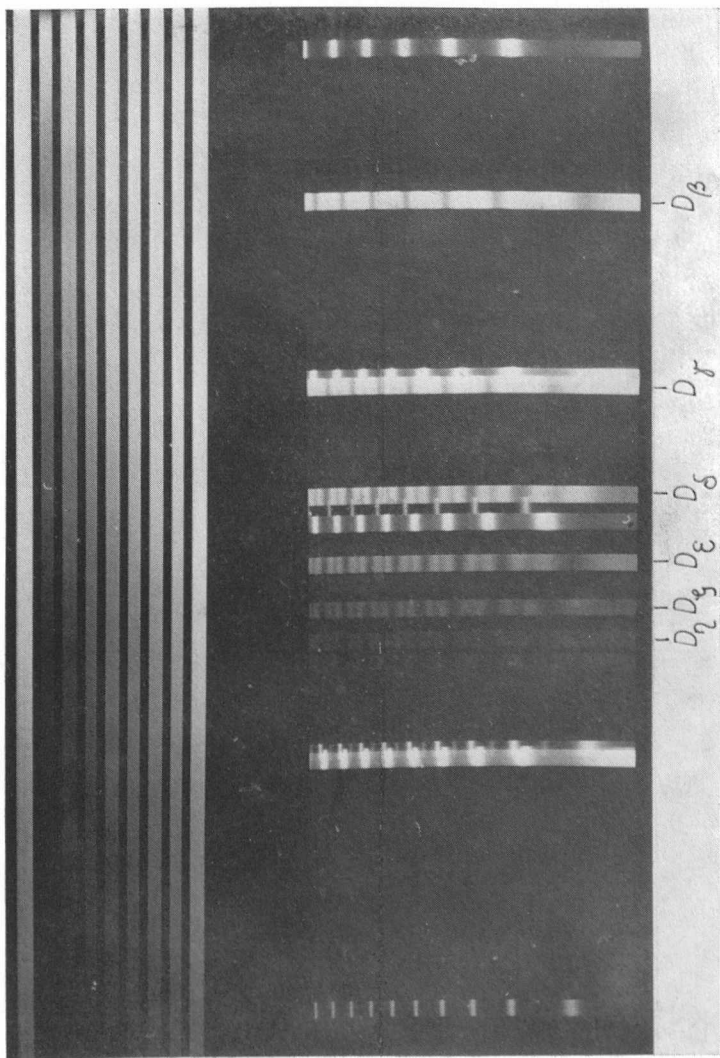
Az 5. és 6. ábra a  $D_\beta$  és  $D_\eta$  vonalak egy regisztrogram-részletét mutatja. Az 5. ábra jól fedett negatívján a két főkomponens élesen különválnak. A 6. ábrán a gyenge fedettség miatt a szemcsehiba okozta ingadozás jóval erősebb, de a főkomponensek szétválása még határozottan felismerhető.



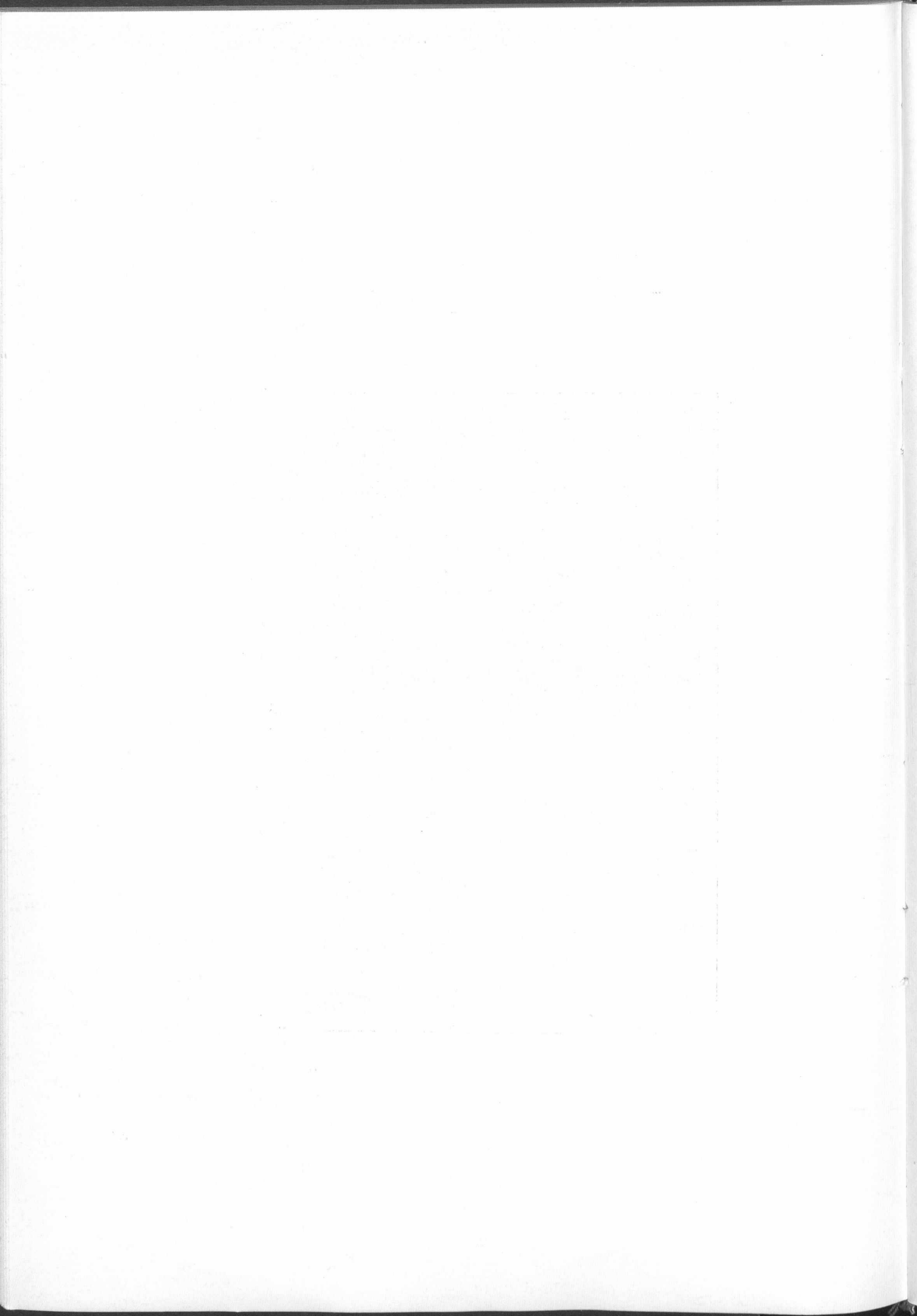
5. ábra



6. ábra



4. ábra



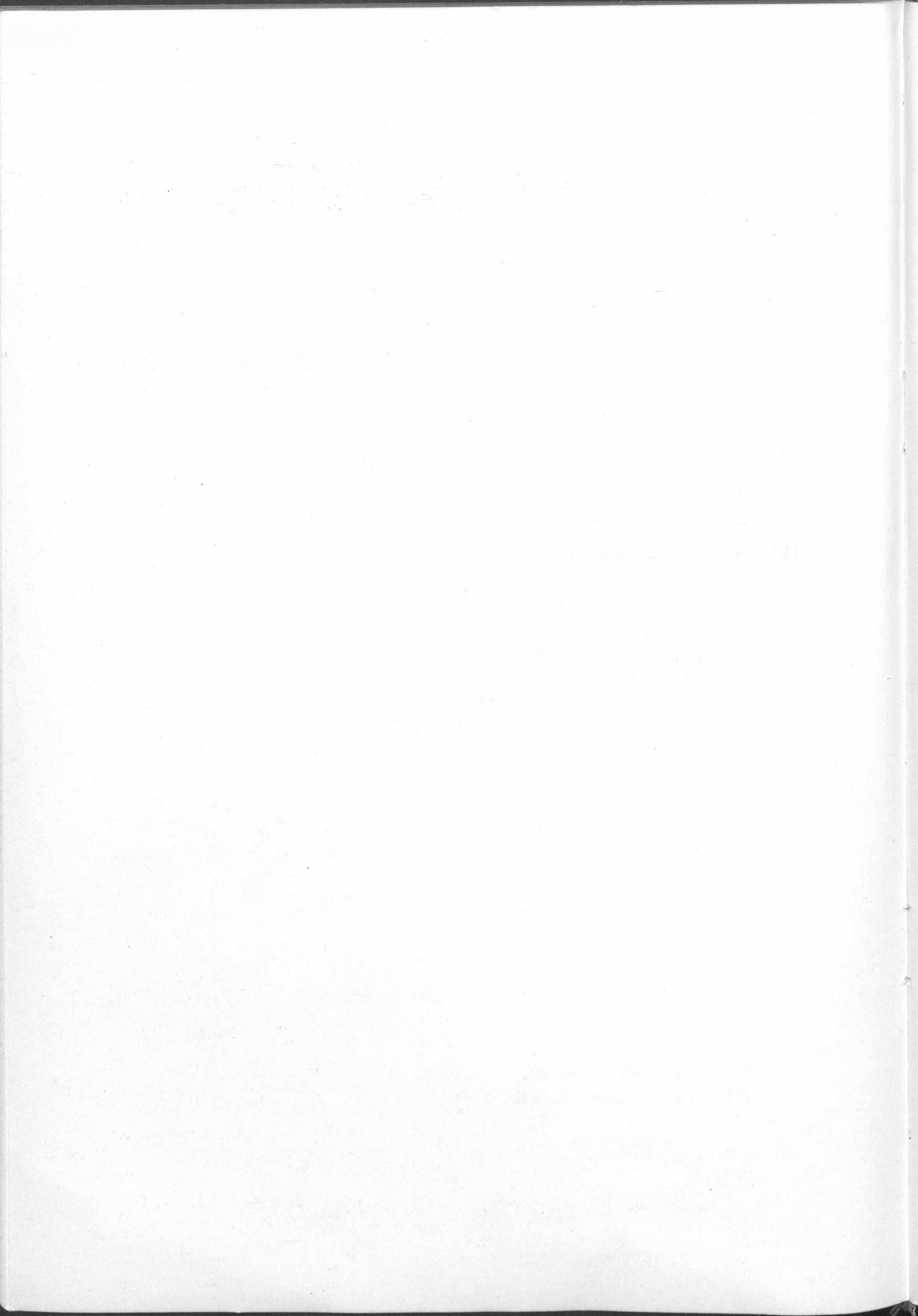
A részletes mérési eredményeket egy következő dolgozatban ismertetjük.

I r o d a l o m

- [1] Hansen, G.: Ann.d.Phys. 78, 558 /1925/
- [2] Houston, W., Hsieh, Y.M.: Phys.Rev. 45, 263 /1934/
- [3] Csillag L.: KFKI Közl. 9, 113 /1961/
- [4] Csillag L., M.Császár L.: KFKI Közl. 10, 124 /1962/
- [5] Herzberg, G.: Ann.d.Phys. 84, 553 /1927/

Érkezett: 1964. okt. 20.

KFKI Közl. 12.évf. 6.szám, 1964.



## HOSSZU ÉLETTARTAMU RÁDIOFREKVENCIÁS IONFORRÁS VIZSGÁLATA

Irta: Vályi László, Gombos Péter és Roósz József

### Összefoglalás

Megvizsgáltuk egy kis intenzitású, elektródanélküli kisülési csővel rendelkező, rádiófrekvenciás ionforrás tulajdonságait. Kimértük az ionáram-kihúzófeszültség karakterisztikákat, a gömbi geometriával rendelkező elektródák közötti távolság különböző értékeinél. A karakterisztikák két szakasszal rendelkeznek, amely közül az egyik szakasz  $V^{3/4}$ -nek megfelelő, a másik szakasz pedig lineáris jellegű. Meghatároztuk az ionforrásból kijövő ionnyaláb összetételét és energiaszórását. Az ionforrás 2 kV-os kihúzófeszültség esetén 42 eV-os energiaszórással, 70 %-os protonarányal, 30  $\mu$ A ionáram esetén  $\sim$  3-4  $\text{cm}^3/\text{óra}$  gázfogyasztással és több, mint 300 órás élettartammal rendelkezik.

### Bevezetés

A Thonemann által első ízben használt és vizsgált rádiófrekvenciás /RF/ ionforrásnak [1] az azóta eltelt időben számos változatát vizsgálták és használták fel különböző speciális feladatokhoz.

A RF ionforrásokat az elektródák elhelyezése szempontjából két csoportba sorolhatjuk:

1/ a Thonemann által kidolgozott típus, ahol az anód és katód /kiszívó elektróda/ a kisülési csőben nyert elhelyezést [2, 3, 4, 5, 6, 7, 8, 9] ,

2/ az első ízben Bayly és Ward által alkalmazott [10] típus, ahol az anód és katód a kisülési csőn kívül helyezkedik el [10, 11, 12, 13, 15, 15] .

Mindkét csoporthoz tartozó RF ionforrások ionösszetétel, energiaszórás, RF-teljesítmény és gázfelhasználás szempontjából, közel azonosnak tekinthetők. Azonban az első csoportba tartozó típusok



élettartam szempontjából - ami különösen a nyomás alatti Van de Graaff-generátoroknál lényeges - elmaradnak a második csoportba tartozó típusokhoz képest.

A rövidebb élettartamnak az oka egyrészt a kiszívócsucs környezete ionoptikai tulajdonságainak megváltozása, mivel a kiszívócsucst körülvevő kvarccső az ionbombázás hatására porladó fémkatód anyaggal bevonódik, elveszti szigetelő tulajdonságát és így a kiszívócsucs környezetében a potenciáeloszlás megváltozik. Másrészt a kisülési cső falára lecsapódó anódfém anyaga megnöveli az ionrekombináció fokát és a kisülési cső falának vezetőképességét, amely az iváram növekedését és - az ionkoncentráció csökkenése miatt - a kijutó ionáram esését vonja maga után.

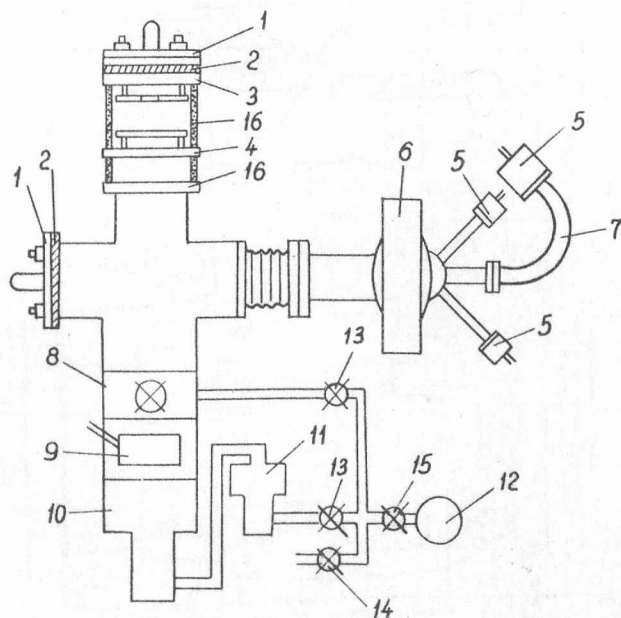
Ezek a jelenségek a második csoportba tartozó típusoknál nem jelentkeznek, mivel az elektródák a kisülési edényen kívül helyezkednek el, így az előző csoportba tartozó típusok élettartamának többszöröse lehet és elérheti az 500 órát is.

A dolgozatban egy gömbi geometriával rendelkező elektródás, a második csoportba tartozó RF ionforrás típus vizsgálatát ismertetjük.

#### Kísérleti berendezések

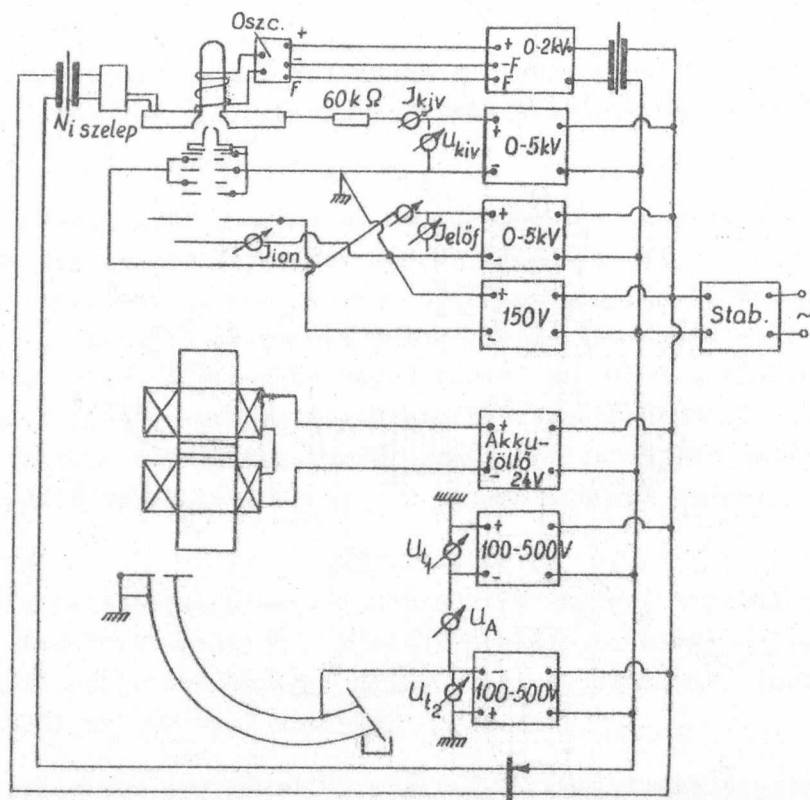
A vizsgálatokhoz használt kísérleti berendezés blokk-sémája az 1. és 2. ábrán látható.

A kísérleteknél felhasznált ionforrás és előfókuszáló rendszer /3. ábra/ mechanikai szempontból egységet képez. A kisülési cső /3. ábra, 1-es/ pyrex-üvegből készül. A gáz bevezetése a kisülési csőbe az alaplemezbe furt /3. ábra 4-es/ csatornán keresztül, a kisülési tér alsó részén, az ionok kivezetésére szolgáló blendenyílástól távol történik. A gázbeömlés szabályozását nikkelszeleppel végeztük. A gömbi geometriájú elektródák egyikét /3. ábra 2-es/ az alaplemez centrumában képeztük ki. A 2 mm  $\varnothing$  blendenyílás környékét a plazmától egy 2.5 mm átmérőjű furatu kvarctárcsával /3. ábra 3-as/ árnyékkoltuk le. A másik elektródát - a kiszívóelektródát - /3. ábra 5-ös/ teflongyűrű közbeiktatásával /3. ábra 6-os/ rögzítettük az alaplemezhez úgy, hogy a teflongyűrű az elektromos szigetelés és tömítés szempontjából is megfelelő legyen. A kiszívó elektróda ioncsatornája 0,8 mm  $\varnothing$ -jü és 7 mm hosszú. A gáz átáramlás további csökkentésére és az ionnyaláb geometriai formálására 4 db 1 mm-től 1,6 mm-ig 0,2 mm-ként változó nyílású blendét /3. ábra 7-es/ helyeztünk a kiszívóelektródába.



1. ábra

1. Ionforrás
2. Plexi szigetelő tárcsa
3. Ellentér elektróda
4. Targetlemez
5. Ellenteres Faraday-henger
6. Elektromágneses analizátor
7. Elektrostatikus analizátor.
8. Tányérszelep
9. Cseppfolyós nitrogénes kifagyasztó
10. 200 l/sec szivósebességű olajdiffúziós szivattyú
11. 50 l/sec szivósebességű olajdiffúziós szivattyú
12. 4 m<sup>3</sup>/h szivósebességű forgószivattyú
13. Elővákuum csap
14. Fellevegőző csap
15. Mágneses szelep
16. Szigetelő üveghenger



2. ábra

A mérőberendezés elektromos kapcsolásának blokk sémája

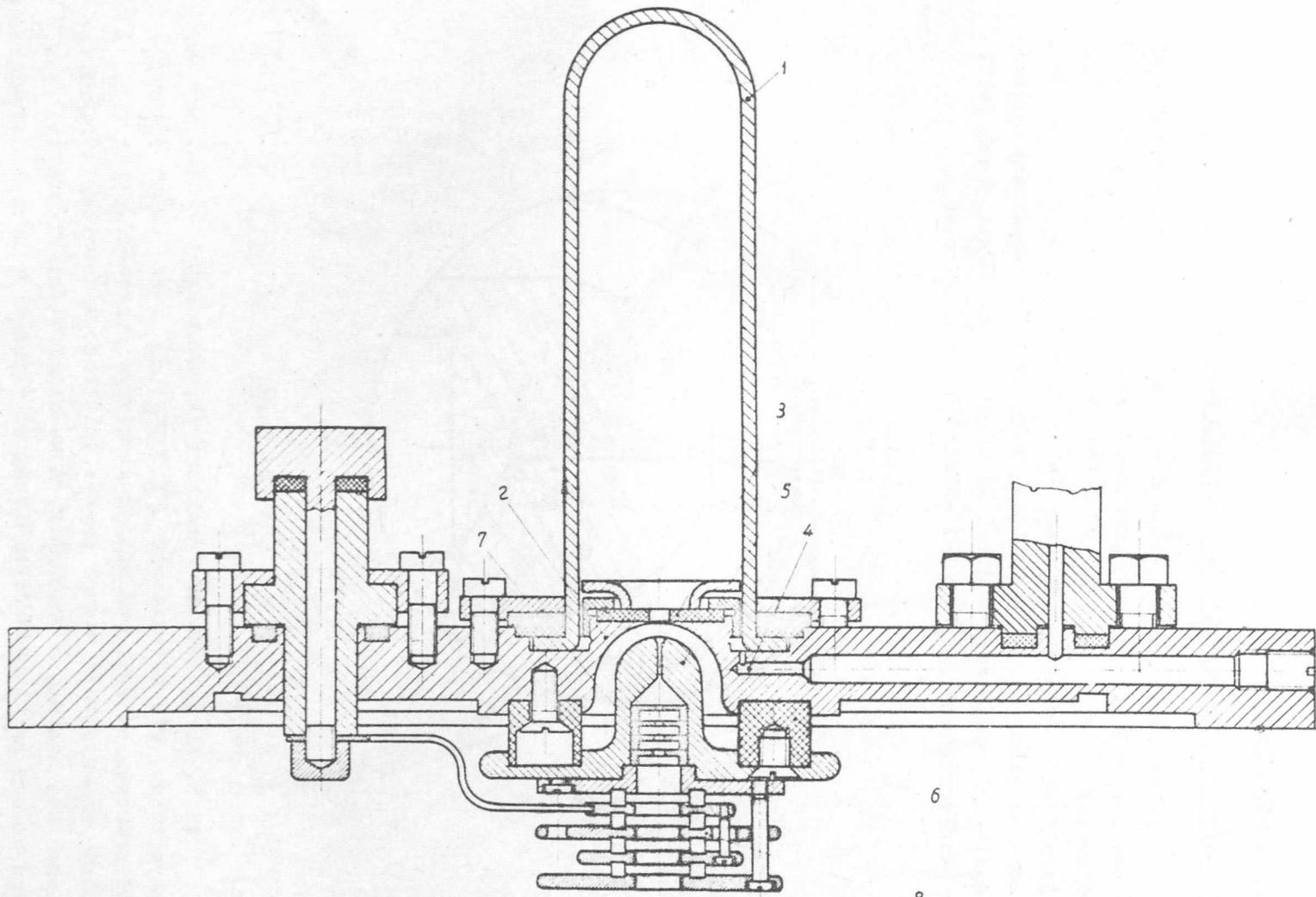
Az előfókuszáló rendszer /3. ábra 8-as/ amely közvetlenül kapcsolódik a kiszívóelektrodához, egy 5 elektródás periodikus elektrostatikus lencse [16,17]. Az elektródákon 6 mm  $\varnothing$  blendenyílás van és az elektródák egymástól való távolsága 1,6 mm.

A kiszívási csőben az ionizálást két  $\Gamma C 905$  keramikus triodával rendelkező ellenütemű oszcillátor segítségével végeztük. Az oszcillátor 45 Mc frekvencián  $\sim 120$  W teljesítménnyel dolgozik.

Az ionnyaláb összetételének vizsgálatát 15 cm sugaru,  $45^\circ$ -os, mágneses analizátorral /1. ábra 6-os/ végeztük el. Az eltérített nyaláb áramát egy ellentéres blendével ellátott Faraday-hengerrel /1. ábra 5-ös/ mértük, kvadráns elektrométer segítségével.

Az ionnyaláb energiaszórásának meghatározása elektrostatikus energiaanalizátorral [8, 9] történt.

Az ionforrás működéséhez szükséges  $10^{-6} - 10^{-5}$  Hg mm vákuumot folyékony levegős kifagyasztóval ellátott, olajdiffúziós vákuumrendszer-



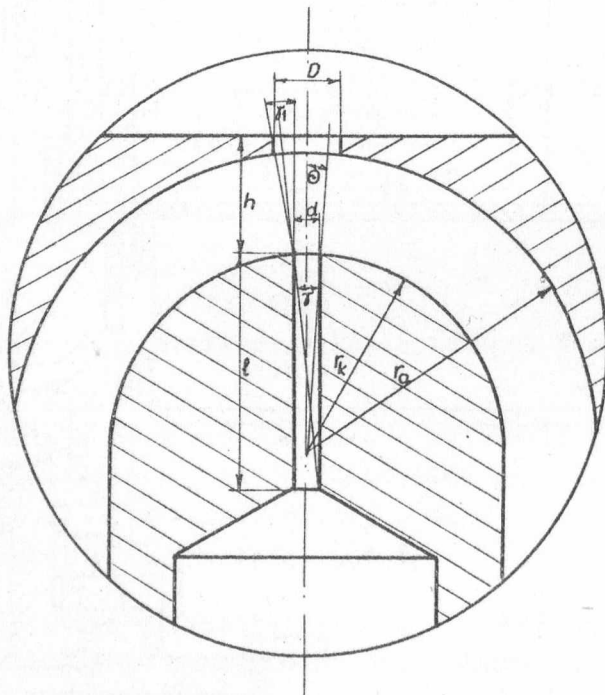
3. ábra

rel /1. ábra/ állítottuk elő. A kísérleti berendezés elektromos kapcsolásának vázlata a 2. sz. ábrán látható.

### Mérési Eredmények

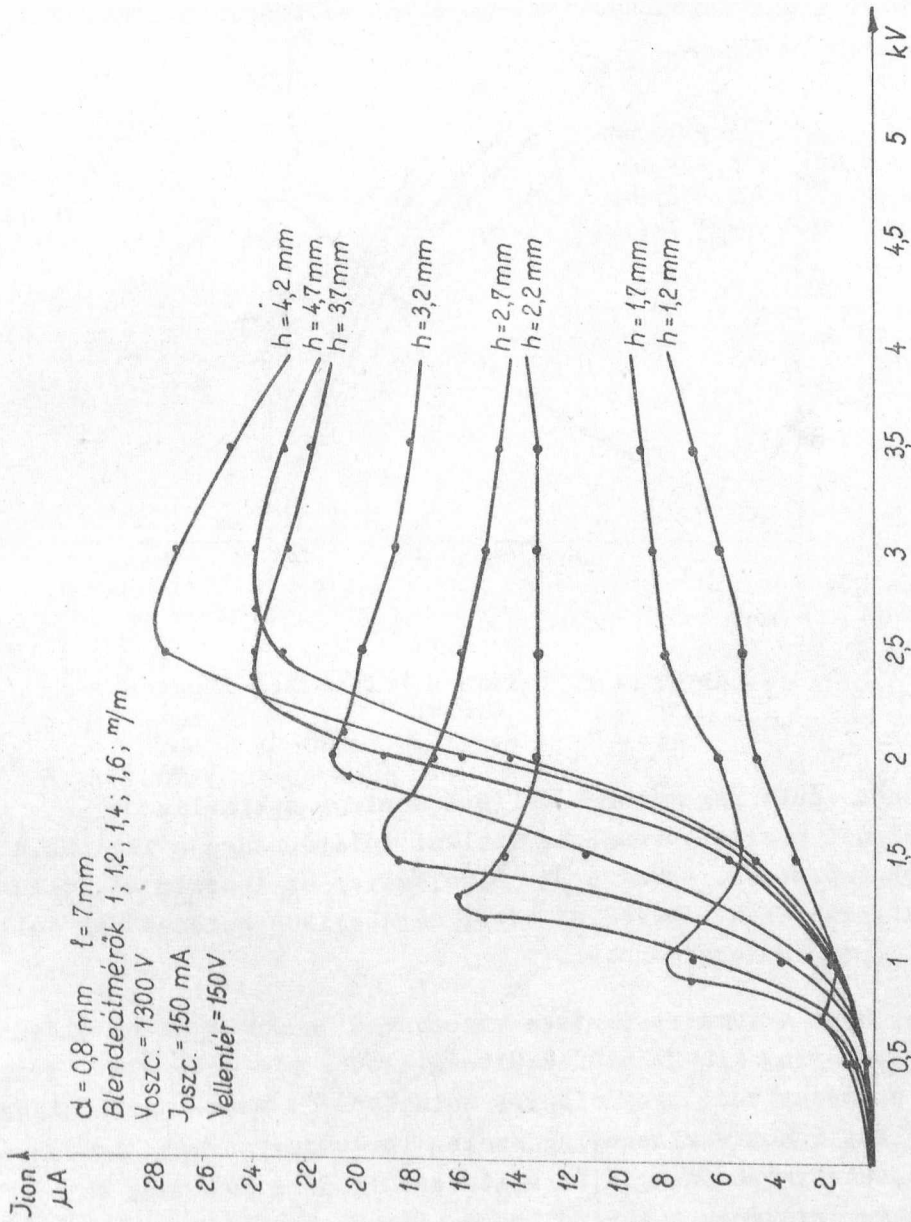
#### 1/ Az ionforrás ionáram-kihuzó feszültség karakterisztikái

Az ionforrás ionáram-kihuzó feszültség karakterisztikáit a kiszívórendszer  $h, l, d$  és  $D$  paramétereinek különböző értékeinél vizsgáltuk. A  $h, l, d$  és  $D$  paraméterek alatt a 4. ábrán alkalmazott jelöléseket értjük:  $h$ -val jelöltük a kiszívóelektróda és a vele szemben elhelyezkedő - a plazma potenciálját meghatározó,  $D$ -átmérőjű nyílással rendelkező - elektród közötti távolságot,  $l$ -el jelöljük a kiszívóelektródban lévő  $d$ -átmérőjű furat hosszát.



4. ábra

Az 5. ábrán látható karakterisztikákat egy  $\sim 3-4 \text{ cm}^3/\text{óra}$  gázfogyasztású, kis intenzitású  $\frac{D}{d} = \frac{2}{0,8} = 2,5$  és  $\frac{l}{d} = \frac{7}{0,8} = 8,8$  paraméteraránysszámokkal rendelkező kiszívórendszerrel vettük fel. A maximális áramátvitelt  $h=4,2 \text{ mm}$ -nél találtuk. A karakterisztikák egyértelműen két szakaszra oszthatók. A kezdeti felfutási szakasz  $\sim \sqrt{\frac{3}{2}}$  jellegű és egy adott kihuzó feszültség értéknél a  $h$  növekedésével az

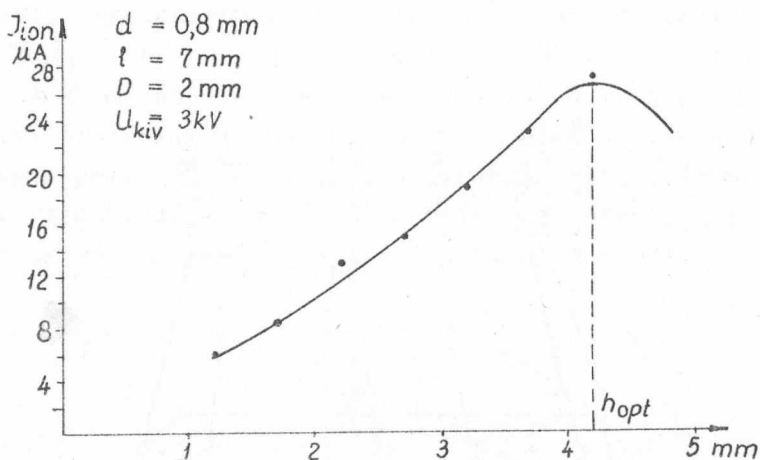


5. ábra

Hosszúélettartamu ionforrás karakterisztikáinak változása a kihuzó és plazmaelektród közötti  $h$  távolság függvényében

ionáram intenzitás egyértelműen csökken, mint ahogy azt a [13] dolgozatban is mérték. A görbék második szakasza - eltérően az első szakasz parabolikus jellegétől - lineáris.

Ebben a szakaszban az ionáram a  $h$  változásával maximumon megy át /6. ábra/.

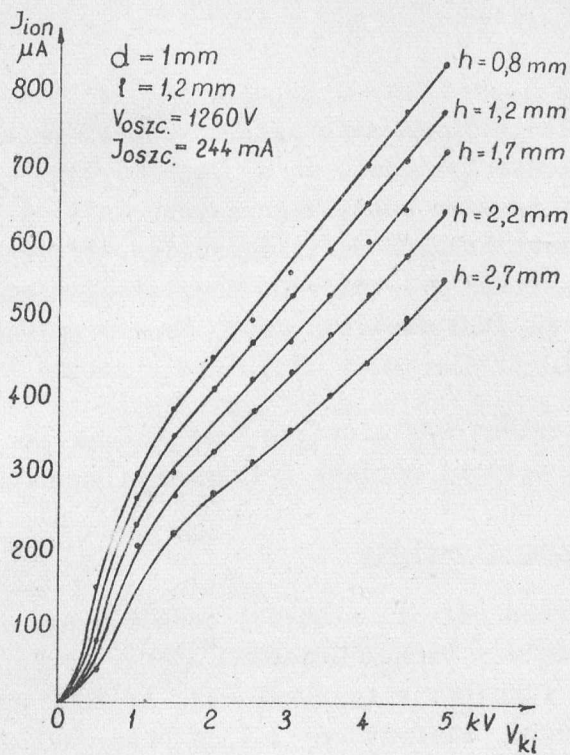


6. ábra

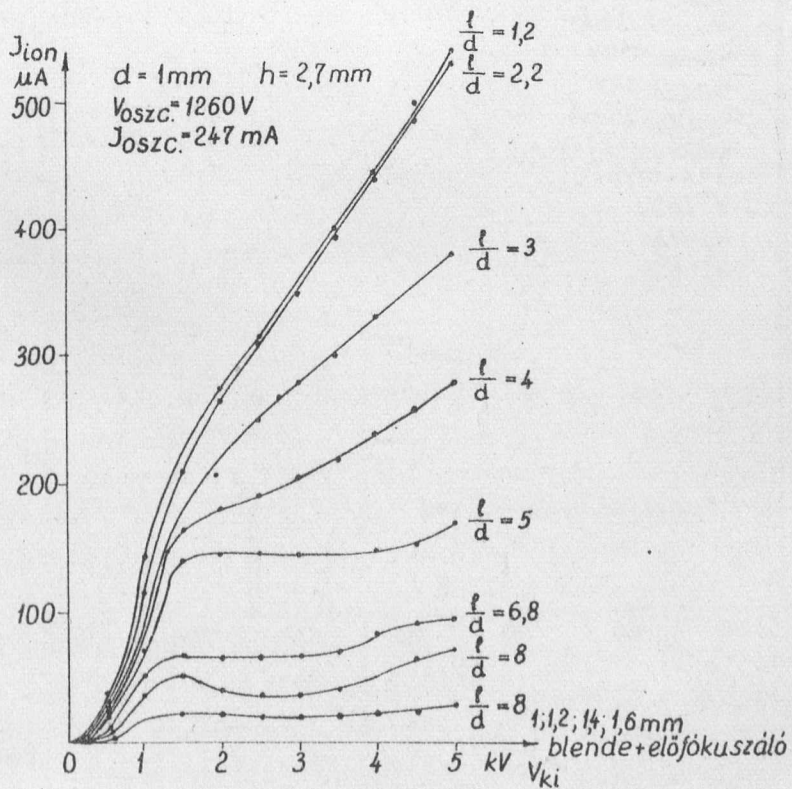
Az ionáram változása a  $h$  távolság függvényében

Tehát adott paraméterek mellett van egy optimális  $h_{opt}$  távolság, amelynél a kiszivórendszer optikai tulajdonsága a legjobb. A görbe első szakaszában /6. ábra/ a  $h$  növelésével az ionáram nő, ellentétben a karakterisztikák /5. ábra/ első, parabolikus szakaszának jellegével és a [13] mérési eredménnyel.

Az, hogy a karakterisztika vízszintes szakasszal rendelkezik - amely már viszonylag kis kihúzófeszültség esetén elérhető - a gyorsító rendszerek szempontjából igen előnyös tulajdonság, mert áramintenzitás változás nélkül lehet - viszonylag széles tartományban - az ionforrásból kilépő részecskenyaláb energiáját változtatni. Ez a jelenség az  $\frac{l}{d}$  viszonyszám nagy értékének tulajdonítható. Ennek igazolására vizsgáltuk meg  $\frac{D}{d} = \frac{2}{1} = 2$ ,  $h = 2,7 \text{ mm}$  állandó és  $\frac{l}{d} = 8$  - ,  $\frac{l}{d} = 1,2$  -ig változó paraméterértékek mellett, az  $\frac{l}{d}$  viszony változtatásának hatását a karakterisztikák jellegére / 7/a. ábra/. Azt találtuk, hogy egy bizonyos 1-érték után a karakterisztikák egyenletes szakasza megszűnik. Az 1 további csökkenésével a görbék lineáris szakasza egyre meredekebbé válik és esetünkben  $D > 1$  értékeknél sem forma, sem ionáram intenzitás szempontjából



7/a. ábra  
 Hosszúélettartamu ionforrás karakterisztikáinak változása a kiszívóelektródán lévő furathossz  $l$  függvényében



7/b. ábra  
 Hosszúélettartamu ionforrás karakterisztikáinak változása a  $h$  távolság függvényében

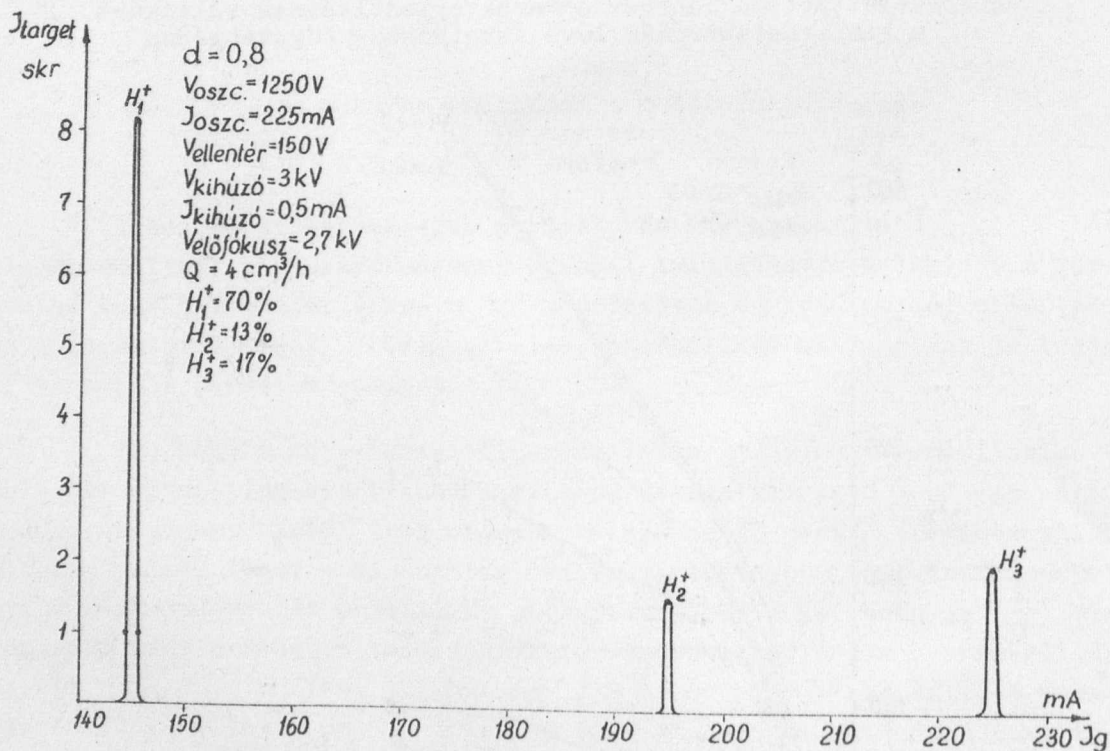


ból, lényeges változást nem mutatnak. Az utóbbi jelenség oka valószínűleg az, hogy az ionkoncentráció és a D átmérőjű emittáló felület által meghatározott ionáram mennyiség nagyobbrészt átjut a kiszivóelektróda nyílásán, adott kihuzó feszültség esetén. Az ilyen 1 értékek mellett a karakterisztika  $h$ -től való függésének vizsgálata azt mutatja, /7/b. ábra/ hogy az  $\{ < D$  esetében az 5. ábra görbéinek első szakaszával megegyező jellegű.

A karakterisztikák lineáris szakaszának oka még nem tisztázott, ezzel kapcsolatos további mérések folyamatban vannak.

## 2/ Az ionnyaláb tömegeloszlása

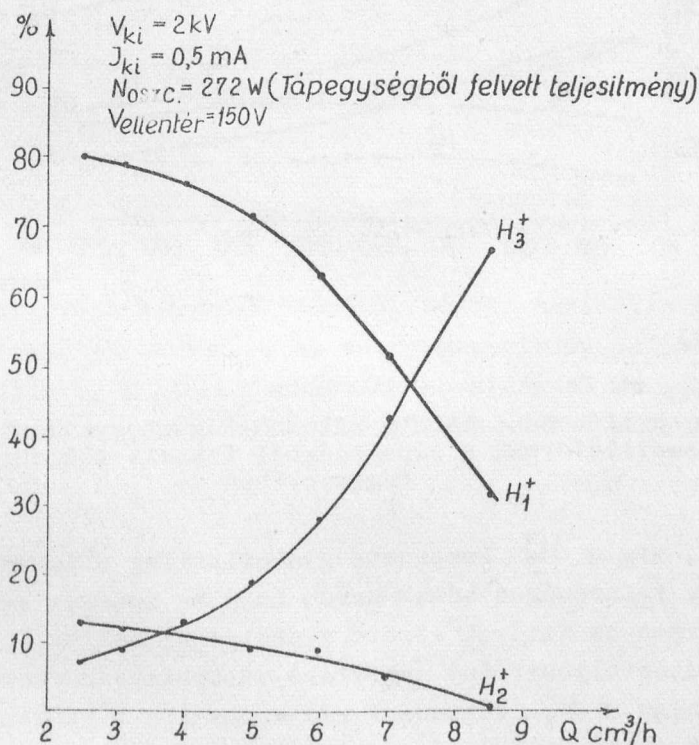
Az elektróda nélküli kisülési csőből származó ionnyaláb tömegeloszlásának a kisülési térben uralkodó nyomástól és az oszcillátorteljesítménytől való függését vizsgáltuk meg. Az ionforrásból kijövő ionnyaláb tömegspektruma, amelyet  $\sim 3-4$  cm<sup>3</sup>/órás gázfogyasztás és közepes oszcillátorteljesítmény mellett vettünk fel, a 8. sz. ábrán látható. Ez



8. ábra  
Az ionnyaláb tömegeloszlása

esetben az ionnyaláb 70 %  $H_1^+$  13%  $H_2^+$  és 17%  $H_3^+$  iont tartalmazott.

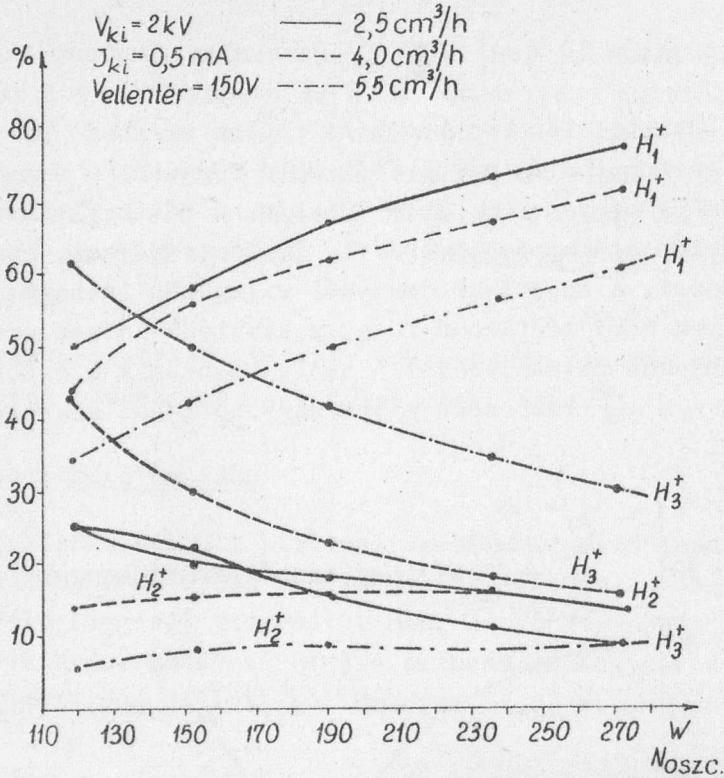
Az ionnyaláb összetételének a kisülési csőben uralkodó nyomástól - esetünkben a gázfogyasztás mértékétől való függését - nagyobb oszcillátorteljesítmény esetén a 9. ábra mutatja. A gázfogyasztás mértékét egy Ni diffúziós szelep segítségével, jó pontossággal reprodukálhatóan tudtuk mérni. A kapott eredményből világosan látható, hogy a  $H_1^+$  és a  $H_3^+$  milyen nagy mértékben függ, a kisülési csőben uralkodó nyomástól. A gáznyomás növekedésével - amely egybeesik a szabad uthossz rövidülésével - a  $H_3^+$  komponens egyre nagyobb %-ban szerepel a  $H_1^+$  és  $H_2^+$  rovására.



9. ábra

Az ionnyaláb összetétele a gázfogyasztás függvényében

Az ionnyaláb összetételének az oszcillátor teljesítményétől való függését három különböző nyomásérték esetén a 10. ábrán tüntetjük fel. Mindhárom ábra egyértelműen azt mutatja, hogy a nagyobb oszcillátorteljesítmények esetén a  $H_1^+$  aránya nő, az alacsonyabb oszcillátorteljesítményeknél kapott értékekhez képest, ugyanakkor a  $H_3^+$  kom-



10. ábra

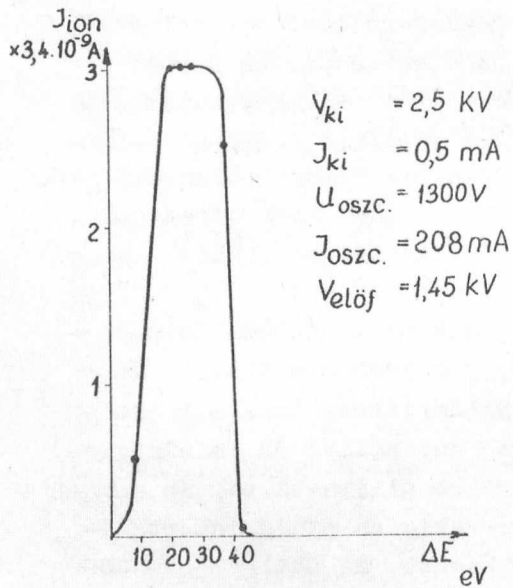
Az ionnyaláb összetétele különböző gázfogyasztás esetén, az oszcillátornak a tápegységből felvett teljesítménye függvényében

ponens csökken, míg a  $H_3^+$  komponens gyakorlatilag alig változik. A mért eredmények lehetőséget adnak arra, hogy az ionáram komponenseinek arányát bizonyos határok között szabályozni tudjuk, a gáznyomás és oszcillátorteljesítmény megfelelő változtatása esetén. Így mind a  $H_1^+$ , mind a  $H_3^+$  komponens részarányát a feladatnak megfelelően be lehet állítani: /pl.: negatív ionnyaláb előállításához szükséges nagy  $H_3^+$  részarány is könnyen beállítható, lásd. 9. 10. ábra/.

### 3/ Az ionnyaláb energiaszórása

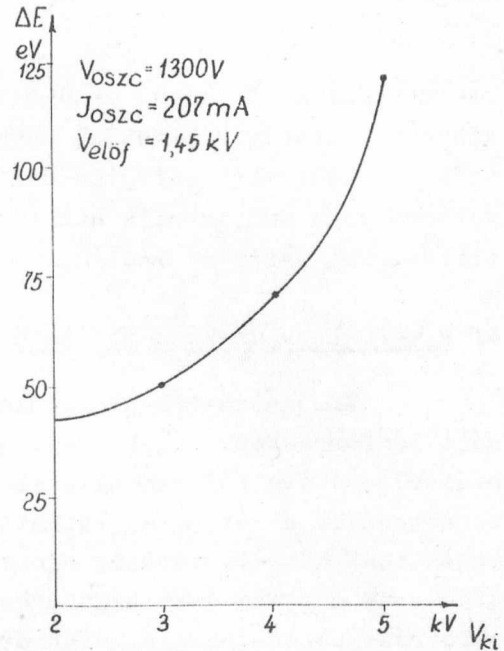
Az általunk használt ionforrás - amelynek kiszivórendszere

$\frac{D}{d} = 2,5$ ,  $\frac{1}{d} = 8,8$  és  $h = 4,2$  mm paraméterekkel rendelkezik - energiaspektruma 2,5 kV kihúzófeszültség és közepes RF teljesítmény esetén a 11/a.sz. ábrán látható. Az energiaszórást az adott kiszivó-



11/a. ábra

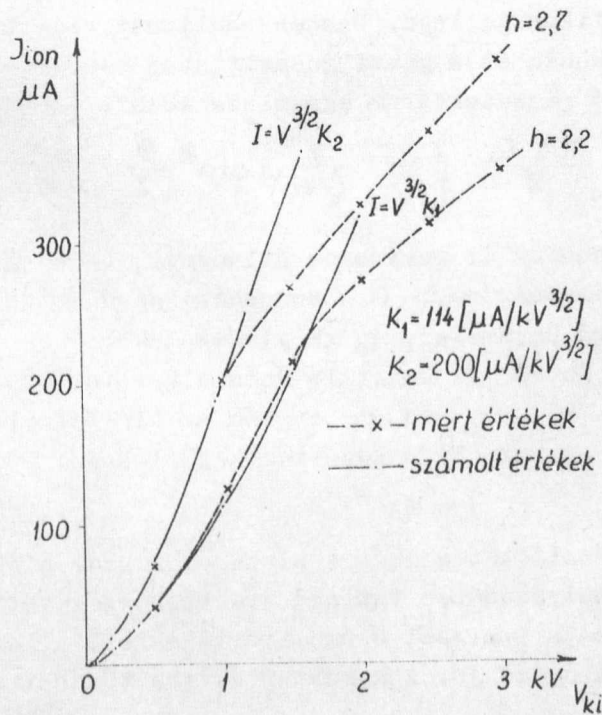
Az ionnyaláb energiaspektruma



11/b. ábra

Az ionnyaláb energiaszórása a kihuzó feszültség függvényében

rendszer optimális optikai beállításánál kapott maximális ionáramintenzitás értéknél mértük /5. ábra/ és az energiaspektrum teljes szélessége  $\sim 40$  eV-nak adódott. A kihuzó feszültség növelésével az ionnyaláb energiaszórása a 11/b. ábrán feltüntetett mértékben növekedett. Az energiaszóró-



12. ábra

rás mértéke az általunk vizsgált kiszívórendszerű ionforrásnál 4 kV kihuzófeszültségig kisebb a bevezetőben az első csoportba sorolt ionforrásoknál mért energiaszórásnál, és 4-5 kV kihuzófeszültségű tartományban sem haladja meg az azokkal mért értéket, azonos oszcillátorteljesítmény esetén.

#### 4/ A mérési eredmények értékelése

Vizsgálataink azt mutatták, hogy a kísérletekben felhasznált ionforrástípus igen stabilan működő, jól kézmentartható ionnyalábösszetételrel rendelkezik. Az ionnyaláb intenzitása a  $h$  változtatásával az 5. ábrán látható maximális intenzitás és minimális intenzitás között, tetszés szerinti értékekre állítható be. Az energiaszórás mértéke 4 kV kihuzófeszültség értékig az eddig ismert ionforrástípusok energiaszórás értékeinél kisebb. Az eddig  $\sim 300$  órás élettartamvizsgálat után, az ionforrás és előfókuszálórendszer elektrodái és szigetelő alkatrészei a további működtetésre alkalmas állapotban voltak, így még tovább működtetjük a teljes élettartam meghatározása céljából. Az élettartamvizsgálat ideje alatt az ionáram intenzitása azonos paraméterek esetén gyakorlatilag nem változott.

A mérési eredményekből felhasználva az 5. és 7. ábrákon lévő karakterisztikákat, megállapíthatjuk, hogy a görbék felfutási szakasza parabolikus jellegű. Összehasonlítást végeztünk a karakterisztikák e szakasza és a gömbi geometriával rendelkező kiszívórendszerre vonatkozó részecskeáram egyenlete között [18],

$$I = \frac{16\pi\epsilon_0}{9} \sqrt{2\eta} \frac{v^{3/2}}{(-\alpha)^2} \sin^2 \frac{\Theta}{2} \quad /1.a/$$

/ahol az  $\epsilon_0$  a vákuum dielektromos állandója,  $\eta = \frac{e}{m}$  töltés-tömeg viszony adott részecskére,  $-\alpha$  a koncentrikus gömbi elektrodák  $\frac{r_a}{r_k}$  viszonyától függő paraméter,  $r_a$  a plazmaelektrod és  $r_k$  a kihuzóelektrod sugara és  $\Theta$  az emittáló felülethez tartozó fél kúpszög./ Mivel egy adott  $h$ ,  $r_a$  és  $r_k$  esetén az /1/ formulában az  $\alpha$  és  $\Theta$  is állandó, így az /1/ a következőképp írható:

$$I = KV^{3/2} \quad /1.b/$$

A 12. ábrán ábrázolt két görbét a kiszívórendszer elektrodái közel koncentrikus elhelyezéséhez tartozó  $h$  értékeknél vettük fel és hasonlítottuk össze a 1/a.-ból számolt értékekkel. A kezdeti szakaszban a megegyezés egész jó. A karakterisztika további szakaszában ta-

pasztalt nagymértékű  $h$  és  $l$  függés a kiszívórendszer geometriájából, a tértöltéshatásból és az ionkoncentráció véges voltából adódhat. Az optimális áramátvitelhez tartozó  $h_{opt}$  adott  $l$ ,  $d$  és  $D$  értékek mellett, egyszerű, tisztán geometriai megfontolásból, jó közelítéssel meghatározható; ismeretes, hogy egy  $d$  átmérőjű és  $l$  hosszúságú hengeren a maximális áram  $tg \gamma = \frac{d}{l}$  által meghatározott belépési szögnél lehetséges [18]. Esetünkben a maximális áramátvitel akkor következik be, ha

$$tg \gamma = tg \gamma' \quad /2/$$

/ahol  $tg \gamma' = \frac{D-d}{2h}$  lásd 4. ábra/ mivel ekkor a  $D$  átmérőjű emittáló felület kihasználása maximális. A 2 feltételből a  $h_{opt}$ -ra

$$h_{opt} \approx \frac{l(D-d)}{2d} \quad /3/$$

összefüggés adódik.

A 3 formulából számolt és a karakterisztikákból leolvasható maximális ionáram esetéhez tartozó  $h_{opt}$ -értékek egész jó megegyezést mutatnak.

I r o d a l o m

- [1] Thonemann, P.C.: Nature 158, 61 /1946/ Proc. Roy. Soc. 61, 483 /1948/  
[2] Hall, R.N.: Rev. Sci. Intr. 19, 905 /1948/  
[3] Moak, C.D., Reese, W.M.: Good Nucleonics 2, 3 /1951/  
[4] Reifenschweiler, O.: Ann. d. Phys. 14, 33 /1954/  
[5] Harold, P., Russel, A., Rohn, T.: Rev. Sci. Inst. 25, 989 /1954/  
[6] Erő János: Magy. Fiz. Folyóirat III. 529 /1955/  
[7] Морозов В.М. Докл. А.Н. СССР, 1955. 102, 61.  
[8] Erő János: Acta Phys. Hung. 5, 391 /1956/  
[9] Erő J., Vályi L.: KFKI. Közl. 5, 414 /1957/  
[10] Bayly, A.J., Ward, A.G.: Canad. J. Res. 36, 69 /1948/  
[11] Moreau, J. Vienet, R.: Rapp. C.E.A. AC-4972 /jan. 1957/  
[12] Reifenschweiler, O.: Elektrotech. Masch-Bau Österr, 74, 96 /1957/  
[13] Thonemann, P.C., Harrison, E.R.: A.E.R.E. GP/R 1190  
[14] Сербинов А.Н., Морока В.М., П.Т.Э № 5, 27 /1960/  
[15] Валтер А.К. и другие. Электростатические ускорители заряженных частиц. Москва /1963/  
[16] Páris Gyula; KFKI Közl. 2, 301 /1961/  
[17] Gombos P., Roósz J., Vályi L.: KFKI. Közl. 12, 241 /1964/  
[18] Páris Gyula; KFKI Közl., 2, 57 /1961/

Érkezett: 1964. okt. 25.

KFKI Közl. 12.évf. 6.szám, 1964.

3 /1948/

/

'1957/

НЫХ